

ŘADA B -
PRO KONSTRUKTÉRYČASOPIS
PRO RADIOTECHNIKU:
A AMATÉRSKÉ VYSÍLÁNÍ
ROČNÍK XXV/1976 ČÍSLO 3

V TOMTO SEŠITĚ

Perspektivy radioamatérské činnosti
ve SVAZARNU 81

KVADROFONIE

1. Úvod	82
2. Kvadrofonní systémy	83
2.1. Rozdílný kvadrofonický systém	83
2.2. Systém CD-4	83
2.3. Systém SQ Columbie	85
2.4. Systém QS Sansui (Regular Matrix)	88
2.5. Systém QMX (UD-4)	90
2.6. Kvadrofonie a magnetofon	92
2.7. Pseudokvadrofonie	93
3. Konstrukce dekodérů	94
3.1. Jednoduchý dekodér SQ	95
3.2. Dekodér SQ s předozadní logikou	97
3.3. Dekodér SQ s integrovanými obvody	100
3.4. Jednoduchý dekodér QS	103
3.5. Dekodér pro pseudo-kvadrofonii	104
3.6. Pseudokvadrofonii reproduktoru matici	105
4. Kvadrofonní zesilovač	106
4.1. Vstupní zesilovač	106
4.2. Připojení dekodéru	109
4.3. Korekce	109
4.4. Balance	111
4.5. Výkonový zesilovač	111
4.6. Zdroj	113
4.7. Sestava celého zařízení	114
4.8. Jednoduší alternativy kvadrofonní reprodukce	118

Na titulní straně jsou přístroje, jejichž stavba je popisována v tomto čísle AR B. Kapitola s popisem měřicích přístrojů pro kvadrofoni budete v příštím čísle AR B, II. v č. 4.

AMATÉRSKÉ RÁDIO ŘADA B

Vydává ÚV SVAZARNU ve vydavatelství Magnet, Vladislavova 26, PSČ 113 66 Praha 1, telefon 26 06 57-1. Šéfredaktor ing. F. Smolík, zástupce Luboš Kalousek. Redakční rada: K. Bartoš, V. Brzák, K. Donát, A. Glanc, I. Harminc, L. Hlinský, P. Horák, Z. Hradísky, ing. J. T. Hyán, ing. J. Jaroš, ing. F. Králik, prom. fyz. L. Kryška, ing. J. Navrátil, K. Novák, ing. O. Petráček, L. Tichý, ing. J. Vacák, CSc., laureát st. ceny KG, ing. J. Zima, J. Ženášek, laureát st. ceny KG. Redátor Jungmannova 24, PSČ 113 66 Praha 1, telefon 26 06 51-7, ředitel linka 354, redaktor I. 353. Ročně vydeje 6 čísel. Cena výtisku 5 Kčs, celoroční předplatné 30 Kčs. Rozšířuje PNS, v jednotkách ozbrojených sil vydavatelství Magnet, administrace Vladislavova 26, Praha 1. Objednávky přijímá každá pošta i doručovatel. Dohledací pošta Praha 07. Objednávky do zahraničí využívejte PNS, vývoz tisku, Jindřišská 14, Praha 1. Tiskne Naše vojsko, n. p., závod 08, 162 00 Praha 6-Liboc, Vlastina 710. Inzerci přijímá vydavatelství Magnet, Vladislavova 26, PSČ 113 66 Praha 1, telefon 26 06 51-7, linka 294. Za původnost a správnost příspěvku ručí autor. Návštěvy v redakci a telefonické dotazy pouze po 14. hodině. Číslo indexu 46043-1.

Toto číslo vyšlo 14. května 1976
© Vydavatelství MAGNET, Praha

Perspektivy radioamatérské činnosti ve SVAZARNU

Často se mluví o tom, že jedním z významných faktorů dalšího rozvoje vyspělé socialistické společnosti a jedním z předpokladů budování komunismu je vědeckotechnická revoluce, jejíž nejkladnější stránky se mohou plně uplatnit ve společnosti, která odstranila výkorisťování člověka člověkem. Ze tato věta není pouze prázdnou frázi, dokazují jednání jak XXV. sjezdu KSSS, tak XV. sjezdu KSC.

Dominávám se, že neuškodí, připomeneme-li si v této souvislosti několik faktů především ze sjezdu KSSS, jehož význam daleko přesáhl hranice Sovětského svazu a jehož závěry se setkaly s nadšeným souhlasem všech pokrovkových sil světa. Co vlastně bylo pro jednání sovětských komunistů nejcharakterističtější? K co nejstručnější a nejvýstižnější odpovědi na tuto otázku lze použít závěrečné slovo, které pronesl soudruh L. I. Brežněv jako ocenění průběhu diskuse k zprávě o činnosti ústředního výboru strany. Generální tajemník ÚV KSSS řekl, že jedním z nejpozoruhodnějších jevů v průběhu diskuse je podpora, s níž se ve všech příspěvcích delegátů setkala orientace ÚV KSSS na budoucnost. Tuto skutečnost si lze ověřit v každém řádku referátu ze sjezdu, v každé kapitole zprávy A. N. Kosygina o hlavních směrech rozvoje národního hospodářství SSSR, v každém ze schválených dokumentů.

Sovětí komunisté po zásluze ocenili především obrovský rozmach, jímž prošel SVAZ sovětských socialistických republik v uplynulých pěti letech. Podle slov L. I. Brežněva dějiny země dosud nepoznaly tak rozsáhlý společenský program, jaký byl splněn za období od roku 1971. Právě v tomto splněném programu se průkazně vyjevuje smysl veškeré práce sovětského lidu i usměrňující a organizátorské práce komunistické strany.

XXV. sjezd současně vyjádřil zásadní stanovisko i k těm otázkám, které ještě nejsou dořešeny, a spolu s novými úkoly soustředil pozornost na odstranění příčin zatím ne zcela překonaných problémů a nedostatků. Opět také tímto způsobem dokumentoval všeobecnou výspěšnost sovětských komunistů a obrovskou morální sílu celé sovětské společnosti. Jak zdůraznil ve své zprávě A. N. Kosygin, právě „ekonomika vyspělé socialistické společnosti se svým mohutným výrobáním a vědeckotechnickým potenciálem umožňuje stále lépe využívat přednosti a možnosti socialistického zřízení“.

Ptáme-li se tedy, která zkušenosť z jednání sjezdu sovětských komunistů patří také v československých podmínkách k nejpodstatnějším, pak je to první řadě samotná metoda hodnocení vykonané práce – smysl pro posuzování života země v celém jeho komplexu, v němž má své místo nejenom zdůraznění dosažených úspěchů, ale i kvalifikovaná kritika nedostatků.

Pomalu se tedy dostáváme k hlavnímu tématu – perspektivám radioamatérské činnosti ve SVAZARNU. Abychom si ještě bliže ujasnili charakter doby, v níž žijeme (neboť to je bezpodmínečně nutné k tomu, abychom se nì mohli orientovat), vybral jsem k ilustraci několik citátů ze zprávy ÚV KSSS na XXV. sjezdu, z nichž okamžitě vyplynou hlavní směry vývoje a charakteristika současnosti a nejbližší budoucnosti.

„Prvoročním úkolem záslává urychlení vědec-



kotechnického pokroku. Je ho význam, jak si vzpomínáte, velmi rozhodně zdůraznil XXIV. sjezd KSSS. My komunisté vycházíme z toho, že jedně za socialismus se obrací vědeckotechnická revoluce správným směrem, odpovídajícím zájmu člověka a společnosti. Jedině na základě urychleného rozvoje vědy a techniky mohou být zase splněny konečné úlohy sociální revoluce – vybudování komunistické společnosti.“

„Revoluce ve vědě a technice vyžaduje pronikavé změny v stylu a metodách hospodářské činnosti, rozhodný boj proti zkostnatělosti a rutinérství, skutečnou úctu k vědě, schopnosti a vůli radit se s ní a počítat s ní.“

„Úspěch vědeckotechnické revoluce a její blahodárný vliv na ekonomiku a na všechny stránky života společnosti nemůže zajistit pouze úsilí vědeckých pracovníků. Stále důležitější je zapojovat do tohoto historického procesu všechny účastníky výroby a všechny články hospodářského mechanismu.“

„Právem se říká, že není nic praktičtějšího, než dobrá teorie. Dobře víme, že široký proud vědeckotechnického pokroku vyschne, nebede-li trvale živen základním výzkumem.“

Tuto základní charakteristiku doby podtrhli i XV. sjezd KSC.

Před časem jsme v AR uveřejnili interview o perspektivách elektroniky – z něho i z časově pozdějších zpráv a usnesení jednoznačně vyplývá, že jedním z nejperspektivnějších oborů národního hospodářství je elektronika, bez jejíž pomoci by se asi nikdy nedosáhlo cílů, které před nás vedoucí síla naší společnosti – strana – postavila na svém historickém XV. sjezdu. Dynamika růstu elektronického průmyslu je neobvyčejná a nemá v historii obdobu; její dosah lze objevit dnes prakticky ve všech ostatních výrobních odvětvích, a nejen tam, je též nezbytnou součástí zvyšování bojeschopnosti a obranyschopnosti všech ozbrojených složek. Přitom rozvoj národního hospodářství vyžaduje, aby se slaboproudá technika a elektronika rozvíjely ještě dynamičtějšími tempy než dosud. Předpokládaný nárůst výroby zboží v šesté pětiletce se pouze u podniků TESLA bude pohybovat kolem 174 %, přičemž se počítá s jeho zabezpečením především růstem růstem společenské produktivity práce (z 92 %), která může být podnícena iniciativou lidí, jejich kvalifikací, poměrem k práci atd.

Jednou jsem po delší době potkal jednoho svého přítele, který na obligátní otázku po tom, jak se má, odpověděl stručně: dobré, neboť mám za zaměstnání koníčka a koníček je mi zaměstnání. Touto větou zcela jednoznačně určil svůj vztah k práci, takový vztah by měl mít každý, pak by jistě odpadlo mnoho různých problémů. Tento vztah k práci se snaží propagovat a k němu vychovávat i redakce AR svými časopisy, navíc chce propagovat úspěšnou práci některých organizací SVAZARNU v tomto směru. A do budoucna – jedinou správnou perspektivou radioamatérské činnosti ve SVAZARNU je perspektiva, kterou před námi všemi vytyčila jednání sjezdů, o nichž byla řeč v úvodu článku.

KVADROFONIE

Ing. Petr Kellner

1. Úvod

Jestliže sledujeme vývoj záznamu a reprodukce zvuku od jeho prvních počátků až po dnešní dobu, pak můžeme pozorovat neustálou snahu o technické zlepšování jeho parametrů. Je to např. kmitočtový rozsah, dynamika, velikost zkreslení apod. Všechny tyto parametry dnes dosáhly již hranice, kterou bude možno jen s velkými obtížemi ještě posunout dále. Ve většině parametrů to ani nemá praktický význam, protože již dnes přesahuje možnost vnímání. Jednou z výjimek je snad ještě dynamika, protože každý záznam má neoddebatelnou složku základního šumu, další výjimkou je způsob konečného vnímání zvuku, tedy forma jeho reprodukce. K potlačení té šumové úrovně, která i na nejmodernějších záznamech dosud zbyla, byly využity nejrůznější systémy počínaje DNL, Dolby B až po studiové Dolby A. Nejlepší z těchto systémů skutečně posunuly úroveň zbytkového šumu a hluku pod práh poznatelnosti.

My se však budeme zabývat spíše otázkou formy reprodukce zvuku. Dávnou snahu všech konstruktérů reprodukčních zařízení bylo zlepšit reprodukci z jediného reproduktoru, tedy v podstatě reprodukci bodovou, a nahrádat ji přinejmenším reprodukcí plošnou. Zvětšit počet reprodukujících soustav a umístit je vedle sebe tento problém nemohlo vyřešit. I když umístíme do dvou rohů jedné stěny místnosti dvě reproduktory soustavy a budeme je napájet shodným signálem, budeme-li od obou stejně vzdáleni, uslyšíme zvuk přicházející ze středu mezi oběma soustavami. Bylo tedy jasné, že při ponechání jediné informace zvětšení počtu reprodukujících soustav nic nevyřeší. To byl počátek vývoje stereofonního záznamu a reprodukce zvuku. Teoreticky ideální stav by byl umístit v nahrávacím studiu řadu mikrofonů a v reprodukčním prostoru pak identickou řadu reproduktorů, přičemž signál, zazycený mikrofonem v určitém místě, by se přiváděl pouze k reproduktoru ve stejném místě. Tento způsob ovšem narážel na základní potíže, neboť takové množství informací nebylo možno nahrát současnými záznamovými metodami a cena podobného zařízení byla rovněž neúnosná. Stereofonie se nakonec zjednodušila do dvoukanálové verze, která je sice nejlevnější, ale také přináší řadu nedostatků. Především ten, že posluchač musí být za všechny okolnosti stejně vzdálen od obou reprodukujících soustav. Jestliže tato podmínka není splněna, pak se převaha zvukové informace posouvá ve směru té soustavy, ke které je blíž, a celý stereofonní dojem mizí a blíží se monofonmu. Aby se tento neodstranitelný fyzikální jev potlačil, nahrává řada firem své gramofonové desky způsobem, označovaným v technickém žargonu jako „pingpongová nahrávka“. Znamená to, že určité nástroje hrají pouze v pravém kanálu. Střed (tj. shodná informace v obou kanálech) bývá záměrně

potlačen, aby vynikla směrovost, i když posluchač nezaujme optimální místo. Stereofonie získala během několika let téměř absolutní převahu nad jednokanálovými reprodukčními systémy – alespoň v oblasti Hi-Fi. Bylo by ovšem omylem tuto skutečnost vysvětlovat pouze a výhradně jejím technickým přínosem. Mnoho okolností totiž jejímu masovému rozšíření napomáhalo. Především náklady – a to nejen pořizovací, ale i provozní. Začátek rozvoje stereofonie byl poznámen prudkou expanzí polovodíkové techniky, která se projevila především v daleko racionálnější metodice výroby. Dvoukanálový zesilovač byl jen o málo dražší než dřívější jednokanálový, osazený elektronkami. Zde máme pochopitelně na myslí výrobní relace. Gramofonová deska se stereofonním záznamem byla jako výsledný produkt zcela shodná s deskou, nesoucí monofonní záznam a v podstatě totéž platilo o domácích magnetofonech, kde čtyřstopy stereofonní záznam (který v té době spatřil světlo světa) byl provozně stejně nákladný, jako dotehdé používaný jednokanálový půlstopy záznam. Přidalo-li se dostatečné množství základ, nestálo tedy v podstatě svedrenímu rozvoji stereofonie nic v cestě.

Ačkoli bylo reklamou hlásáno, že stereofonie znamená dokonalý prostorový akustický vjem, že přenáší posluchače přímo do koncertního sálu – zůstalo bohužel pouze u těchto propagáčních hesel. Je nesporné, že určité kvalitativní přednosti stereofonní reprodukce zvuku přinesla. Je si však třeba také uvědomit, že většina nových majitelů těchto zařízení nezměnila a ani nemohla změnit poslechový prostor. V různých časopisech se občas objevují úvahy na téma poslechového prostoru a umístění reproduktoru zařízení. Aniž by se jejich autoři chtěli dotknout něžného pohlívání, většina těchto úvah se shoduje v tom, že rozhodující slovo při volbě, velikosti i umístění reproduktoru zařízení – a často i zařízení celé poslechové místnosti – určuje právě ženy.

Přitom je však zcela jasné, že posloucháme-li, např. v podmírkách standardního „obýváku“, varhanní koncert, těžko se nám podaří dosáhnout dojemu z poslechu v chrámu svatého Vítě.

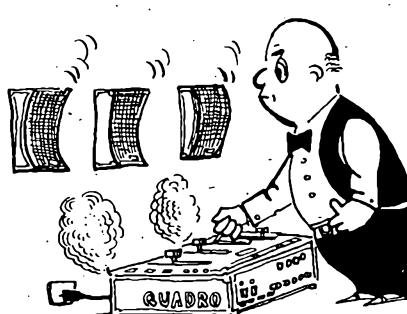
Z výčtu těchto skutečností tedy vycházejí snahy o trvalé vylepšování stávajícího stavu reprodukce. Jak jsme si již v úvodu řekli, technika záznamu i reprodukce dosáhla v současné době téměř nejvyšší hranice. Těžitější zájmu se proto soustředilo na hledání

nových základních způsobů, které by zlepšily výsledný dojem z reprodukce. Začalo to v podstatě tak, že se ze základního stereofonního signálu uměle vytvářely součtové a rozdílové složky a ty se pak jako doplňkové informace vedly ke dvěma přídavným reproduktorem, umístěným v zadních rozích místnosti. Tyto systémy, které bývají všeobecně označovány jako pseudokvadrofoni, mají za účel zlepšit dojem ze stereofonní reprodukce. Byla tu tedy snaha zvětšit počet informací – alespoň v horizontální rovině, když již nikoli prostorově – tak, aby se potlačil nepříznivý vliv poslechové místnosti. Kromě toho přenos horizontálně vicesměrové informace umožňuje další, stereofonní neuskutečnitelné zážitky, neboť i ve skutečnosti k nám přicházejí zvuky ze všech stran. Tento skutečnosti je pak možno pomocí této nové reprodukční techniky využívat, např. při rozhlasových hrách. Je si třeba ovšem uvědomit, že jde především o efekt, protože výraznější hudební složka v zadních reprodukčních soustavách by v nás mohla vytvářet velmi pochybený dojem, že se nalezáme nikoli v hledišti, ale mezi orchestrem a stejným dojem bychom mohli mít při rozhlasové hře, v níž bychom si mohli připadat jako účinkující. Je tedy mimořádně důležité, aby záznamy pro tento nový druh reprodukční techniky byly voleny tak, aby bylo dosaženo přenosu a nikoli levného nicneříkajícího efektu – který však, jak jsme se přesvědčili v počátcích stereofonie – byl v mnoha případech nejvíce obdivován a ceněn.

Počet reprodukčních cest – informací – se tedy vývojem ustálil na čtyřech, neboť větší počet je i při dnešní technice neúnosný ze stejných důvodů, jako při zavádění stereofonního způsobu reprodukce zvuku. Je však nesporné, že toto zdrojovnásobení počtu přenášených informací (na čtyři) přináší značné problémy jak při záznamu na gramofonovou desku, tak i v rozhlasovém přenosu. Nejmenší potíže se prozatím vyskytují pouze u magnetofonového záznamu, neboť při tzv. diskrétním přenosu (všechny informace v samostatném kanálu) lze využít běžného magnetofonového pásku a nahrát čtyři stopy pod sebou.

Způsob záznamu a reprodukce zvuku, u něhož se používají čtyři reproduktory umístěné ve vrcholech čtverce nebo obdélníku, z tohoto způsobu odvodil i svůj název – kvadrofonie. V jejich počátcích, tj. začátkem sedmdesátých let, se vyrobila celá řada různých systémů a celá situace se stala dosti nepřehlednou. Postupem doby a vývojem se problémy značně zjednodušily a v současné době se celosvětově používají asi čtyři systémy. Stále však nedošlo k normalizaci určitého systému ani v národním, natož v mezinárodním měřítku. To je ještě základním problémům kvadrofonie, protože při začátcích vývoje stereofonie byl nejen znám, ale také přijat celosvětově systém jak pro výrobu gramofonových desek, tak i pro rozhlasové vysílání.

Z toho tedy vyplývá, že situace uživateli a tedy i amatéra, který se rozhoduje pro stavbu kvadrofonického zařízení, není právě růžová. O nic lépe na tom nejsou ani ti, kteří se zabývají propagací a prodejem kvadrofon-



nich zařízení. Hovořilo-li se asi před rokem doslova o krachu kvadrofonie, bylo to způsobeno podstatně menším odbytem této zařízení, než se výhledově předpokládalo. Kvadrofoničtí zařízení je nutně podstatně dražší než stereofonní, protože je podstatně složitější. Dalším důvodem je poměrně malý počet kvadrofonických gramofonových desek na trhu. Celosvětově se počet titulů odhaduje asi na 1500 až 2000. To je proti stereofonním deskám procento zcela zanedbatelné. Kromě toho existuje velmi mnoho těch, kteří tvrdí, že kvadrofoničtí nic podstatného nepřináší, a že je tedy zbytečná. Odpověď na tu otázku bude muset dát až budoucnost, kdy se spolehlivě prokáže, že-li kvadrofoničtí skutečně pouze módní záležitosti, nebo technickým přínosem. Mnoho příznaků však již dnes nasvědčuje tomu, že v žádném případě nedojde k jejímu lavinovitému rozšíření tak, jak tomu bylo u stereofonie v jejích začátcích. Je jisté, že vzhledem k velmi vysoké porovnávací ceně kvadrofoničtí zařízení bude mnoho těch, kteří si budou chtít postavit zesilovače a dekodéry sami a vyzkoušet tuto novou techniku s podstatně menšími pořizovacími náklady.

2. Kvadrofoničtí systémy

Dříve než začneme popisovat konstrukci jednotlivých prvků kvadrofoničtí reproduktoričtí zařízení, musíme se seznámit s jejimi principy a používanými systémy. Bez této znalosti bychom mnohá zapojení pravděpodobně těžko pochopili. Je samozřejmé, že nebude probírat všechny kvadrofoničtí systémy, které existovaly, protože velká většina jich již zanikla a nemělo by smysl se jim zabývat. Bude proto vhodné zaměřit se pouze na systémy současně používané, anebo perspektivní. Z téhož důvodu se nebude vůbec zabývat rozhlasovým přenosem kvadrofoničtí signálu, který je zatím zcela v začátcích. V současné době je hlavním zdrojem kvadrofoničtí programů gramofonová deska a na její reprodukci tedy v dalším zaměříme svou pozornost. Proto se také návody na stavbu i popisy kvadrofoničtí systémů budou týkat především gramofonového záznamu. Jedna stať bude věnována magnetofonovému záznamu a reprodukci kvadrofoničtí signálu, protože magnetofony, upravené (i neupravené) pro kvadrofoničtí záznam, umožňují záznam i reprodukci pořadů, pořízených téměř všemi kvadrofoničtí systémy, vyvinutými pro gramofonové desky.

2.1. Rozdělení kvadrofoničtí systémů

Jak bylo již v úvodu řečeno, ve všech současných kvadrofoničtí systémech se ustálilo rohové umístění reproduktorů s tzv. přední bází a analogickou zadní bází. Příklad takového rozmístění je na obr. 1.

Při obecném rozdělení systémů bude vhodné vycházet z celkového počtu přenosových cest a způsobu jejich zakódování. Obvykle se vychází ze skutečnosti, že základní

signál je čtyřkanálový, stejně jako signál na vstupní straně zařízení, určený pro reproduktory. Jestliže je přenosová cesta pouze dvoukanálová, označuje se takový systém 4-2-4. Jestliže je čtyřkanálová, označuje se 4-4-4 a podobně. Pseudokvadrofoničtí produkce by tedy byla označena symbolem 2-2-4. Kromě čtyřkanálového magnetofonu nepřenáší ani jeden ze současných kvadrofoničtí systémů původní čtyřkanálový signál bez kódování. Způsob kódování lze vždy vyjádřit soustavou lineárních rovnic. Rozdíly mezi jednotlivými kvadrofoničtími systémy můžeme pak stanovit podle toho, zda tato soustava má anebo nemá na straně posluchače jednoznačné řešení. Počet rovníc soustavy je určen počtem přenosových cest. Za neznámé v této rovnici povážujeme čtyři původní kvadrofoničtí signály. Pro jednoznačné řešení čtyř neznámých je tedy vždy nutná soustava čtyř lineárních rovnic. Odpovídá to přenosovému systému 4-4-4, který se nazývá přenosem diskrétním. Má-li přenosová soustava menší počet rovnic, není samozřejmě řešení jednoznačné, což se v praxi projeví jako přeslechy mezi jednotlivými kanály. K těm ovšem dochází nikoli z důvodu technické nedokonalosti použitího reproduktoričtí zařízení, ale přímo z principu kódování a dekódování. Pro kvadrofoničtí se v praxi používají dvě nízkofrekvenční přenosové cesty – podobně jako ve stereofonii – a tyto systémy s označením 4-2-4 jsou nazývány maticové.

Zvláštní skupinu tvoří systémy, u nichž jsou signály rovněž zakódovány způsobem 4-2-4, avšak kromě dvou zakódovaných signálů jsou u nich přenášeny ještě další signály, jejichž smyslem je potlačit přeslechy, vzniklé v dekodéru. Tak může být dosaženo výsledků shodných s výsledky u systémů diskrétních. Všechny uvedené systémy mají určité výhody i nevýhody a bude o nich pojednáno v následujících odstavcích. Ještě před tím se však seznámíme s jednotným označováním kvadrofoničtí kanálů. Věříme, že nebude velkým prohřeškem proti českému jazyku, zachováme-li původní anglické označování. Zlepší to srovnání a přehled při případném dalším studiu zahraniční literatury.

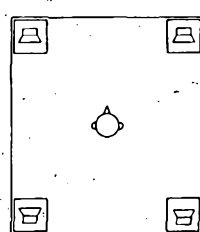
Základní signály jsou označovány takto:

L_F – levý přední signál,
 R_F – pravý přední signál,
 L_B – levý zadní signál,
 R_B – pravý zadní signál.

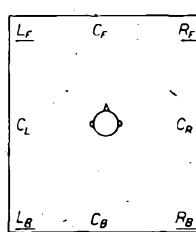
Původní signály se označují znaky, které jsme uvedli, naproti tomu signály po zakódování a opětovném dekódování se označují týmž znaky, avšak doplněny čárkou. Výsledný, pravý přední signál se tedy značí R'_F a ostatní analogicky. Kromě této signálů se též často hovoří o signálech středových, to jsou signály tzv. fantomových zdrojů mezi jednotlivými dvojicemi reproduktoričtí.

C_F – střední přední signál (mezi L_F a R_F),
 C_B – střední zadní signál (mezi L_B a R_B),
 C_R – střední pravý signál (mezi R_F a R_B),
 C_L – střední levý signál (mezi L_F a L_B).

Rozmístění skutečných i fantomových zdrojů signálu je na obr. 2.



Obr. 1. Standardní rozmístění reproduktorů vzhledem k posluchači při kvadrofoničtí reprodukci



Obr. 2. Rozmístění skutečných a fantomových zdrojů signálu v poslechovém prostoru. Skutečné zdroje jsou označeny podtržením

Nakonec je ještě třeba uvést označení zakódovaných signálů u systémů 4-2-4. Ty se označují:
 L_T – levý zakódovaný signál,
 R_T – pravý zakódovaný signál.

2.2. Systém CD-4

Jak jsme se již v úvodu zmínil, ideálním způsobem přenosu všech čtyř kvadrofoničtí signálů je přenos čtyřmi kanály, tedy diskrétní systém. Řekli jsme též, že se v tomto příspěvku budeme zabývat pouze těmi systémy kvadrofoničtí, které jsou používány při výrobě gramofonových desek. Systém CD-4 je v současné době jediným představitelem diskrétní kvadrofoničtí, který nalezl uplatnění na gramofonových deskách. Byl vyvinut ve spolupráci firem Radio Corporation of America (RCA) a Japan Victor Company (JVC) a po počátečních velkých problémech a potížích byl nakonec řadou úprav doveden ke značné dokonalosti.

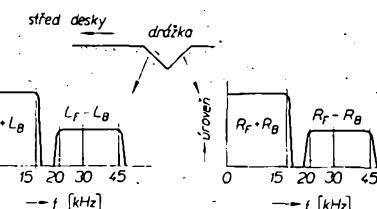
Abychom systém CD-4 lépe pochopili, vysvětlíme si nejprve jeho základní princip a teprve pak se pokusíme objasnit problémy jeho záznamu i reprodukce. V zásadě je podobný rozhlasovému přenosu kmitočtově modulovaného stereofoničtí signálu. Čtyři základní signály se nejprve jednoduchým obvodem upraví na součtové a rozdílové signály podle následujících vztahů:

1. $L_F + L_B$;
2. $R_F + R_B$;
3. $L_F - L_B$;
4. $R_F - R_B$.

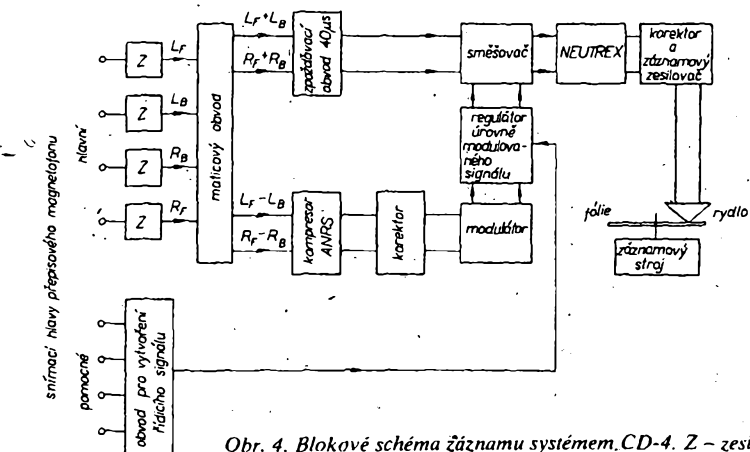
Tyto signály jsou pak zaznamenány na desku tak, že součtové signály jsou zaznamenány běžným způsobem nízkofrekvenční, což umožňuje dosáhnout potřebné sluchitelnosti se stereofoničtí reprodukce. Rozdílové signály jsou modulovány na pomocný kmitočet 30 kHz a jsou superponovány na základní nízkofrekvenční signál. Zařazeným spektrum výsledného signálu v obou stěnách drážky je na obr. 3. Reprodukujeme-li takto nahranou desku běžnou stereofoničtí přenosou, dostáváme v jednom kanálu $L_F + L_B$ a ve druhém $R_F + R_B$. To umožňuje zajistit z této kvadrofoničtí nahrané desky v tomto případě stereofoničtí reprodukci dvěma kanály. Jestliže však pro reprodukci použijeme zvláštní přenosku s kmitočtovým rozsahem asi po 50 kHz a na výstupu demodulujeme signál pomocného nosného kmitočtu, dostaneme kromě součtových i rozdílových signálů, které po průchodu maticovým obvodem umožní dekódovat zpět čtyři původní signály:

$$\begin{aligned} L_F + L_B + (L_F - L_B) &= 2L_F, \\ L_F + L_B - (L_F - L_B) &= 2L_B, \\ R_F + R_B + (R_F - R_B) &= 2R_F, \\ R_F + R_B - (R_F - R_B) &= 2R_B. \end{aligned}$$

Tento systém je tedy v zásadě diskrétní a (čistě teoreticky vzato) by mezi jednotlivými signály neměly být přeslechy.



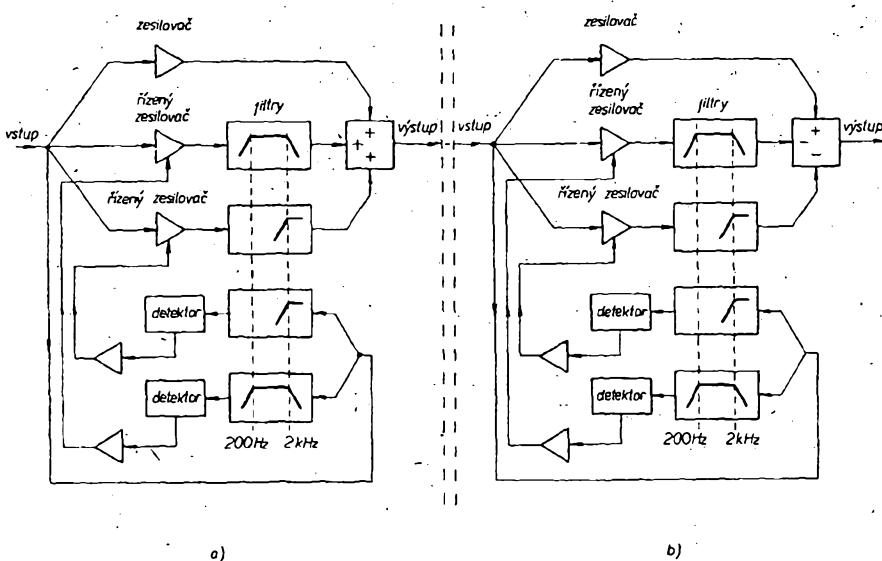
Obr. 3. Kmitočtová pásma v obou stěnách drážky desky CD-4



Obr. 4. Blokové schéma záznamu systémem CD-4. Z - zesilovač

Způsob záznamu CD-4 si nejlépe vysvětlíme na blokovém schématu na obr. 4. Základní čtyřkanálová informace se nejprve v maticevých obvodech upraví na součtové a rozdílové signály. Aby byla zaručena potřebná kompatibilita se stereofonním systémem, součtové signály se dále nijak neupravují. Aby však byl zaručen jejich optimální vztah k rozdílovým signálům, které jsou poměrně složitě upravovány, jsou součtové signály uměle zpozděny asi o 40 μ s. Rozdílové signály přicházejí nejprve do obvodu ANRS (Automatic Noise Reduction System). Tento obvod má za úkol zmenšit dynamický rozsah zaznamenávaných signálů až o 15 dB, aby se zlepší odstup. Tento kompresor dynamiky je (obr. 5) poměrně složitý a signál je v něm

důvodů. Za prvé proto, aby šířka přenášeného pásmá byla co nejúžší. Na horním okraji pásmá z toho důvodu, aby již tak velké pásky byly zaznamenány. Na dolním okraji pásmá opět z toho důvodu, aby modulační spektrum nezasahovalo až do pásmá, v němž je přenášen součtový signál – mohly by tak vznikat nepříjemné zázně. Dolní kmitočet uvedeného spektra nesmí být proto nižší než asi 20 kHz. Druhým důvodem je zlepšit odstup rozdílových signálů od hlučnosti a šumu. Změna způsobu modulace, tedy modulačního indexu, má za následek, že rozdílový signál je zaznamenáván s preemfá-



Obr. 5. Blokové schéma systému ANRS: a - záznamová část, kompresor, b - reprodukční část, expander

rozdelen do tří samostatných pásem. Do 200 Hz se signál neupravuje, první komprimované pásmo leží v oblasti 200 až 2000 Hz, druhé pak mezi 2 kHz až 20 kHz. Tento upravený rozdílový signál je veden na modulátor, který jej namoduluje na pomocný nošný kmitočet 30 kHz. Tato modulace je do 800 Hz kmitočtová, nad 800 Hz fázová. Tento zdánlivě složitý způsob modulace spočívá však ve skutečnosti pouze ve změně indexu u kmitočtové modulace a je použit ze dvou

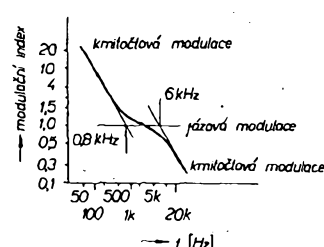
zí, tedy obdobně jako u kmitočtové modulovaného rozhlasového vysílání. Průběh preemfáze v závislosti na kmitočtu je na obr. 6. Jestliže na výstupní straně bude použit obvod s inverzním průběhem oproti průběhu preemfáze (obr. 6), bude v pásmu nad 1 kHz prenosová charakteristika obvodu klesat a to způsobí značné potlačení šumu. Tak se dosáhne citelného zlepšení kvality reprodukce. Tento upravený kmitočtově modulovaný signál je pak dále veden do obvodu řízení úrovně. Tento obvod je ovládán z přepisového magnetofonu sadou hlav, které jsou umístěny před reprodukčními hlavami. Jedná se v principu o shodný obvod, jaký se používá pro řízení vzájemně rozteče drážek při na-

hrávání gramofonových desek, aby bylo možno maximálně využít plochy desky pro dosažení co nejdéle hrací doby. Na obr. 4 není zakreslen obvod pro řízení rozteče drážek, v praxi je však vždy použit.

Za regulátorem úrovně následuje slučovací obvod, v němž se ze součtového a rozdílového signálu vytváří úplný signál jednoho kanálu se šířkou pásmá asi 20 až 45 000 Hz. Odtud se tento úplný signál dostává do dalšího obvodu, který se nazývá Neutrex. Účelem tohoto obvodu je upravit předem zaznamenávaný signál takovým způsobem, aby při jeho reprodukci bylo výsledné zkreslení co nejméně. Jedná se v principu o zařízení velmi podobné tomu, které se pod názvem Dynagroove, Royal Sound apod. používá celkem běžně při nahrávání stereofonních desek. Protože při reprodukci gramofonových desek dochází fyzikálními principy snímání k určitému zkreslení, zavádí toto doplnkové zařízení do zaznamenávaného signálu jakési „předzkreslení“. To znamená signál, který má takový průběh, aby uvedená zkreslení – která ovšem vznikou až při při výrobě desky – kompenzoval. Je třeba upozornit, že se jedná o velmi složitá a nákladná zařízení. Taktéž upravený a „předzkreslený“ signál je přes obvody, upravující kmitočtovou charakteristiku normovaným způsobem (obdobně jako u stereofonního záznamu) veden do záznamové řezací hlavy a zaznamenáván na fólii.

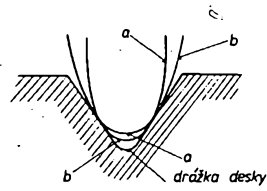
Při výrobě fólie však vzniká další problém. Současná záznamové hlavy nejsou schopny zaznamenat signály vyšších kmitočtů, než asi 30 kHz, zatímco tento systém vyžaduje 45 kHz. Problém je tedy nutno obejít tak, že při záznamu na fólii používáme poloviční rychlosť otáčení záznamového stroje. Ve stejném poměru je samozřejmě nutno zmenšit i rychlosť posuvu u přepisového magnetofonu. V tomto uspořádání bude nejvyšší přenášený kmitočet asi 22 kHz, takže moderní záznamové stroje jej bez potíží zaznamenají. Další výrobní postup je již zcela shodný jako při výrobě stereofonních desek. Vzhledem k tomu, že u desek CD-4 musí být reprodukované signály dvojnosobných kmitočtů, než u běžných stereofonních desek, jsou na jejich výrobní technologii klade ny mimořádně velké požadavky. Tyto požadavky lze v praxi zvládnout jen s velkými obtížemi a nevyrovnanou se s nimi bez zbytku ani firma RCA. V Evropě v současné době neexistuje ani jediná gramofonová firma, která by desky CD-4 vyráběla, a to právě pro mimořádné technické obtíže.

Jestliže záznam a výroba gramofonových desek systému CD-4 je mimořádně náročná, neméně náročné jsou i požadavky na jejich reprodukci. Běžné přenosy pro reprodukci stereofonního záznamu tétoho požadavků nemohou vyhovět. Pro reprodukci desek CD-4 je nutno používat zcela speciální přenosy s minimální efektivní hmotou kmitajícího systému a s maximální poddajností. Tento přenosový systém musí být opatřen i zvláštním typem hrotu. Je nutné si uvědomit, že u nejvyšších přenášených kmi-



Obr. 6. Způsob modulace nosného kmitočtu

točtu působí na hrot snímacího systému mimořádně velké sily na minimální ploše, neboť hrot přenosky se dotýká drážky prakticky ve dvou bodech. Tyto sily jsou téměř na hranici, při níž již mohou způsobit nevratnou plastickou deformaci povrchu drážky, jinak vyjádřeno mohou doslova „vymazat“ signál nejvyšších kmitočtů. To v praxi znamená zničení gramofonové desky. Tentož jev by mohl nastat i tehdy, kdyby tyto desky byly přehrávány běžnou stereofonní přenoskovou. I když jsme si v úvodu řekli, že systém CD-4 je plně kompatibilní, vidíme, že z tohoto důvodu by při přehrávání běžnou přenoskovou byla deska s největší pravděpodobnosti zničena. Příklad hrotu, který svým tvarem umožňuje styk s drážkou na větší ploše, je na obr. 7. Je to tzv. hrot Shibata, který je používán v většině přenosků systému CD-4.



Obr. 7. Dotyk hrotu s drážkou desky při použití konvenčního (a) a Shibata (b) hrotu

Stejně požadavky jsou kladený i na přenoskové raménko a celý gramofon. Je požadováno malé kolísání rychlosti otáčení i přesně nastavený a neměnný antiskating – tedy zařízení nejvyšší třídy Hi-Fi. Jinak řečeno, pro reprodukci desek nahraných systémem CD-4 nelze uvažovat žádný méně jakostní gramofonový přístroj.

Postup dekódování signálu systému CD-4 si opět nejlépe objasníme na blokovém schématu na obr. 8. Signál z přenosky je na vstup dekodéru veden speciálními stíněnými vodiči s malou kapacitou. Bývá obvykle předepsáno, aby zatěžovací odpor byl $100 \text{ k}\Omega$, při kapacitě max. 100 pF . Vstupní signál (řádu jednotek milivoltů) je obvykle nejdříve zesílen v předzesilovači s lineární přenosovou charakteristikou. Za tímto předzesilovačem se pak zesílený signál zpracovává ve dvou samostatných větvích. V jedné větvi je nejdříve zařazen běžný korekční předzesilovač, jehož úkolem je zlinearizovat kmitočtový průběh rychlostní přenosky. Za ním následuje dolní propust s mezním kmitočtem 15 kHz . Za touto propustí dostaneme v obou kanálech součetové signály $L_F + L_B$, popř. $R_F + R_B$.

Ve druhé větvi prochází signál nejprve pásmovou propustí 20 až 45 kHz , v níž je potlačen nežádoucí součetový signál. Za touto propustí pak následuje kmitočtový demodulátor, pracující s oscilátorem s fázovým závesem. Tento demodulátor se skládá z fázového

detektoru, který porovnává fázi přiváděného signálu s fázi napěťové řízeného oscilátoru, jehož kmitočet je řízen chybou napětím fázového detektoru. Toto chybou napětí tedy odpovídá změnám fáze, popř. kmitočtu a je tedy vlastně demodulovaným výstupním napětím detektoru PLL. Použití tohoto obvodu v dekodéru CD-4 přináší několik podstatných výhod. Oscilátor předeším sleduje odchylinky, způsobené změnami rychlosti otáčení, tedy kolísáním použité mechaniky gramofonu. Kromě toho není fázový detektor citlivý na změny amplitudy vysokofrekvenčního signálu a není tedy třeba signál před modulací zvlášť omezovat. Další výhodou detektoru PLL je velmi malé zkreslení demodulovaného signálu a dále skutečnost, že neobsahuje žádné laděné obvody a lze jej tedy velmi snadno nastavit, popř. není jej třeba nastavovat vůbec. V bloku demodulátoru je obvykle zařazen též obvod, indikující přítomnost pomocného nosného kmitočtu 30 kHz , kterým je zapojována indikační žárovka, upozorňující, že je přehrávána deska CD-4. Je zde také zařazen obvod umlčovače, a to v řetězu rozdílového signálu. Za demodulátorem následuje dolní propust s mezním kmitočtem 15 kHz a za ní pak obvod deefáze, korigující kmitočtovou charakteristiku inverzne k průběhu na obr. 6. Jeho funkce již byla popsána ve statí o záznamu. Za tímto obvodem následuje umlčovač. Toto zařízení blokuje kanál rozdílové složky tehdy, není-li v signálu obsažen pomocný nosný kmitočet 30 kHz . Zabraňuje tak pronikání rušivých signálů na výstup dekodéru. Časová konstanta tohoto umlčovače je poměrně velká, přibližně 600 ms a to proto, aby se rozdílový kanál neotevřel při reprodukci stereofonních anebo maticových desek, kdy náhodná interference v oblasti 30 kHz by mohla na okamžik otevřít tento kanál a způsobit tak krátkodobý rušivý šum. Při zániku vysokofrekvenční složky se rozdílový kanál velmi rychle opět uzavře. Časová konstanta uzavření je asi 20 ms . Za umlčovačem jsou již v obou kanálech kmitočtové správné rozdílové signály $L_F - L_B$ a $R_F - R_B$, jejich dynamický rozsah je však dosud komprimován. Signály musí proto projít ještě expandérem ANRS, jehož uspořádání vyplývá z obr. 8. Z expandéru již tedy vychází signál s původním kmitočtovým rozsahem i původní dynamikou. Oba výsledné signály, součetový i rozdílový, jsou vedeny do jednoduchého maticového obvodu, ve kterém se získají výsledné signály L_F , L_B , R_F a R_B podle rovníc, uvedených v úvodu této kapitoly.

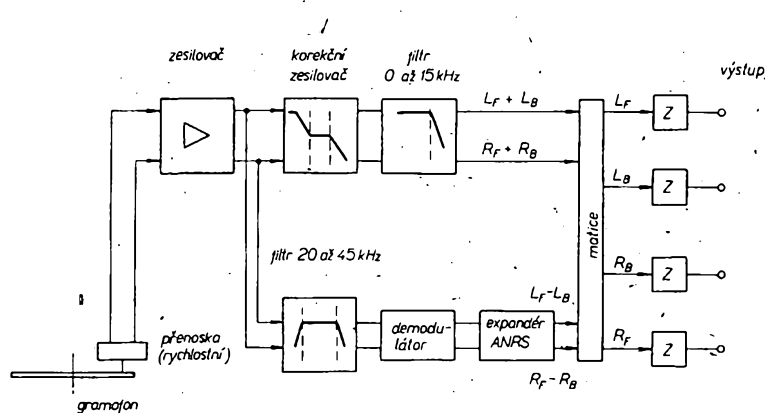
V těchto signálech by se teoreticky vzato neměly uplatňovat přeslechy. Praxi se však u signálů s kmitočtem asi 1 kHz objevují přeslechy 20 až 30 dB , u signálů s kmitočtem asi 10 kHz pak 15 až 25 dB . Používá-li se méně jakostní zařízení – předeším přenoska – zvětšují se přeslechy zhruba o 10 dB . Přitom odstupy rušivých napětí se pohybují

mezi -55 až -60 dB . To se ovšem týká desky a demodulátoru, nikoli gramofonu.

Jak je vidět, je systém CD-4 velmi složitý a také velmi náročný na jakost všech členů nejen záznamového, ale i reproducčního řetězu. Pro tyto mimořádné požadavky narází v současné době a pravděpodobně asi také v budoucnosti nejen na technické a technologické obtíže, ale též na potíže ekonomické a tudíž i odbytové. Reprodukční zařízení je poměrně komplikované a musí být navíc i velmi kvalitní, což si nemůže každý dovolit. Dalším problémem je i velmi malý počet existujících desek, nahrávaných systémem CD-4, odhaduje se asi na 400 titulů. Výběr je tedy navíc značně omezený – jedinými výrobci desek jsou firmy RCA a JVC. Stejnými problémy by byla zatížena i amatérská výroba podobného zařízení, a protože navíc na našem trhu desky CD-4 nejsou a patrně ani dlouho nebudu, nebude se tímto systémem dále zabývat, ani popisovat jeho konstrukci. Tím ovšem nechceme tvrdit, že se v budoucnosti systém CD-4 neobjeví ve větším rozsahu i u nás. Kdyby se podařilo dořešit některé dosud trvající technické problémy, byl by to jistě systém kvalitní.

2. 3. Systém SQ Columbia

Tento systém je na rozdíl od předchozího systému maticovým, tj. 4-2-4. O maticových systémech se všeobecně tvrdí, že jsou jednodušší, než systémy diskrétní. V technickém principu je to tvrzení zcela správné. Problémem však jsou poměrně velké přeslechy mezi kanály, což je všeobecně považováno za jednu ze základních nevýhod maticových systémů. Pro dekódování u těchto systémů však mohou být použity tzv. „logicky řízené“ dekodéry, jimiž je možno zmenšit přeslechy prakticky na úroveň přeslechů diskrétních systémů. Toto zlepšení přináší ovšem podstatně složitější zapojení dekodéru. Největším problémem pak je navíc skutečnost, že k tomuto zkomplikování dochází na reprodukční straně, tedy u posluchače, jehož zařízení se tím nejen komplikuje, ale i zdražuje. Poprvéž řečeno maticový systém spojený s „logicky řízeným“ dekodérem se co do komplikovanosti a nákladnosti může srovnávat s dekodérem systému CD-4. Naopak tomu však mají desky maticových systémů v praxi lepší parametry odstupu signálu od sumu než desky systému CD-4. Kromě toho je výroba desky s maticovým kódováním jednodušší, než desky CD-4, u nichž platí, že jejich kvalita velmi kolísá, protože každá deska se nepovede tak, jak by si to výrobce přál. Naproti tomu u maticových desek lze větší přeslechy vhodně zamaskovat dobrou zvukovou rézí tak, že při poslechu nebudou příliš vadit. Srovnáme-li výhody i nevýhody, vše hovoří v současné době ve prospěch maticové kvadrofonie a také zdejší způsobuje její podstatně větší rozšíření, než je tomu u diskrétního systému CD-4. Přitom systém SQ Columbia je dnes nejrozšířenějším kvadrofonním systémem vůbec. U tohoto systému je s výhodou využíváno několika psychoakustických principů, objevených a propagovaných laboratořemi Columbia. Z nich pak byly vytvořeny zjednodušující předpoklady pro volbu kódovacích a dekódovacích principů. Pokud by měl někdo při vyslovení pojmu „psychoakustika“ pocítit, že se jedná o něco, co by bylo možno nahradit slovem „švindl“, pak nemá zcela pravdu. Jedná se totiž v principu o fyziologické vlastnosti lidských smyslů, které si kupř. neúplné anebo časově následné informace automaticky zpracovávají v kom-



Obr. 8. Blokové schéma reprodukčního řetězce CD-4; Z – zesilovač

pletní obraz, nebo obraz podle určitých zákoností. Příkladem praktického užití uvedeného principu je třeba projekce filmu, barevná televize a další. Psychoakustika se obdobně snaží využít podobných vlastností lidského sluchu.

Na principech psychoakustiky a též na důrazně uplatňované slučitelnosti kvadrofonní desky s deskou stereofonní je založeno kódování a dekódování systému SQ. Při kódování se čtyři základní signály L_F , R_F , L_B a R_B zakódují do dvou signálů L_T a R_T podle následujících vztahů:

$$L_T = L_F - j0,7R_B + 0,7R_F,$$

$$R_T = R_F + j0,7R_B - 0,7L_B.$$

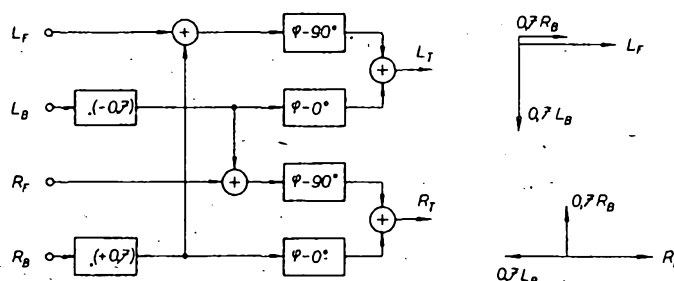
Symboly $+$ a $-$ j značí fázový posuv signálu o $+90^\circ$, popř. -90° . Blokové schéma kodéru je na obr. 9, kde jsou výsledné signály L_T a R_T znázorněny vektorově.

$$L'_B = L_B + j0,7L_F - 0,7R_F$$

$$R'_B = R_B - j0,7R_F + 0,7L_F.$$

Dekodér, jehož blokové schéma je na obr. 10, obsahuje tedy jednak obvody pro posuv fáze o 90° , jednak směšovací síť, upravující amplitudy jednotlivých signálů podle dekódovacích rovnic. Na témtě obrázku jsou vektorově znázorněny výstupy z jednotlivých kanálů dekódéru. Z těchto vektorových znázornění i z rovnic plynou některé základní principy, určující vlastnosti kódovacího a dekódovacího systému SQ.

Stranové přeslechy mezi kanály obou bází, tj. přeslech mezi levým předním a pravým předním kanálem, nebo přeslech mezi levým zadním a pravým zadním kanálem jsou zanedbatelné. Je proto zcela přesná lokalizace zvuku na přední bázi. Naproti tomu má tento systém poměrně velké přeslechy mezi středovými kanály.



Obr. 9. Blokové schéma kódování SQ a vektory výstupních signálů

Levý přední signál L_F se tedy objevuje pouze v levém zakódovaném signálu L_T a pravý přední signál R_F se objevuje pouze v pravém zakódovaném signálu R_T . Z toho vyplývá, že i přeslech mezi předními signály je teoreticky nekonečně malý. Jestliže signály R_T a L_T vedeme na pravý a levý vstup stereofonní záznamové hlavy, pak L_F a R_F budou zaznamenány pod úhly $\pm 45^\circ$, tedy zcela shodně jako při běžném stereofonním záznamu. Levý zadní signál L_B se po zakódování objeví v obou výstupních kanálech L_T a R_T s úrovní o 3 dB menší a fázově posunut o 90° . Při záznamu tohoto signálu koná hrot řezacího nože kruhový pohyb ve směru hodinových ručiček. Stejně tak se pravý zadní signál R_B po zakódování objeví v obou výstupních kanálech L_T a R_T opět s úrovní o 3 dB menší, je však fázově posunut o 90° v opačném směru. Hrot řezacího nože tedy koná kruhový pohyb proti směru hodinových ručiček. Přední středový signál C_F , přivedený ve fázi na vstup L_F a R_F kodéru, se objeví ve fázi na jeho výstupu v kanálech L_T a R_T . Při záznamu na desku bude tedy zaznamenáván stranový řezem, jako monofonní signál, anebo středový signál u stereofonie. Zadní středový signál C_B bude v kanálech L_T a R_T zakódován v protifázi a bude tedy zaznamenán hluškovým řezem.

Z toho plyně, že kvadrofonní desku systému SQ Columbia je možno bez ztrát informací přehrát stereofonně či dokonce monofonně. V tomto případě však nebude reprodukována informace C_B . Kvadrofonní dekodér SQ používá následující dekódovací rovnici:

$$L'_F = L_T; \quad L'_B = 0,7L_T - j0,7R_T;$$

$$R'_F = R_T; \quad R'_B = j0,7L_T - 0,7R_T.$$

Dosadíme-li za L_T a R_T symboly z původní soustavy rovnic, dostaneme výsledné reprodukované signály, vyjádřené pomocí původních:

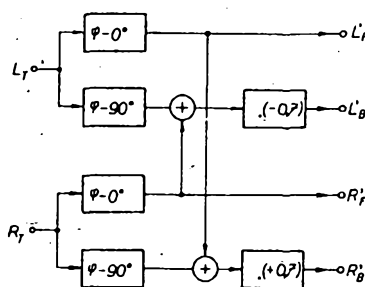
$$L'_F = L_F - j0,7L_B + 0,7R_B,$$

$$R'_F = R_F + j0,7R_B - 0,7L_B,$$

vými signály přední a zadní báze, C_F a C_B . V těchto případech je přeslech 0 dB , což znamená, že oba signály jsou co do velikosti shodné, fázově jsou však posunuty o 180° . Stranové přeslechy mezi C_L a C_R jsou nestejně velké, jak to vyplývá z principu kódovací s dekódovací matic. Reprodukujeme-li signály C_L a C_R monofonně, tedy zkoumáme-li přeslech do C_F , pak přeslech C_L je $-5,3 \text{ dB}$ a $C_R + 2,3 \text{ dB}$, což může způsobit nežádoucí posuv zvukového obrazu.

Systém SQ má tedy mnoho výhod, mezi které patří především dobrá slučitelnost se stereofonní reprodukcí, má však také řadu závažných nedostatků, mezi nimiž na prvním místě musíme uvést příliš velké přeslechy. V praxi se celý problém jeví tak, že pokud posluchač zaujme při poslechu optimální místo uprostřed poslechového prostoru a nehybá hlavou, pak díky řadě faktorů, plynoucích ze zmíněných psychoakustických principů, bude lokalizace zdrojů zvuku uspokojující. Jakmile však otočí hlavu, nebo se pohně z místa optimálního poslechu, tyto principy přestávají účinkovat a přeslechy systému se okamžitě rušivě uplatní. Tato situace je ovšem velmi podobná poslechu stereofonního signálu, nahrávaného některým z klasických systémů, především X-Y. I zde je posluchač pro správnou lokalizaci nucen zaujmout místo přesné ve středu poslechového prostoru.

U diskrétních systémů kvadrofonie jsou tyto problémy podstatně menší, nebylo by však účelové proto maticové systémy zavrhovat. Za cenu určitých ústupků je totiž možno



Obr. 10. Blokové schéma základního dekódéru SQ

i u nich snížit přeslechy na přijatelnou velikost. A právě v systému SQ je podobná možnost, aniž by to nadměrně komplikovalo zařízení.

Jak již víme, středové přeslechy jsou vždy v protifázi. Jestliže tedy spojíme kanály protilehlé příslušnému středovému signálu, přeslechové signály se vyruší. Středový přeslech bude tedy nulový, stranový přeslech bude ovšem maximálně velký (oba signály shodné). Z této skutečnosti můžeme dojít ke kompromisnímu řešení, že stranové přeslechy vpředu uměle zvětšíme na 20 dB , což odpovídá 10% smíšení předních kanálů a stranové přeslechy vzadu zvětšíme až na 8 dB , což odpovídá 40% smíšení obou kanálů. Potom bude pro C_F v zadních kanálech přeslech

$$L'_B = +j0,7C_F - 0,7C_F + 0,4(-j0,7C_F + +0,7C_F) = +j0,42C_F - 0,42C_F$$

Po vektorovém součtu bude tedy absolutní hodnota přeslechového signálu $0,59C_F$, tj. přeslech asi 5 dB . Přeslech ze zadu dopředu bude pochopitelně větší a to

$$L'_F = -j0,7C_B + 0,7C_B + 0,1(+j0,7C_B - +0,7C_B) = -j0,63C_B + 0,63C_B.$$

Absolutní hodnota přeslechového signálu bude tedy asi $0,9C_F$, tedy přeslech asi 1 dB . Uvažme-li však, že podstatná část zvukové informace je obsažena v předních kanálech, je toto řešení celkem vyhovující a taktéž upravené dekodéry, označované $10-40$ (podle směšování vyjádřeného v procentech) dávají při reprodukci celkem obecně výsledky.

Dalším stupněm k zmenšení přeslechů mohou být již jen logické obvody, zmenšující přeslech v závislosti na poloze hlavního signálu a pracující buď na principu změny zesílení kanálů, nebo změny součinitele směšování v základní matici. Tyto logické obvody s ohledem na výslednou cenu dekodéru musí být co nejjednodušší. Nejprve se však podívejme, jak vypadá řídící logika, která je schopna identifikovat, zda je v reprodukci obsažen středový přední (C_F), anebo středový zadní (C_B) signál. Zakódujme si nejdříve

$$L_T = C_F, \quad R_T = C_F.$$

$$\text{Potom zřejmě } L_T + R_T = 2C_F \text{ a } L_T - R_T = 0.$$

Zakódujeme-li nyní signál C_B , bude

$$L_T = -j0,7C_B + 0,7C_B,$$

$$R_T = +j0,7C_B - 0,7C_B.$$

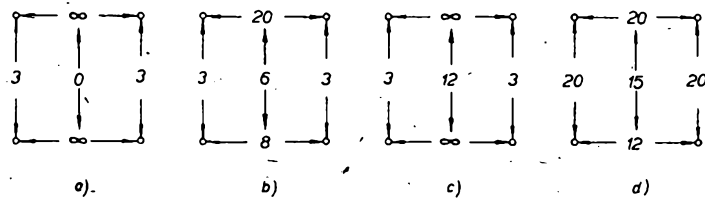
Z tohoto vztahu opět vyplývá, že

$$L_T + R_T = 0 \text{ a } L_T - R_T = 2C_B.$$

Uvažujeme-li nyní vztahy mezi součtovým a rozdílovým signálem, je zřejmé, že je-li

$L_T + R_T > L_T - R_T$, převládají v reprodukci přední signály a naopak. Vytvoříme-li na základě těchto vztahů porovnávací obvod, můžeme jeho výstupním signálem řídit zesílení příslušných kanálů, nebo ovlivňovat směšovací součinitely. Přeslech mezi C_F a C_B tak můžeme značně





Obr. 11. Vývoj dekodérů SQ z hlediska přeslechů (dB); a) základní dekodér, b) základní dekodér se směšováním 10-40, c) dekodér s předozadní logikou, d) dekodér s předozadní a tvarově srovnávací logikou

zmenšit, v praxi lze dosáhnout asi 10 až 15 dB, což postačuje i pro vysoké nároky. Tento porovnávací obvod je však neúčinný pro stranové signály. Pro tyto signály je přeslech stále jen 3 dB. Chceme-li zlepšit přeslech i u těchto signálů, musíme použít jiný, vyšší typ řídící logiky. Přehled jednotlivých druhů dekodérů systému SQ a dosažitelného přeslechu jsou na obr. 11.

Jak již bylo řečeno, lze předozadní přeslechy zmenšit směšováním, doporučený poměr je 10-40 (vysvětleno v předchozích odstavcích). Blokové schéma takového dekodéru je na obr. 12. Ke směšování slouží odpory, propojující příslušné výstupy. Na obr. 13 je blokové schéma dekodéru s předozadní směšovací logikou. Jak z obrázku vyplývá, zařízení obsahuje základní dekodér SQ, u něhož jsou výstupy předních i zadních kanálů propojeny proměnnými odpory. Velikost těchto odpórů je řízena předozadní logikou. Signály $L_T + R_T$ a $L_T - R_T$ jsou odebrány před dekodérem. Protože je žádoucí, aby logika reagovala pouze na signály středních kmitočtů, při nichž je lokalizace rozhodující, jsou tyto signály nejprve kmitočtově omezeny a pak vedeny do zvláštního obvodu, který upraví jejich úroveň tak, aby byla pro využití konstantní. Je totiž nezbytné, aby logika pracovala i při změnách napětí vstupního signálu v rozsahu asi 30 dB stejně účinně. Taktéž upravené signály jsou usměrněny a získaná stejnosměrná napětí se vedou

na porovnávací obvod, který podle velikosti jednoho či druhého napěti mění velikost směšovacích odporů. Jestliže je na příklad $L_T + R_T$ větší než $L_T - R_T$, znamená to, že je přítomen signál C_F a řídící logika zmenší odpor mezi zadními kanály. Tím se častěně vyrůší nežadoucí signál v protifázi a přeslech zpředu dozadu se zmenší. Dekodér podle obr. 12 obsahuje asi 35 tranzistorů a 15 diod. Bude popsán v následující kapitole.

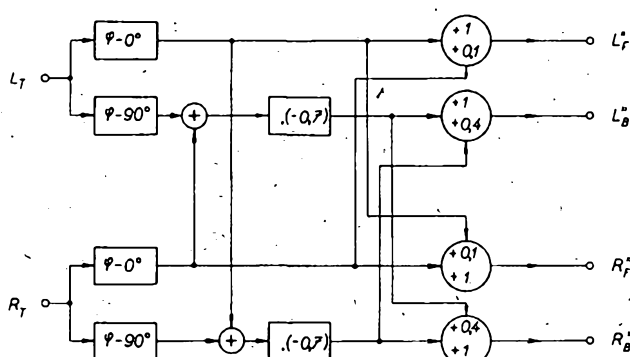
Dekodér s předozadní logikou umožnuje již velmi dobrou kvadrofonickou reprodukci a to zejména při poslechu významné hudby, při níž bývají zadními reproduktory přenášeny pouze signály, vytvářející prostorový dojem sálu.

Ke zmenšení stranových přeslechů se používá další logika, tzv. tvarově srovnávací logika. Všimneme-li si výstupních signálů základního dekodéru, zjistíme, že se opět jedná pouze o to, rozlišit přední signály od signálů zadních, protože stranové přeslechy není třeba ani v přední ani v zadní bázi zlepšovat. Na obr. 14 je blokové schéma obvodu pro získání řídících signálů tvarově srovnávací logiky a výsledné vektory v jednotlivých bodech, označených A až H. Vstupní signály L_T a R_T jsou nejprve fázově posunuty vzájemně o 90°, pak projdou obvodem automatického řízení úrovně a nakonec se vzájemně sečtou a odečtou. Tak dostaneme čtyři výsledné signály v bodech C, D a G, H. Je si třeba všimnout fázových i amplitudových poměrů v jednotlivých bo-

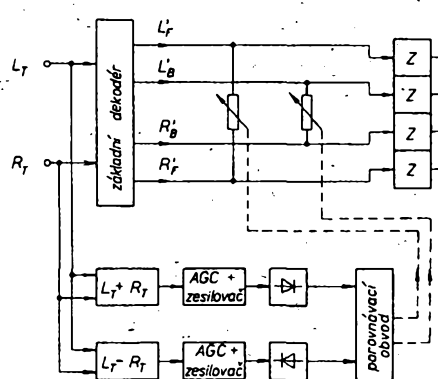
dech. V bodech Ca a Db mají stejnou amplitudu vektory R_B a L_B . Přitom R_B jsou ve fázi a L_B v protifázi. Ostatní vektory mají jiné amplitudy i fáze, anebo se v obou bodech současně nevykypují. Přávě tak v bodech G a H mají stejnou amplitudu, avšak opačnou fázi signály L_F a R_F . Toho je využíváno k vytvoření řídicích signálů. Protože však fáze těchto signálů jsou různé, bylo by třeba pro odvození řídicích signálů obrátit fáze některých základních signálů. To však není možné. Nelze například v bodu C obrátit fázi signálu L_B tak, aby byla shodná s fází signálu L_B v bodu D, aniž bychom současně neobrátili fázi signálu R_B . Pak by byl v protifázi signál R_B . Proto nejdříve všechny čtyři signály v bodech C, D, G, a H usměrníme dvoucestným usměřovačem. Budeme-li po usměrnění srovnávat napětí na výstupech C a D, zjistíme, že jsou shodná tehdyn, jsou-li přítomny signály L_B nebo R_B . Odečteme-li od sebe za tohoto stavu oba usměrněné signály, bude výsledný signál nulový. Ve všech ostatních případech se bude výsledný signál od nuly lišit. Stejný případ nastane, odečteme-li usměrněné signály na výstupech G a H. Jestliže je tedy diferenciální napětí na bodech C a D větší než na bodech G a H, převládá v reprodukci přední signál. Jestliže je naopak differenciální napětí v bodech G a H větší než v bodech C a D, převládá v reprodukci zadní signál. Je to tedy obdobný případ jako u předozadní logiky. Výsledná napětí pak řídí porovnávací obvod, na jehož výstupu získáme signál pro ovládání dekodéru.

Musíme si ještě povšimnout dvou důležitých skutečností, vyplývajících z předchozího popisu. Tvarově srovnávací logika nereaguje především na středové signály C_F a C_B , protože tyto signály nejsou ve vhodném fázovém vztahu a nelze je tedy vzájemně tvarově srovnávat, jak vyplývá z obr. 14. Proto bude nutné použít v dekodéru oba druhy logiky, tj. předozadní i srovnávací současně, aby bylo možno rozlišit přední a zadní bázi. Dále je si třeba uvědomit, že signály tvarově srovnávací logiky nelze řídit směšovací poměry v dekodéru, neboť se v tomto případě nejedná o signály v protifázi, ale pouze hlasitost předních a zadních kanálů.

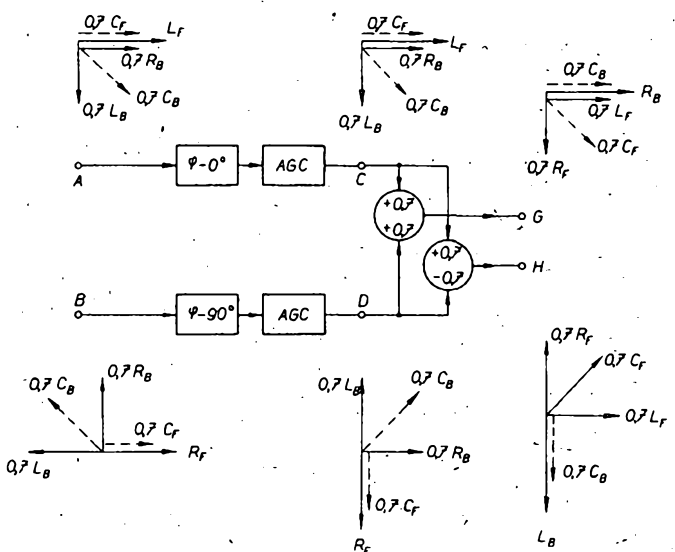
Na obr. 15 je blokové schéma dekodéru SQ s předozadní i tvarově srovnávací logikou. Řídící signál může být použit bud



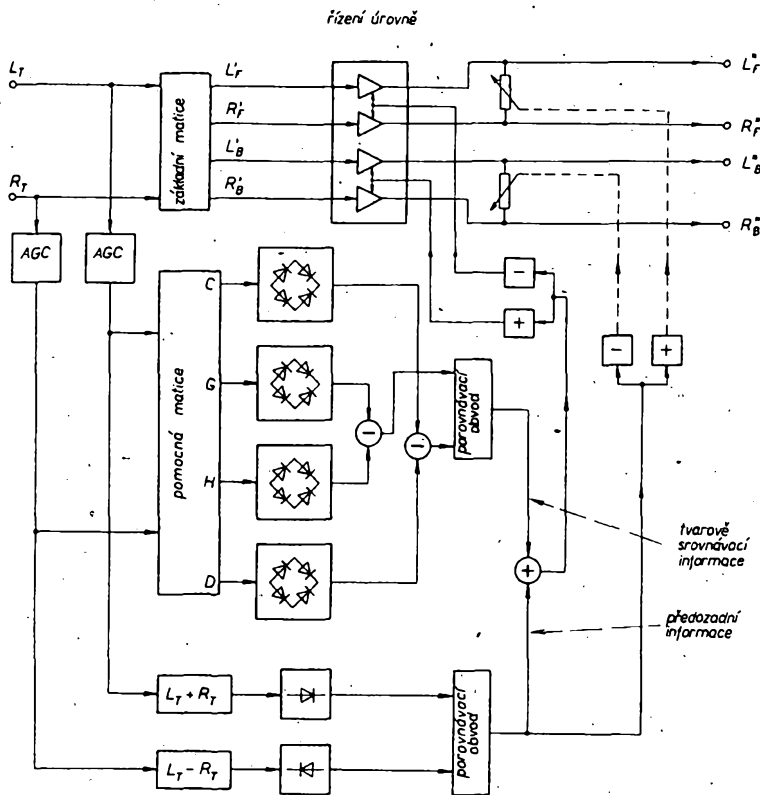
Obr. 12. Dekodér SQ s pevným směšováním 10-40



Obr. 13. Dekodér s předozadní směšovací logikou. Z - zesilovač.



Obr. 14. Odvození řídicích signálů tvarově srovnávací logiky



Obr. 15. Dekodér SQ s tvarově srovnávací a ohěma druhý předozadní logiky

k řízení zesílení, nebo k řízení směšovacích poměrů dekodéru. V praxi se v poslední době používají obě tyto metody současně, jak vyplývá z obr. 15.

Signály L_T a R_T přicházejí jednak na základní dekodér a jednak dále přes obvody automatického řízení úrovně na obvod předozadní logiky. Po zpracování signálů $L_T + R_T$ a $L_T - R_T$, které bylo již popsáno, dostáváme řídící signál předozadní logiky. Signály L_T a R_T odebíráme dále pro tvarově srovnávací logiku. Tyto signály jsou vedeny opět do obvodu automatického řízení úrovně a dále do matice pro vytvoření signálů v bodech G a H . Všechny čtyři signály jsou pak dvoucestně usměrněny a vzájemně odečteny ($U_C - U_D$ a $U_G - U_H$). Výsledná napětí slouží k řízení porovnávacího obvodu, na jehož výstupu je řídící signál tvarově srovnávací logiky. Signály z obou typů logik se sčítají a řídí úrovňě výstupních zesilovačů základního dekodéru. Jak již bylo řečeno, lze tímto způsobem dosáhnout přeslechu až 20 dB, což již odpovídá výsledkům, dosaženým diskrétní kvadrofonii. Je ovšem nutné uvědomit si, že takové přeslechy získáme pouze v tom případě, vyskytuje-li se v přenosu výrazně pouze jeden kanál. Přivádime-li na dekodér více signálů, pak logika nutně jeden preferuje a ostatní potlačuje. Jestliže by na vstup dekodéru přicházely současně čtyři signály s přibližně stejnou úrovni, pak by logika přestala pracovat a vzájemně přeslechy by se okamžitě zhoršily až na 3 dB. I když tomu tak teoreticky skutečně je, přesto tato okolnost v praxi nemusí tolik vadit, protože ani při přímém poslechu složených signálů nelze vždy přesně určit jejich směry a proto ani v případě systému SQ nebude zhoršení lokalizace vyloženou závadou. Je nutné uvědomit si, že dekodéry, používající obě logiky, jsou již značně složitá zařízení a mezi nimi a dekodérem systému

CD-4 není velký rozdíl. Přesto však systém SQ se podstatně rychleji rozšířil pro daleko menší technickou náročnost.

Pro dekodéry SQ – samozřejmě však i pro dekodéry ostatních systémů – se v poslední době vyrábějí speciálně integrované obvody, které konstrukci dekodérů podstatně zjednoduší. Například dekodér SQ s předozadní i tvarově srovnávací logikou obsahuje jen tři integrované obvody a několik pasivních prvků. To umožňuje další rozšíření kvadrofonie bez velkých technických problémů. K reprodukci gramofonové desky nahrané systémem SQ postačuje běžný gramofon a běžná gramofonová přenoska. Nejvyšší třída kvality není u pouzdrovaného zařízení nezbytnou podmínkou. Tato skutečnost znamená, že reprodukční zařízení může být levnější a je zde proto předpoklad většího rozšíření systému SQ.

Také u nás se začnou vyrábět gramofonové desky nahrané systémem SQ. Z amatérského hlediska tedy poskytuje systém SQ

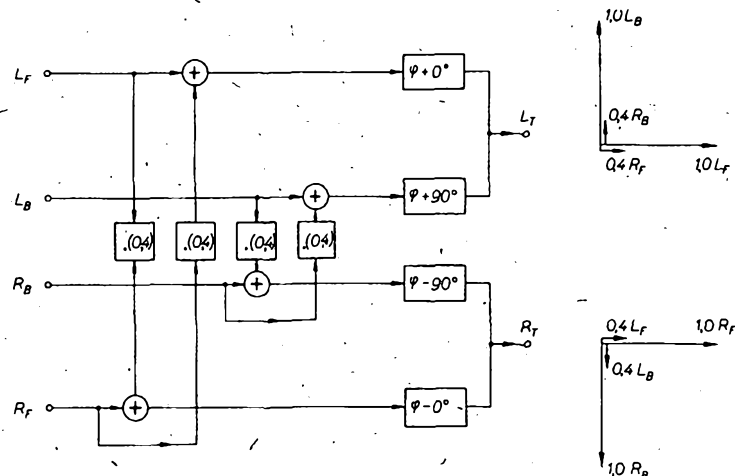
největší možnosti realizace a stavba kvadrofonických zařízení využívajících tohoto systému bude proto popsána v konstrukční části.

2.4. Systém QS Sansui (Regular Matrix)

Tento systém, který vyvinula japonská firma Sansui, je druhým nejrozšířenějším systémem používající matice, tedy označený 4-2-4. Když se kvadrofonní výzkumu v podstatě vzdala firma Electrovoice, zůstaly prakticky dva maticové systémy. Jenak právě popsaný systém SQ Columbia, a jednak systém QS Sansui. Posledně jmenovaný systém byl již dokonce normalizován v Japonsku pod označením Regular Matrix a používá zkratku RM.

Systém QS je celosvětově velmi rozšířen. Počet gramofonových desek nahraných tímto systémem je dokonce větší, než desek, nahraných systémem SQ. Je sice pravda, že největší počet nahraných titulů je právě v Japonsku, ale i ve Spojených státech vydává desky nahrané systémem QS asi patnáct firem; též v Evropě už bylo vydáno nejméně 50 titulů desek QS a to především firmami Decca, Pye a Barclay.

Vzájemné hodnocení systémů SQ a QS je velmi obtížné. Když bylo možno z obvodu vytíjet jeho klady a vytvořit z nich systém nový, bylo by to teoreticky nejlepší řešení. U každého maticového systému jsou největším problémem, jak jsme si již vysvětlili, přeslechy. Rozhodněme-li se při tvorbě matice pro malý přeslech v jednom směru, zůstanou vždy zbylé dva přeslechy velké (3 dB). Záleží na názoru konstruktéra, které kanály budou mít největší a které nejmenší přeslech. A právě v této otázce se oba systémy zásadně liší. Zatímco systém SQ klade největší důraz na co nejméně stranové přeslechy a co nejlepší stereofonní slučitelnost, systém QS klade největší důraz na všeobecnou symetrii vytvořeného zvukového pole. V praxi to znamená, že posloucháme-li dekódovaný signál například z reproduktoru vlevo vpředu (L_F), pak oba nejbližší kanály, tedy R_F a L_B budou mít přeslechy 3 dB, zatímco protilehlý kánál R_B bude mít přeslech prakticky nulový. Tato úvaha platí s určitým omezením po celém kruhu kvadrofonního přenosu. Tento způsob není bez zajímavosti. Je totiž subjektivně zjistitelné, že u systému SQ působí přeslechy v úhlopříčce velmi rušivě a to navzdory všem hlásaným psychoakustickým principům. Totéž se týká i stranových přeslechů mezi L_F a L_B , nebo mezi R_F a R_B , kdy často dochází k situaci, že se nám zdá, že jsou příslušné reproduktory soustavy propojeny a reprodukují stejný stereofonní signál. Naproti tomu je opět reprodukce systému QS vzhledem k velkým stranovým přeslechům (pouze



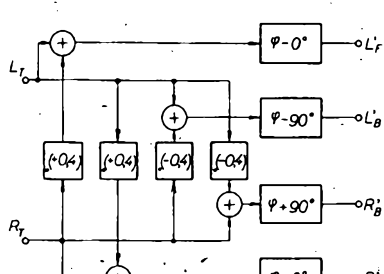
Obr. 16. Blokové schéma kódování QS a vektory výstupních signálů

3 dB) značně rozmazená a obtížně lokalizovatelná. Tak velký přeslech způsobuje v přední bázi podstatné zhoršení stranového výjemu a při reprodukci téhoto desetí dešek běžným stereofonním zařízením bude mezi oběma kanály přeslech pouze 7,7 dB, což je hodnota nepostačující. Naproti tomu však jsou při stereofonní reprodukci zadní signály reprodukovány v protifázi (na rozdíl od systému SQ), což přispívá k vytvoření dojmu prostoru. Je velmi obtížné rozhodnout, který systém je při kvadrofonní reprodukci lepší. Z uvedeného výčtu zcela odlíšných vlastností jednotlivých maticových systémů též vyplývá, že se v podstatě stále hledá to, co vlastně může být v kvadrofonní reprodukci považováno za podstatné a co za méně významné. Jisté však je pouze to, že systém QS má podstatně horší slučitelnost se stereofonii a že právě tato slučitelnost může být – alespoň zpočátku – rozhodující pro jeho pomalejší zavedení.

Podívejme se nyní na základní principy kódování a dekódování v systému QS Sansui. Na obr. 16 je blokové schéma kodéru QS a znázorněny vektory zakódovaných signálů L_T a R_T za předpokladu, že všechny čtyři vstupní signály mají stejnou amplitudu. Kódování probíhá podle vztahů
 $L_T = L_F + 0,414R_F + j(L_B + 0,414R_B)$,
 $R_T = R_F + 0,414L_F - j(R_B + 0,414L_B)$. Z vektorů na obr. 16 i z kódovacích rovnic již vyplývají rozdíly mezi kódem systému SQ a QS. Především se to týká velkých přeslechů mezi předními signály, vzniklému již při kódování. Dále je vidět, že přední signály jsou kódovány ve fázi, zatímco zadní signály jsou kódovány s fází $+j$ a $-j$, tedy vzájemně v protifázi. Symetrie použitého kódu umožňuje posouvat zdánlivý zvukový zdroj do libovolného místa poslechového kruhu se stejnou kvalitou, což u systému SQ nelze tak jednoduše realizovat. Je ovšem otázka, zda možnost zdánlivého posuvu těžiště zvuku v kruhu je nezbytnou podmínkou kvadrofonního přenosu. U kvadrofonních nahrávek je totiž využíváno především přední báze a zadní kanály obsahují obvykle pouze informace o akustickém prostoru, což také většinou odpovídá skutečnosti, kdy je orchestr umístěn před posluchačem na podiu. Existuje samozřejmě také řada nahrávek, které jsou pořízeny tak, že je posluchač obklopen zvukem ze všech stran a připadá si tedy, že sedí v orchestru. Při takový druh nahrávek, které preferují dosažený efekt, se zdí být systém QS výhodnější.

Dekódování signálů v systému QS probíhá podle následujících vztahů
 $L'_F = L_T + 0,414R_T; L'_B = -j(L_T - 0,414R_T)$,
 $R'_F = R_T + 0,414L_T; R'_B = +j(R_T - 0,414L_T)$. Dekódér, jehož blokové schéma je na obr. 17, je až na rozdílné směšovací součinitele prakticky shodný s dekódérem systému SQ. Jak směšovací obvody, tak i obvody pro posuv fáze jsou obdobné.

Dosadíme-li za L_T a R_T do dekódovacích rovnic původní signály, dostaneme:

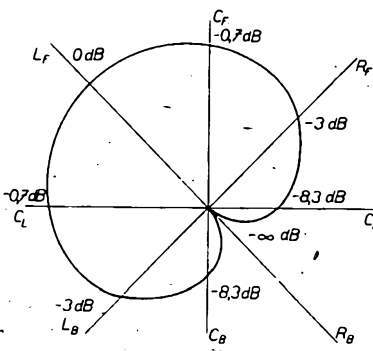


Obr. 17. Blokové schéma základního dekódéru QS

$$\begin{aligned} L'_F &= L_F + 0,707R_F + j0,707L_B, \\ R'_F &= R_F + 0,707L_F - j0,707R_B, \\ L'_B &= L_B + 0,707R_B - j0,707L_F, \\ R'_B &= R_B + 0,707L_B + j0,707R_F. \end{aligned}$$

Stejně jako u systému SQ můžeme na základě dekódovacích rovnic zhodnotit i systém QS. Jedná se tedy o symetrický systém, který má vektorový obraz libovolného kanálu až na fázové poměry stejná. To znamená, že lokalizace zdánlivého zdroje je v kterémkoliv místě prakticky stejná. V každém výsledném signálu jsou obsaženy opět dva signály přeslechu s úrovní o 3 dB menší, než výsledný signál. Tyto přeslechy jsou v přední a zadní bázi ve fázi s výsledným signálem, na stranách jsou fázově posunuty o $+90^\circ$ nebo -90° .

V úhlopříčkách reproduktorových soustav je přeslech nulový. Tato skutečnost zlepšuje lokalizaci zdroje zvuku. Průběh akustického pole libovolného kanálu po dekódování vidíme na obr. 18. Toto pole má tvar kardioidy s maximem akustického tlaku v žádaném směru a s minimem akustického tlaku ve



Obr. 18. Průběh akustického tlaku dekódovaného signálu QS pro kanál L'_F

směru opačném. Týž obrázek ukazuje bohužel nedostatečnou lokalizaci na přední bázi vzhledem k velkému přeslechu, neboť přeslechový signál je jen o 3 dB slabší, než základní signál příslušného kanálu. Přeslechy fantomových středových signálů C_F proti C_B , nebo C_L proti C_R jsou 7,7 dB, což je již lépe vyhovující.

Dekódér bez úprav umožňuje lepší lokalizaci zvukového zdroje v úplném kruhu, než dekódér systému SQ. Naproti tomu stereofonní reprodukce zakódovaného signálu QS je horší, neboť přeslechy mezi levým a pravým předním reproduktorem činí 7,7 dB, což pro perfektní lokalizaci nepostačuje. Přitom však jsou informace, obsažené v zadních kanálech, v protifázi, což má za důsledek, že se v reprodukci může zlepšit dojem prostoru. Při monofonní reprodukci zakódovaného signálu QS jsou podstatným způsobem potlačeny zadní kanály. Středový zadní signál nelze reprodukovat podobně, jako u systému SQ.

Největší slabinou systému QS je nevyhovující slučitelnost se stereofonní reprodukcí, (i s reprodukcí monofonní, tedy především rozhlasovým přenosem). Ostatní problémy tohoto systému jsou obdobné jako u systému SQ. Lze tedy při dodržení základních fázových vztahů použít jako nosič informace gramofonovou desku, magnetofonový pásek apod.

Snaha o zlepšení stranových přeslechů vedla i u systému QS ke konstrukci logického dekódéru, který podle obsahu signálu zlepšuje přeslechy mezi jednotlivými kanály. Protože matice tohoto systému je symetrická, je použitý logický obvod jednodušší, než obvod systému SQ.

Nejdříve si uvedeme několik základních vztahů, z nichž vychází logika QS. Uvažujeme takový případ, kdy se v zakódovaném signálu vyskytuje pouze signálů předních kanálů. Signály L_T a R_T pak budou

$$\begin{aligned} L_T &= L_F + 0,414R_F, \\ R_T &= R_F + 0,414L_F. \end{aligned}$$

Provedeme následující úkon
 $(L_T + R_T) + (L_T - R_T)$

a dostaneme

$$(1,414L_F + 1,414R_F) + (0,586L_F - 0,586R_F) = 2,01L_F + 0,828R_F.$$

Tady vidíme první zajímavost. Zatímco běžným způsobem dekódované signály QS měly mezi sebou přeslech 3 dB, zmenšila se jeho úroveň nyní na 7,7 dB. Jestliže vyjdeme z této skutečnosti a uvažujeme

$$(L_T + R_T) + 2,41(L_T - R_T),$$

dostaneme

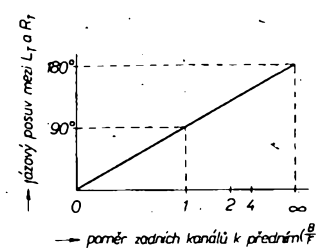
$$(1,4L_F + 1,41R_F) + 2,41(0,58L_F - 0,58R_F) = 1,41L_F + 1,41R_F + 1,41L_F - 1,41R_F = 2,82L_F.$$

Výstup kanálu L'_F obsahuje nyní výhradně signál L_F . Přeslech z R_F byl zrušen volbou součinitele 2,41. Uvažujeme-li dále
 $(L_T + R_T) - 2,41(L_T - R_T)$,

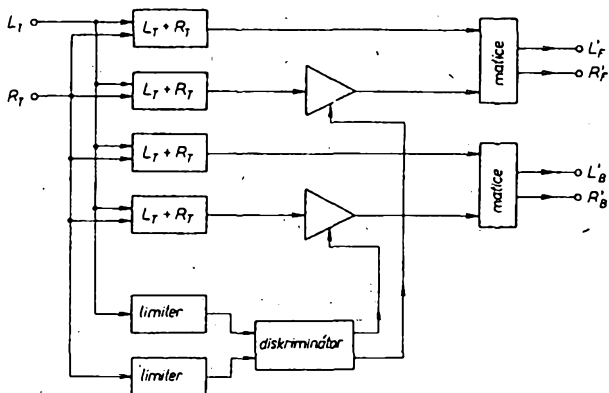
dostaneme výsledek 2,82R_F.

Je ovšem jasné že tyto vztahy lze uplatnit jen tehdy, nejsou-li v přicházející informaci obsaženy signály zadních kanálů. Pokud by se však signály v těchto kanálech objevily, pronikly by přeslechem do předních kanálů a to v úrovni větší, než je úroveň signálů předních kanálů. Budeme-li však mít možnost měnit součinitel od nuly až do 2,41 a to v závislosti na tom, zda převládá úroveň předních anebo zadních signálů, zlepší se přeslehy mezi kanály natolik, že budou srovnatelné s přeslechy u diskrétních systémů. Ze způsobu změny součinitelů dekódovací matice byl těž odvozen název logicky řízeného dekódéru pro systém QS, který se nazývá Variomatrix.

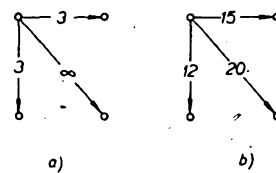
Jestliže by v přicházející informaci převládaly signály zadních kanálů, pak se musí součinitel, jehož velikost byla 2,41, blížit k nule. Dekódér typu Variomatrix je tedy řízen v závislosti na obsahu informací v předních anebo zadních kanálech. Je proto nutné vytvořit řídicí signál, který by plynule měnil součinitele podle naznačených vztahů. Podíváme se proto znova na základní kódovací rovnice systému QS. Výrazy pro L_T a R_T obsahují vždy dvě skupiny vztahů, a to pro přední a pro zadní kanály. Lze z nich snadno odvodit, že jsou-li zakódovány pouze přední kanály, je L_T a R_T ve fázi. Jsou-li naproti tomu zakódovány pouze zadní kanály, je L_T a R_T v protifázi. Jestliže jsou informace v předních i zadních kanálech shodné, pak jsou zakódované signály vzájemně fázově natočeny o 90° . Fázové poměry mezi L_T a R_T v závislosti na obsahu informací jsou na obr. 19. Těchto fázových vztahů se používá k řízení dekódéru Variomatrix.



Obr. 19. Závislost fáze mezi L_T a R_T na obsahu předních a zadních signálů



Obr. 20. Blokové schéma dekodéru QS Variomatrix



Obr. 21. Vývoj dekodérů QS z hlediska přeslechů (přeslechy v dB, signál je v hlavním směru L_F , platí pro všechny hlavní směry); a) základní dekodér, b) dekodér Variomatrix

Signály L_T a R_T jsou nejprve amplitudově omezeny, což je v podstatě jednodušší obdobu automatického řízení úrovně u logiky systému SQ. Oba tyto signály jsou pak přivedeny na fázový diskriminátor, jehož výstupní napětí je závislé na fázi mezi $L_T - R_T$ a ovlivňuje velikost součinitelů maticy v dekodéru Variomatrix. Blokové schéma dekodéru Variomatrix je na obr. 20. Na obr. 21 je naznačen vývoj dekodérů QS a dosažitelné přeslechy u dekodéru v základním zapojení a dekodéru Variomatrix. I v tohoto dekodéru lze dosáhnout uspokojivých výsledků, podobně jako u dekodéru s tvarově srovnávací logikou systému SQ. Je tu však jeden zajímavý rozdíl. U systému SQ se ovlivňují přeslechy převážně změnou zesílení předních či zadních kanálů. Znamená to, že současně s potlačením přeslechových signálů se potlačují také signály, které do kanálů, v nichž bylo zmenšeno zesílení, patří. Dochází tedy při logickém řízení k určité ztrátě informací. Tuto nevýhodu dekodér Variomatrix nemá. Při jeho řízení jsou potlačovány pouze přeslechové signály. Kromě toho je při přibližně stejných výsledcích dekodér Variomatrix jednodušší, než dekodér SQ s tvarově srovnávací logikou. Jeho složitost odpovídá přibližně zapojení předozadní směšovací logiky systému SQ. Přitom je ovšem možné podobným způsobem jako u systému SQ rozšířit logiku dekodéru Variomatrix. Tak je možno ze signálů L_T a R_T získat informace, zda převládají signály levé nebo pravé strany a takto získaným řídicím signálem pak ovládat obvody, vytvářející další maticové součinitele.

V praxi se ovšem nejčastěji používá dekodér Variomatrix v jednodušším provedení, tak, jak bylo popsáno. Maticové součinitele se však něméně v rozsahu od nuly až do 2,41, avšak pouze v rozsahu asi od 0,3 do 2,0. Proto mají přeslechy na obr. 21 konečné hodnoty, ačkolи z matematické úvahy vyplývají přeslechové signály nulové. Pro dekodér Variomatrix vyrábí firma Hitachi tři typy integrovaných obvodů. V integrovaném dekodéru jsou pak použity dva integrované obvody HA1327 jako omezovače a fázové diskriminátory, jeden HA1328 jako vlastní řízená matice a jeden HD3103PA jako čtyřnásobný regulátor zesílení. Tyto integrované obvody se však prozatím dodávají pouze továrním výrobčům dekodérů Variomatrix. V maloobchodě se dosud nikde neprodávají.

Shrnujeme-li vlastnosti systému QS Sansui z hlediska amatérské realizace, můžeme říci, že v počátečním stadiu kvadrofonie u nás bude u většiny amatérů převážovat snaha postavit si dekodér pro systém SQ Columbia a nikoli pro systém QS Sansui. Jednoznačné rozhodnutí bude ovšem velmi obtížné. I když gramofonové desky naší výroby jsou kódovány systémem SQ Columbia, v zahraničí již

existuje velké množství desek kódovaných systémem QS Sansui a mnozí amatéři je již i získali, nebo mohou získat. Současný celosvětový stav nedává příliš reálnou naději, že by v blízké budoucnosti došlo k dohodě o jednom určitému systému. Nelze s určitostí tvrdit, že to je pouze prestižní otázkou určitého výrobce, který vyuvinul své zařízení a hodlá je stát co stůj prosadit. To by byl jistě nesprávný pohled na celou záležitost, protože sjednocení na určitém systému v každém případě přináší rozšíření možností obduvu a to je prvořadou snahou každého výrobce, myslíšiho dopředu. Musíme si však zcela otevřeně přiznat, že situace v kvadrofonii je poněkud prozaříčejší. On se totiž ještě neobejvil ten ideální způsob, který by podstatnou měrou omezoval všechny současné nedostatky existujících systémů, byl přitom relativně levný, umožňoval dobrou slučitelnost nejen se stereofonní, ale také s monoфонní reprodukcí a především byl technicky snadno zvládnutelný. Nepochybujme ani na okamžíku o tom, že když se podobný systém kódování objevil, netrvalo by dlouho a všechni rozumní výrobci by ho převzali stejně, jako se tak již stalo v mnoha jiných případech dříve.

V současné době tedy existují čtyři základní kvadrofonní systémy: SQ Columbia, QS Sansui, CD-4 a konečně systém UD-4 (QMX), který bude popsán v následujícím odstavci. Tato situace je ovšem pro uživatele velmi chaotická, obzvláště v těch oblastech světa, kde je možnost získat libovolnou desku a požadovaný titul je shodou okolnosti nahrán právě jiným systémem, než jaký umožňuje reprodukovat jeho zařízení. Proto již dnes existuje řada reprodukčních zařízení, které umožňují reprodukovat gramofonové desky nahrané různými systémy. Obsahují obvykle přepínatelný dekodér pro systémy SQ a QS a ve formě přídavné jednotky často i dekodér CD-4. Firma Nippon Columbia vyuvinula přepínatelný dekodér pro všechny čtyři v současné době existující systémy. Toto zařízení je ovšem velmi složité a jeho cena tomu také odpovídá. Jak vidíme, sjednocení kvadrofonního systému by prospělo nejen výrobčům, ale také uživatelům. V amatérských podmírkách bude pravděpodobně možné realizovat přepínací dekodér pro systémy SQ a QS. Zpočátku to bude patrně jen jednoduchá varianta dekodéru, ale s rozšířením integrovaných obvodů pro použití v těchto dekodérech bude v budoucnu možno

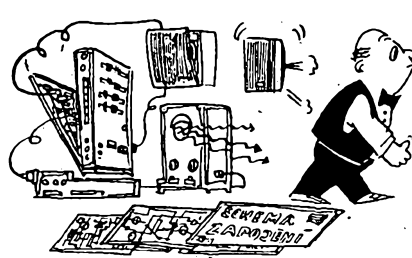
počítat i s realizací přepínatelného dekodéru s logikou. To vše je ovšem otázkou budoucnosti, takže prozatím bude výhodné ponechat v kvadrofonním zesilovači místo pro připojení dalšího dekodéru pro jiný systém a tak rozšířit možnosti zařízení.

2.5. Systém QMX (UD-4)

Dosud popsané maticové i diskrétní systémy je možno hodnotit jako značně propracované a dovezené k poměrně dobré kvalitě. Srovnáme-li vzájemně diskrétní systém CD-4 a maticové systémy SQ a QS, pak přes všechny rozdíly mají jedno společné: u všech jsou nějaké problémy. Systém CD-4 je velmi náročný a vyžaduje špičkovou techniku jak při zážnamu, tak i při reprodukci. Z tohoto důvodu se pravděpodobně v dohledné době nijak podstatně nerozšíří. U maticových systémů jsou zase velké problémy s neúnosnými přeslechy a konstruktéři dekodérů čini všechno možné, aby tyto přeslechy potlačili na přijatelnou míru. Stručně řečeno, diskrétní systémy chtějí příliš mnoho po nás a my opět chceme příliš mnoho po maticových systémech. A na těchto úvahách pravděpodobně vznikla myšlenka nového systému, obchodně nazývaného UD-4. Jeho autori, prof. Cooper a dr. Shiga vysíli z výhod diskrétních systémů i systémů maticových a navrhli systém nový, který do značné míry slučuje jak výhody diskrétních, tak i maticových systémů.

Přidáváme-li se na kvadrofonní systém z hlediska přenosové informace (kupř. že třemi reproduktory umístěnými vzájemně po 120° lze již rovněž realizovat kruhovou informaci), zjistíme, že diskrétní systém přináší v zásadě nadbytečné informace, zatímco maticové systémy typu 4-2-4 jsou z hlediska přenosu kvadrofonní informace nedostačující. Přesto, že mezi původci základních systémů panuje značná názorová nejednotnost, některé zásady platí všeobecně. Jednou z těchto zásad je, že rozmístění reproduktorů vůči posluchači je prakticky nemenné, a že je při něm možno z hlediska lokalizace vytvořit takové akustické prostředí, že je v horizontální rovině bude lidský sluch přijímat jako akustické panorama. Přitom by směry přicházejících signálů – azimuty – měly co nejvěrnejší odpovídat původnímu rozložení zvukových zdrojů. Je tedy třeba navrhnut takový kvadrofonní systém, u něhož by azimutální informace, kterou představuje původní rozložení zvukového pole, byla přenášena s minimální ztrátou. Toho lze při omezeném počtu reprodukčních cest (od reproduktorů k posluchači) dosáhnout tak, že reprodukovaný signál bude mít omezený azimutální harmonický obsah a přitom bude maximálně korelovat s originálním rozdělením akustického pole. Právě omezený harmonický azimutální obsah poskytuje záruku, že konečný počet azimutálních vzorků bude věrně odpovídat zdroji. Tyto azimutální vzorky pak použijeme k přenosu signálů, které budeme reprodukovat.

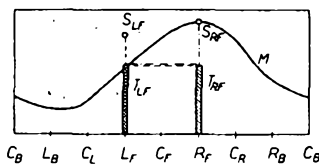
Azimutální korelace, tedy měřítko azimutální věrnosti kvadrofonních systémů, je základní požadavkem kvadrofonního systému.



mu prof. Coopera a dr. Shigy, nazývaného UMX, jehož částmi jsou kvadrofonní dvoukanálová matice BMX, tříkanálová matice TMX a konečně čtyřkanálová matice QMX. Všechny tyto matice jsou (z teoretického hlediska) optimální pro přenos maximální azimutální informace pro použitý počet kanálů a všechny v rámci svých možností umožňují správnou lokalizaci zvukových obrazů.

Při popisu tohoto systému si musíme nejprve objasnit pojmy a jejich vztahy, které byly ve všeobecném popisu použity. Teorie systémů UMX je z matematického hlediska velmi náročná a těžko srozumitelná, je však možné převést si některé části na „fyzikální názor“, který je lépe pochopitelný. Musíme si především uvědomit, že v celé další úvaze nebudu přenášené signály S uvažovány jinak než v závislosti na jejich azimutu, tedy úhlu, ve kterém je posluchač slyší. Tento úhel bývá vztázen nejčastěji ke středu mezi R_F a R_B . Bude tedy azimut signálu R_F roven $+45^\circ$, signálu $L_F + 135^\circ$ apod. Z hlediska teorie signálů v matici UMX nás nebude zajímat harmonický obsah samotného signálu S , vždy však pouze azimutální harmonický obsah ve vztahu k azimutu Θ signálu S , tedy signál S_Θ . Toto upozornění je nutné proto, abychom si při výkladu nepletli pojmy harmonických složek signálu s harmonickým azimutálním obsahem.

Představme si nyní, že budeme směrovým mikrofonem snímat signál ve směru R_F . Mikrofon má směrovou charakteristiku M .

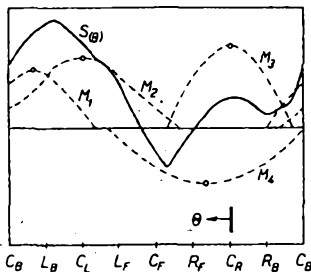


Obr. 22. Křivka citlivosti M pro zdroj signálu v L_F a jeden mikrofon směrovaný na R_F , popř. směšovací křivka M pro elektrické směšování signálu R_F do směru L_F

Z obr. 22 vidíme, že signál S se směru L_F se objeví v přenosovém kanálu R_F s intenzitou T_{RF} , což lze napsat jako MS_{LF} , kde S_{LF} je intenzita zdroje a M je citlivost mikrofonu ve směru L_F (maximální citlivost je ve směru R_F). Jiné zdroje v jiných polohách rovněž vybudí přenosový kanál R_F úměrně směrové charakteristice M a celková intenzita signálu T_{RF} bude součtem těchto buzení. Je si třeba uvědomit, že směrová charakteristika M jakéhokoli mikrofonu je vždy taková, že nelze předpokládat, že při odchylce např. 90° od směru maximální citlivosti bude citlivost mikrofonu nulová. Lze naopak říci, že v celém rozsahu azimutu 360° bude vždy větší než nula.

Křivka M v obr. 22 může rovněž reprezentovat směšovací poměry při elektrickém směšování signálů do většího počtu kanálů. Lze si to představit tak, že signál S_{RF} je veden do kanálů R_F a L_F , přičemž křivka M určuje velikost směšování, které bude např. v kanálu L_F rovno T_{LF} , přičemž T_{RF} v kanálu R_F bude rovno S_{RF} . Tento směšovací diagram můžeme rozšířit i na směšování tří zdrojů signálu. Pro každý z nich je na obr. 23 vynesena čárkováná vlastní směšovací křivka M . Součet těchto křivek pak odpovídá křivce, nakreslené plnou čarou. Představuje součet všech napětí, dosažených směšováním. Je označena S_Θ a znamená v podstatě kódovací matici pro každý směr azimutu. Tedy např. signál v azimutu L_F je dán v měřítku křivek M polohou křivky S_Θ nad nulovou osou.

Všimněme si nyní blíže vlastnosti křivek M a S_Θ . Křivka S_Θ je především spojitá, neboť



Obr. 23. Interpolaci křivka S v závislosti na azimutu Θ jako součet směšovacích křivek M

je nutné, aby byl znám součinitel směšování pro každý možný zdroj v libovolném azimutu. Malá změna azimutu nesmí mít za následek náhlou velkou změnu tohoto součinitele. Křivka S_Θ je též periodická, protože znázorněný prostor je periodicky a křivka M také závisí na azimutu, protože je jeho funkcí. Obě části obr. 22 a 23 můžeme považovat za válec, rozříznutý podle vertikální osy a rozvinutý naplocho. I když se jedná o zdánlivě triviální úvahu, musíme si uvědomit, že křivka M_Θ má základní maximum a určitou šířku kolem tohoto maxima. Jestliže bude tedy azimut přenosového kanálu náhodou souhlasit s azimutem zdroje, bude tento zdroj v tomto přenosovém kanálu nejsilnější. Šířka (rozprátky) křivky M_Θ je nezbytný předpoklad pro celkové směšování tak, aby každý zdroj signálu mohl dávat signál alespoň do jednoho kanálu.

Jak jsme již zjistili, je křivka S_Θ spojitá a periodická. Je o ní možno též říci, že zobrazuje omezený azimutálně harmonický obsah zdroje tak, že u žádného zdroje nevykazuje ostrý přechod a v jeho okolí se nekryje přesně s hodnotou zdroje. Toto omezení azimutálně harmonického obsahu je sice nezbytné pro směšování přenosových kanálů, neodpovídá však zcela původnímu zdroji. Jsou zde dva neslučitelné požadavky, které byly splnitelné pouze za předpokladu nekonečného množství přenosových cest. Je tedy nutné tyto dva požadavky optimalizovat, to znamená najít minimum rozdílu mezi hodnotami zdroje, např. S_Θ a odpovídající hodnotu směšovací křivky S_Θ v azimutu zdroje S_Θ , tj. Θ . Musíme tedy najít dvojmožné průměrné hodnoty, což je

$$[S_\Theta - S(\Theta)]^2.$$

Rozvedeme-li tento výraz, vidíme, že obsahuje dva kládny členy $[S_\Theta]^2$ a $[S(\Theta)]^2$ a jeden člen záporný $-2S(S(\Theta))$. Zvětšování tohoto záporného člena zmenšuje výslednou hodnotu celého výrazu. Přitom ovšem není možné měnit hodnotu tohoto výrazu změnou měřítka (směšovacích součinitelů) pro M_Θ a S_Θ , neboť celková průměrná energie signálu S musí zůstat konstantní.

Protože funkce S_Θ je periodická v závislosti na azimutu Θ , může být rozložena na základní azimutální harmonické složky pomocí Fourierova rozvoje, což lze v exponenciální formě napsat takto

$$\begin{aligned} S_\Theta &= a_0 + c_1 \exp(j\Theta) + c_2 \exp(j2\Theta) + \dots \\ &\quad + c_1 \exp(-j\Theta) + c_2 \exp(-j2\Theta) + \dots \end{aligned}$$

Jestliže s interpolaci funkcí S_Θ vykonáme již popsané úkony, tj. optimalizaci a omezení harmonického obsahu, dostaneme jako součinitele Fourierovy řady výrazy

$$a_0 = S_1 + S_2 + S_3 + \dots$$

$$c_1 = S_1 \exp(-j\Theta_1) + S_2 \exp(-j\Theta_2) + \dots$$

$$c_2 = S_1 \exp(j\Theta_1) + S_2 \exp(j\Theta_2) + \dots$$

$$c_3 = S_1 \exp(-j2\Theta_1) + S_2 \exp(-j2\Theta_2) + \dots$$

$$c_4 = S_1 \exp(j2\Theta_1) + S_2 \exp(j2\Theta_2) + \dots$$

atd., kde počet součinitelů c_n se má rovnat počtu přenosových kanálů N .

Při azimutální harmonické syntéze (kódování) se tyto součinitele rovnají skutečným přenášeným signálům a jsou označeny takto

$a_0 = T_\Sigma$, $c_1 = T_\Delta$, $c_{-1} = T_T$, $c_2 = T_O$, atd. Nyní si blíže všimneme jednotlivých přenášených signálů. Součetový kanál T_Σ je z výrazu pro a_0 pouhým součtem všech signálů bez ohledu na azimut. Je tedy T_Σ všeobecný kanál a odpovídá ideální monofonní reprodukcii. Všimněte si zde rozdílu proti jiným maticovým systémům, které Cooper nazývá neoptimální. Ani systém SQ a ani systém QS nepřenáší úplnou monofonní složku. Zadní kanály jsou u těchto systémů zeslabeny a C_B chybí vůbec.

Rozdílový kanál T_Δ je opět součtem všech přenášených signálů, každý signál je však fázově posunut tak, aby zůstával opožděn za svým protějškem v T_Σ o fázový úhel, který se rovná azimutálnímu úhlu pro tento zdroj. Rozdílovým jej nazýváme proto, že pomoci vztahů

$T_\Sigma = T_R + T_L$, $T_\Delta = T_R - T_L$

se dosahuje sluchitelnosti s běžnou stereofonií a T_Δ odpovídá rozdílovému stereofonnímu kanálu. Teoretická sluchitelnost se stereofonií je tedy stoprocentní, a přeslechy nekonečně malé. Je ovšem nutno připomenout, že se v předchozích rovnici uvažují pouze stranové středové signály C_R a C_L a nikoli L_F a R_F . Mezi těmito je při stereofonní reprodukci přeslech $7,7$ dB, což je zcela nepostačující. Přitom přeslech mezi předními kanály (tedy L_F a R_F) je nesporně rozhodující při stereofonní fázového vztahu.

Třetí přenosový kanál T_T je verzí T_Δ , avšak se sdruženými fázemi. Čtvrtý kanál T_O obsahuje druhé azimutální harmonické jednotlivé výkany.

Cely tento složitý postup vysvětlujeme chtěl v podstatě ukázat zákonitosti tvorby přeneseného zvukového pole, tedy naznačit, co vše je třeba učinit, aby zvukové pole na straně posluchače bylo co nejvhodnější s originálním zvukovým polem při zářnalu. Předchozích popisů si můžeme snadno odvodit, že žádný z popisovaných kvadrofonických systémů nemusí dát a také často nedává správný obraz zvukového pole prostě proto, že již při kódování nejsou dodržovány zásady kódování, které jsme tu – i když jen velmi povrchně – vysvětlili. Výhoda systému UMX je v tom, že reprodukovaný obraz zvukového pole se nemění, mění-li se počet přenosových kanálů. Mění se pouze ostrost lokalizace zdrojů zvuku.

Tak např. přenášíme-li pouze signály T_Σ a T_Δ a dekódujeme-li je maticí BMX, získáváme fázově správný zvukový obraz, přeslechy jsou ovšem neúnosně velké. Jestliže je zdroj umístěn v L_F , pak v R_F a L_B bude přeslech velký a to 3 dB. Přeslech v L_F bude naproti tomu nulový. Je to tedy zcela shodná situace, jako u systému QS Sansui. Rozdíl je pouze v tom, že fázové poměry matic BMX jsou symetrické. To v našem případě znamená, že považujeme-li fázi L_F za nulovou, bude fáze R_F rovna -45° a fáze $L_B + 45^\circ$, což znamená, že kanály R_F a L_B k lokalizaci spíše přispívají, než aby ji zhoršovaly. U systému QS je v tomto případě mezi L_F a R_F fáze nulová a mezi L_F a L_B je fáze 90° , což lokalizaci zhoršuje.

Přidáme-li k matici BMX kanál T_T , dostaneme matici TMX, u níž přeslechy mezi jednotlivými kanály jsou 9,5 dB a fázově opět přispívají k lokalizaci. Díky tomu je již systém TMX srovnatelnější s diskrétními systémy. Konečně přidáme-li T_O , dostáváme diskrétní systém QMX s teoreticky nekonečně malými přeslechy mezi všemi čtyřmi reprodukčními kanály.

Úplné kódovací a dekódovací rovnice jsou poměrně jednoduché, musíme si však uvědovat, že se týkají pouze signálův azimutu L_F , R_F , L_B a R_B a všechny ostatní signály musí být do těchto čtyř kódovány při dodržení všech

předchozích zásad, to je pří omezení azimutálně harmonického obsahu a azimutální optimalizace. Pouze tak je možno dodržet shodu mezi originálním a reprodukováným zvukovým polem. Kódovací rovnice pro signály v azimuthech L_F , R_F , L_B a R_B vypadají takto

$$L_T = (1,707 + j0,707)L_F + (1,707 + -j0,707)L_B + (0,293 + j0,707)R_F + (0,293 + -j0,707)R_B,$$

$$R_T = (1,707 - j0,707)R_F + (\epsilon,707 + +j0,707)R_B + (0,293 - j0,707)L_F + (0,293 + +j0,707)L_B.$$

Jde tedy o signály, které mají mezi sebou již zmíněný vztah

$$L_T + R_T = T_\Sigma, L_T - R_T = T_\Delta;$$

tedy

$$T_\Sigma = 2L_F + 2L_B + 2R_F + 2R_B,$$

$$\begin{aligned} T_\Delta &= (1,414 + j1,414)L_F + \\ &+ (1,414 - j1,414)L_B + \\ &- (1,414 - j1,414)R_F + \\ &- (1,414 + j1,414)R_B \end{aligned}$$

a po úpravě součinitelů

$$T_\Sigma = L_F + L_B + R_F + R_B,$$

$$T_\Delta = (1 + j)L_F + (1 - j)L_B - (1 - j)R_F - (1 + j)R_B.$$

Signály T_Σ a T_Δ jsou kódovány podle rovníc nazývaných maticí CMX, takto

$$T_T = (j - 1)L_F + (j + 1)R_F - (j + 1)L_B - (j - 1)R_B,$$

$$T_Q = j1,414L_F - j1,414R_F - j1,414L_B + j1,414R_B.$$

Při dekódování do čtyř azimuthů postupujeme

u základní matice typu BMX takto

$$L'_F = (1,707 - j0,707)L_T + (0,293 + j0,707)R_T,$$

$$R'_F = (0,293 - j0,707)L_T + (1,707 + j0,707)R_T,$$

$$L'_B = (1,707 + j0,707)L_T + (0,293 - j0,707)R_T,$$

$$R'_B = (0,293 + j0,707)L_T + (1,707 - j0,707)R_T.$$

Po dosažení na L'_T a R'_T z kódovacích rovnic

a vypočtení dostaneme

$$L'_F = 4L_F + 2(1 - j)L_B + 2(1 + j)R_F,$$

$$R'_F = 4R_F + 2(1 - j)L_F + 2(1 + j)R_B,$$

$$L'_B = 4L_B + 2(1 - j)R_B + 2(1 + j)L_F,$$

$$R'_B = 4R_B + 2(1 - j)R_F + 2(1 + j)L_B.$$

Vidíme, že výsledné matice typu BMX způsobí opět stranové přeslechy 3 dB s fazou $\pm 45^\circ$ a (teoreticky) nekonečně malý přeslech v úhlopříčce.

Dekódovací matice CMX vypadá následovně

$$L'_F = -(1 + j)T_T - j1,414T_Q,$$

$$R'_F = +(1 - j)T_T + j1,414T_Q,$$

$$L'_B = -(1 - j)T_T + j1,414T_Q,$$

$$R'_B = +(1 + j)T_T - j1,414T_Q.$$

Po vypočtení dostaneme kupř. pro levý přední kanál

$$L'_F = 4L_F - 2(1 + j)R_F - 2(1 - j)L_B.$$

Sečteme-li nyní tento signál se signálem pro L'_F matice BMX, dostaneme výsledek matice QMX

$$L'_F = 8L_F.$$

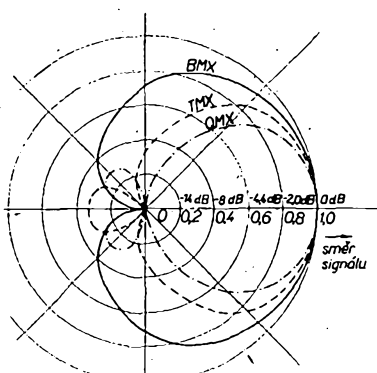
Výsledkem je též diskrétní přenos všech čtyř kanálů, přičemž přeslechy mezi jednotlivými kanály jsou teoreticky nekonečně malé.

K přenosu je též možno použít pouze signál T_T a signál T_Q - vypustit, matice je pak označována jako TMX. Pak při zachování kódování a dekódování CMX bude výsledek např. pro levý přední kanál

$$L'_F = 6L_F + 2L_B + 2R_F - 2R_B.$$

Přeslechy budou tedy 9,5 dB, což je postačující. Pro přehled jsou na obr. 25 nakresleny směrové charakteristiky systémů BMX, TMX a QMX v závislosti na azimuthu. I zde je vidět, že systém QMX je zcela diskrétní a systém TMX je velmi dobrý. Na obr. 26 je pak znázorněno složení charakteristiky QMX z křivek pro BMX a CMX. U systému CMX mají oba zadní laloky proti přednímu obrácenou fazu.

Na předchozích kódovacích a dekódovacích rovnících jsme si ukázali univerzálnost matic UMX, neboť základní matici BMX lze postupně rozšířit až ke zcela diskrétnímu přenosu v systému QMX. Opakujeme znova, že se při tomto postupu pouze zvětšuje ostrost lokalizace a při přechodu na jiný typ

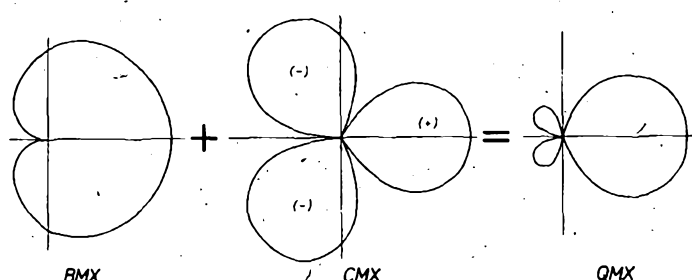


Obr. 25. Směrové charakteristiky systémů BMX, TMX, QMX a dosažitelné přeslechy v závislosti na azimuthu

pu asi o 12 dB. Proto bylo možno také využít kompresi a expanzi dynamiky, která byla nutná u systému CD-4. Menší šířka přenášeného pásmá umožnila také zvětšení záznamovou úroveň, což opět znamená zvětšení odstupu.

Všechny tyto vlastnosti znamenají jak na nahrávací, tak i na reprodukční straně podstatné zmenšení nároků na jakost použitého zařízení, což je v podstatě největší výhodou tohoto systému. Snímky lze přehrát na běžném stereofonním zařízení; použijeme-li dekodér typu BMX, pak získáme levné, avšak méně jakostní kvadrofonní zařízení, při použití dekodéra TMX pak reprodukci s téměř diskrétním účinkem. Pro největší nároky umožňuje tento systém použití i dekodéru QMX.

Z tohoto poněkud obtížně srozumitelného výkladu vyplývá, že popsáný systém je velmi kvalitní, má však jednu velkou nevýhodu. Přišel poměrně pozdě: V době jeho vzniku byly již zavedeny systémy CD-4, SQ i QS

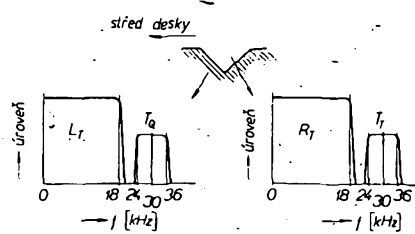


Obr. 26. Vytvoření matice QMX součtem matic BMX a CMX, znázorněny křivkami směrových charakteristik. U CMX jsou zadní laloky v protifázi vůči přednímu

kódování nedochází ke změnám polohy zdroje.

Dalším důležitým poznatkem je, že „zaostřující“ kanály T_T a T_Q mohou být omezeny na pásmo pouze do 3 kHz, aniž by to rušivě ovlivnilo ostrost lokalizace. Toto důležité zjištění podstatně zjednodušuje přenos těchto kanálů.

Tím se vlastně dostaváme k vlastnímu systému UD-4, který v podstatě představuje technickou interpretaci matice QMX, anebo s omezením v podobě TMX záznamu na gramofonových deskách. Principiálně se tento systém velmi podobá systému CD-4, protože i v systému UD-4 jsou signály L_T a R_T nahrávány nízkofrekvenčně. Signály T_T a T_Q jsou i zde namodulovány na pomocný kmitočet 30 kHz. Oproti systému CD-4 mohou však mít užší přenosové pásmo až do 5 kHz, takže potřebný kmitočtový rozsah na desce je až do 36 kHz. Dolní mezní kmitočet této superponované složky je tedy až 24 kHz, takže můžeme bez nebezpečí interferenc rozšířit nízkofrekvenční pásmo základních signálů až do 18 kHz (obr. 24). Další zlepšení odstupu rušivých napětí u superponovaného kanálu umožnila skutečnost, že toto přenášené pásmo mohlo být z původních 15 kHz (u systému CD-4) zúženo na 6 kHz. Toto zúžení způsobilo zvětšení odstupu



Obr. 24. Kmitočtová pásmá v obou stěnách drážky desky UD-4 (QMX)

a není aži tudiž velká naděje, že by se systém UD-4 uplatnil ve větším měřítku.

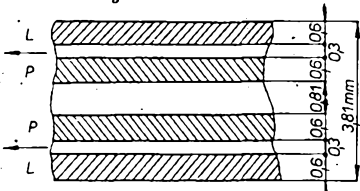
2. 6. Kvadrofonie a magnetofon

Kvadrofonní záznam maticového signálu v kódu SQ nebo QS lze bez mimořádných obtíží nahrávat na běžný stereofonní magnetofon. Použitý přístroj však musí být jakostní a musí splňovat určité kvalitativní požadavky po stránce souběhu kmitočtové charakteristiky a souběhu charakteristik fázových. Praxe ukázala, že zatímco při reprodukci stereofonného signálu postačuje průběh kmitočtové charakteristiky v rozmezí 2 až 3 dB, pro kvadrofonní záznam a reprodukci musí být největší odchylka menší než 1,5 dB. Tato podmínka platí alespoň pro pásmo 100 až 8000 Hz. Záznamové a reprodukční kanály musí však také vyhovovat z hlediska fázové odchylky, která nesmí vzájemně přesahnut asi 10°. Taková odchylka ovšem vyhovuje pouze pro první přepis. Dalším přepisem se odchylka zvětší a výsledkem je pak změna lokalizace. Pokud bylo nutné na určitém magnetofonu pořizovat takové záznamy, které by mely umožnit ještě další kopírování, bylo by třeba zpřísnit požadavek vzájemného fázového souběhu na ±5°. Je-li přístroj vybaven obvody pro zmenšení šumové úrovně jako kupř. DOLBY nebo DNL, nemusí to být ani při kvadrofonním záznamu na zádu, pokud ovšem tyto obvody nezhoršují výsledné kmitočtové nebo fázové vlastnosti magnetofonu.

Záznam diskrétních systémů kvadrofonního signálu je již poněkud náročnejší, především proto, že vyžaduje jiný magnetofon. K tomuto účelu se hodí pouze magnetofon, který umožňuje současný záznam čtyř oddelených kanálů. U cívkových magnetofonů to předpokládá použit čtyřstopý záznam, využívající celé šířky standardního pásku. Pro

záZNAM DISKRÉTNÍCH SYSTÉMŮ KVADROFONIE lze tedy použít cívkový přístroj, umožňující záZNAM DO ČTYŘ ODDĚLENÝCH STOP. Horší situace však je u magnetofonů kazetových. Ani u těch není velkým problémem záZNAM POŘÍZENÝ SYSTÉMEM SQ nebo QS, tedy systémem maticovým, pokud použitý magnetofon je vyšší jakostní třídy a splňuje požadavky na souběžnou charakteristik a fází tak, jak bylo naznačeno. S velkými potížemi je však spojen záZNAM DISKRÉTNÍCH SYSTÉMŮ, jako kupř. CD-4 nebo UD-4.

Standardní uspořádání stop u stereofonního kazetového magnetofonu je na obr. 27.



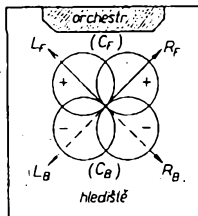
Obr. 27. Umístění stop při čtyřkanálovém záZNAMU U KAZETOVÉHO MAGNETOFONU

Z něho vidíme, že prakticky jediným řešením by bylo – podobně jako u přístrojů cívkových – využít celé šíře pásku pro čtyřkanálový záZNAM. Proti tomu se však tvrdě staví některí výrobci, jako kupř. Philips, protože u kazet chtějí v každém případě zachovat kompatibilitu kvadrofonických a stereofonních nahrávek a kromě toho bylo nutné po přehrání pásek vždy převijet zpět, čímž by byla anulována jedna z hlavních výhod kazet. Teoreticky je těž uvažováno o záZNAMU signálu v kódu UM-4 s pomocným nosným kmitočtem 30 kHz, znamenalo by to však zajistit kmitočtový rozsah kazetového magnetofonu minimálně do 36 kHz, což je prozatím zcela nereálné.

2.7. Pseudokvadrofonie

Zcela obdobně jako v počátcích stereofonie, kdy se objevovaly různé systémy, umožňující z monofonní reprodukce získat tzv. pseudostereofonní reprodukci, tak i nyní, v počátcích kvadrofonie se objevují nejrůznější systémy, jejichž cílem je získat ze stereofonní reprodukce reprodukci pseudokvadrofonii. Všechny tyto snahy jsou poznámeny jediným cílem – stále něco zlepšovat, nebo alespoň doplňovat a měnit. Přitom stojí ovšem za pozornost, že vše nové, co přišlo, bylo doprovázeno reklamou, že jde o definitivní vyřešení minulých problémů. Při monofonní reprodukci byly hledány nejrůznější způsoby, jak dosáhnout toho, aby reprodukce „nevycházela z jediného bodu“. Byla realizována různá zapojení jako 3D/4R apod., jejichž cílem bylo rozložit výsledný akustický obraz na plochu, lépe a přesněji řečeno do přímky. Tato snaha byla velmi obtížná, protože jednokanálová reprodukce neobsahuje směrovou informaci a jedinou její úpravou může být pouze obrácení fáze u přídavných reproduktorových systémů, což ovšem i samozřejmě může vyvolat dojem jakési pomyslné prostorovosti. Tohoto jevu se ostatně využívá též mnohdy ve stereofonii a zákonitě i kvadrofonii. Přitom však v žádném z těchto případů nelze hovořit o seriózním přístupu k věci z čisté technického hlediska. Naštěstí lidské ucho podobné problému neregistrouje a vyhodnocuje výsledný vjem, který v některých případech může být dosti efektivní – a to o většině případů jde.

Stereofonní signál může ovšem z určitých okolností obsahovat i některé složky, z nichž je možno získat informace o poloze zdrojů



Obr. 28. Možnost, jak získat prostorové informace ze stereofonního záZNAMU TECHNIKOU X-Y

signálů, přicházejících ze zadu. Je to v případě, použijeme-li k záZNAMU dva mikrofony s osmičkovou charakteristikou, umístěné v jednom bodu a vzájemně natočené v horizontální rovině o 90°, tedy záZNAM stereofonní technikou X-Y. Tato situace je patrná z obr. 28. Je z něho zřejmé, že oba mikrofony snímají informaci jak z prostoru před sebou, tak i z sebou a kódují ji takto

$$L_T = L_F - R_B,$$

$$R_T = R_F - L_B.$$

Jde sice o běžný stereofonní záZNAM a přesto jsou v něm obsaženy vlastné i kvadrofonní informace. Převeďme-li nyní oba stereofonní kanály na součtový a rozdílový, dostaneme

$$L_T + R_T = L_F + R_F - L_B - R_B,$$

$$L_T - R_T = L_F - R_F - R_B + L_B.$$

Zavedeme-li nyní zjednodušující předpoklad, že na přední bázi převládá středový signál, že tedy $L_F = R_F$, můžeme ze signálu $L_T - R_T$ získat pouze zadní kanály a to. L_B se správnou fází a R_B se opačnou fází. Signál R_B se správnou fází můžeme zcela obdobně získat z výrazu $R_T - L_T$. To již naznačuje možné zapojení pro pseudokvadrofonní reprodukci, které se vyskytuje v mnoha obměnách, avšak na stejném základním principu. Po „dekódování“ dostáváme

$$L_F = L, \quad R_F = R,$$

$$L_B = L - R, \quad R_B = R - L.$$

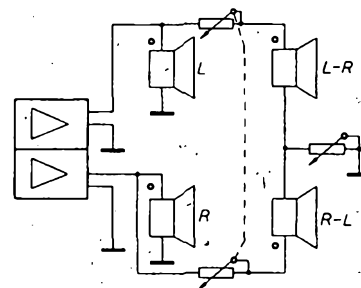
Zde již není použita symbolika L_T a R_T , neboť se jedná o dva stereofonní kanály, běžně označované jako L a R. K získání obecných výsledků se však předpokládá nahrávací technika X-Y, i když je možno získat určitý prostorový dojem i z desek, pořízených jinou technikou. Zcela nevhodný je však tento způsob pro stereofonní nahrávky pořizované elektronickou cestou (což je převážná většina desek s tanečním hudbou). Z toho je vidět, že pro pseudokvadrofonní reprodukci jsou vhodné pouze některé nahrávky. Velmi rušivé působí např. nahrávky se sоловými zpěváky, avšak ani to nelze říci zcela obecně.

Podívejme se nyní na způsob, jakým můžeme získat rozdílové signály ze stereofonního signálu. Nejjednodušší formou je již známá reproduktorová matice, využívající jediného zesilovače ve stereofonním provedení. Její základní zapojení je na obr. 29.

Na výstupu, bude napětí rovno nula. Přidavé reprezentory proto nebudou hrát. Tím je tedy realizována rovnice $L - R$, případně po obrácení polarity jednoho ze zadních reprezentorů rovnice $R - L$.

Na stereofonní zesilovač použitý pro pořízení zapojení jsou ovšem kladené určité nároky. Především je třeba vzít v úvahu, že přidavé reprezentory zmenšují zatěžovací impedance obou výstupů, což by mohlo mít při maximálním využití zesilovače za následek poškození (nebo zničení) koncových stupňů zesilovače.

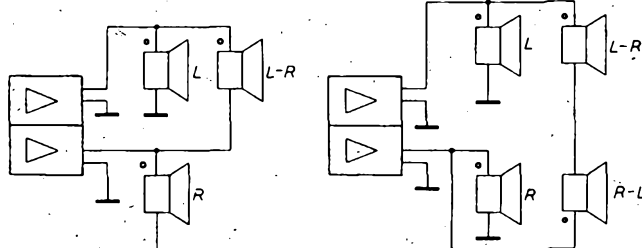
Zapojení na obr. 29 je ovšem značně nedokonalé. Neumožňuje řídit nezávisle hlasitost zadních reprezentorů, tedy jejich vyvážení vůči předním reprezentorům. Stává se totiž, že je stereofonní zvukový obraz sláčlen do středu a v takovém případě zadní reprezentory nehrájí vůbec. Pro takový případ lze přivést část předních signálů na zadní reprezentory, vytvořit tedy jakýsi umělý předozadní přeslech. To umožňuje zapojení na obr. 30. Dvojitým potenciometrem (asi 20Ω) se řídí hlasitost zadních reprezentorů



Obr. 30. Reproduktorová matice s řízením hlasitosti a předozadních přeslechů

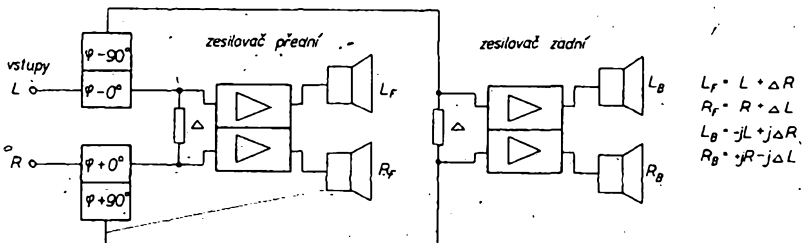
a jednoduchým potenciometrem, zapojeným mezi oba zadní reprezentory a zem, se řídí velikost předozadního přeslechu. Tento potenciometr mívá asi dvojnásobný odpor proti tandemovému. Zmenšíme-li odpor tohoto potenciometru na nulu, reprodukuje zadní reprezentory – sice slaběji – tentýž signál, jako reprezentory přední.

Dalším stupněm pseudokvadrofonní reprodukce může být potlačení rozdílových složek v předních kanálech. Toho lze dosáhnout obdobně jako u systému SQ tak, že zavedeme mezi předními kanály přeslech. Nepriznivě působí, že stranové signály (např. L_F a L_B) jsou fázově posunuty o 180° , což v zadní bázi působí rušivě. Proto se zavádí v zadních kanálech fázový posuv, a to tak, že je fáze v jednom z nich posunuta o $+90^\circ$, ve druhém o -90° proti předním kanálům, což opět ve výsledku dává v zadních kanálech posuv 180° , který je nutný pro odčítání signálů. Blokové schéma takového pseudokvadro-



Obr. 29. Nejjednodušší reproduktorová matice se třemi (a) a čtyřmi (b) reprezentory

Z tohoto zapojení je zřejmé, že je-li signál L roven signálu R, pak napětí na výstupech pro reprezentory bude mít stejnou úroveň a tedy na reprezentorech zapojených mezi



Obr. 31. Zapojení se dvěma stereofonními zesilovači a posuvem fáze

fonního dekodéru je na obr. 31. Je zde již použit samostatný stereofonní zesilovač pro zadní kanály, což je spolehlivější, než reproduktorová matici. Celé zapojení nápadně připomíná dekodér systému QS a za předpokladu, že $k = 0,414$, je s ním zcela identické. Tvření firmy Sansui, že dekodér QS je velmi vhodný pro pseudokvadrofonii se tedy zdá mít své oprávnění.

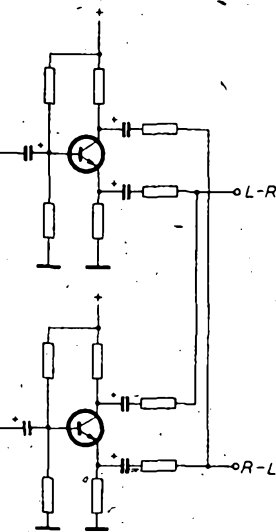
Při pseudokvadrofonní reprodukci se též často používá umělý dozvuk. K tomu se obvykle používá dosud neupravený stereofonní signál, který je částečně zeslaben a pak je mu přidán umělý dozvuk, vytvořený obvykle poměrně levným pružinovým zařízením. Tento signál je pak reprodukován zadními kanály. V uvedeném zapojení již tedy nepoužíváme pouze původní informace získané ze stereofonního signálu, ale přidáváme další, získanou uměle. I když tedy posluchač dostává novou informaci, která v původní hranávce nebyla, může být dosaženo zajímavých výsledků.

Vyvrcholením snahy o pseudokvadrofonní reprodukci je patrně kvadrofonní syntetizér firmy Sansui QS-1. Toto zařízení umožňuje měnit žpůsob pseudokvadrofonní reprodukce podle osobního vkusu posluchače, což umožnuje učinit ji ve značné míře přijatelnou pro nejrůznější žpůsoby nahrávek. Základem tohoto syntetizéru je maticová část běžného dekodéru systému QS. Na ním jsou zařazeny další obvody pro úpravu signálů v zadních kanálech. Kromě běžně používaného obvodu pro vytvoření fázového posuvu je zajímavý zejména fázový modulátor, který s kmitočtem 8 a 9 Hz mění fázi zadních kanálů a to ve značném rozsahu, čímž se dosáhne obdobného efektu, jako umělým dozvukem. Další obvody pak skokově upravují kmitočtovou charakteristiku zadních kanálů a to buď u obou kanálů společně, nebo též u každého jinak – to vše podle volby posluchače. K syntetizéru se pak připojí kvadrofonní zesilovač, nebo dva zesilovače stereofonní. (Jak je vidět, posluchači jsou zde poskytnuty mnohostranné možnosti, aby podle vlastního vkusu či nevkusu dokončit to, na co zřejmě hudební a techničtí odborníci ve studiu nestačili. Lze se právě domnívat, že uživatel podobného zařízení by již nikdy neměl navštívit skutečný živý koncert, aby se nedožil trpkého zklamání. Pozn. red.)

Zapojení podle obr. 29 nebo popisem syntetizéru jsme se dostali k těm nejkomplikovanějším řešením pseudokvadrofonních dekodérů. S podobnými dekodéry i s jejich jednoduššími verzemi se setkáme i v těch komerčních nízkofrekvenčních zesilovačích, u nichž se signály pro zadní kanály vytvářejí již v napěťové části zesilovače. Na takový dekodér pak nazavuze obvykle čtyřkanálový zesilovač, který je možno použít i pro skutečnou kvadrofonii, dostává-li signál z kvadrofonního dekodéru. Ukázka, jak lze získat rozdílový signál, je na obr. 32. Jedná se o rozdílovou část obvodu pro řízení stereofon-

je možno říci, že se nezvětšují ani tak nároky na konstrukci a nastavení, jako spíše na množství potřebného materiálu.

Hlavním zásadním rozdílem proti konstrukci stereofonního zařízení je nutnost poněkud jiné součástkové základny (ke konstrukci kvadrofonních dekodérů). Nejdé přitom o zvláštní nebo nové typy součástek, ale spíše o jejich přesnost. Do většiny obvodů kvadrofonního dekodéru (především se jedná o fázovací články a vlastní odpory a kondenzátory) je nutno používat odpory a kondenzátory s maximální tolerancí $\pm 5\%$. Je tedy třeba valnou část těchto součástek vybírat. Pro amatéra to obvykle známená určité potíže; ke zdárnému dokončení práce bude však co nejpřesnější měřit odpory a kondenzátory naprostroj nezbytný. Druhy používaných odporek a kondenzátorů v následujících konstrukčních návodech jsou však zcela běžné – miniaturní odpory jsou převážně typu TR 112a, kondenzátory jsou styroflexové, polystyrenové a MP na co nejméně provozní napětí. I polovodičové prvky jsou zcela běžné – většinou jsou použity běžné nízkofrekvenční tranzistory (křemíkové) z řady KC, např. KC507 až 509, popř. tytéž tranzistory v pouzdrách z plastické hmoty, KC147 až 149. Většinou bude zcela lhostejné, které z uvedených typů použijeme. Na výjimky z tohoto pravidla je vždy upozorněno. Poněkud horší je situace u tranzistorů p-n-p, které jsou v některých zapojeních použity. Obvykle jsou v těchto případech použity zahraniční komplementární tranzistory ke KC507 (KC147) až KC509 (KC149), tedy BC117 až 179, nebo BC147 až 149. Tyto tranzistory však nejsou zatím u nás běžně v prodeji. Mezi amatéry je sice možné je sehnat, není to však pravidlem. Určitou možností je použít jedený u nás prodávaný tranzistor p-n-p malého výkonu KF517, ten však má pro mnohé aplikace příliš malý proudový zesilovací činitel. Přesto je ho však možné většinou použít. Použit lze i tranzistor KFY18, jehož proudový zesilovací činitel je poněkud větší, než zesilovací činitel KF517. V poslední době však začali vyrábět tranzistory p-n-p v Polsku (ekvivalenty typů BC177 až 179). Tranzistory jsou dobré jakosti a mají se dovážet i do naší republiky – je tedy naděje, že je bude možno používat v amatérských konstrukcích.



Obr. 32. Zapojení pseudokvadrofonicího dekodéru s rozdílovými signály

fonní báze. Podobný, avšak komplikovanější dekodér bude podrobneji popsán v konstrukční části tohoto příspěvku.

3. Konstrukce dekodérů

Jestliže jsme se v předchozích kapitolách zabývali jednotlivými kvadrofonními systémy pouze z hlediska jejich funkce, nikoli konstrukce, bylo to pouze proto, abychom při konstrukci dekodérů nemuseli pracně vysvětlovat principy činnosti jednotlivých obvodů nebo jejich sestav. V této konstrukční části AR-B si popíšeme realizaci dekodérů systémů SQ a QS. Systémy s pomocnými nízkonosními kmitočty popisovat nebudem, ne snad proto, že by byly příliš náročné, spíše však proto, že pro systémy CD-4 nebo UD-4 u nás prozatím nejsou a asi brzy ani nebudou k dispozici ani desky, ani přenosky; navíc nelze ani tvrdit, že by v celosvětovém měřítku bylo možno říci o těchto systémech, že jsou zavedené a bez zbytku technicky vyřešené. Pro názornost: pokud jde o složitost systémů CD-4 nebo UD-4, lze ji srovnat se složitostí běžného stereofonního dekodéru pro FM rozhlas. Naproti tomu mnoho světových výrobců vybavuje své zesilovače maticovými dekodéry, od těch nejjednodušších až po dekodéry s nejsložitějšími typy logického řízení.

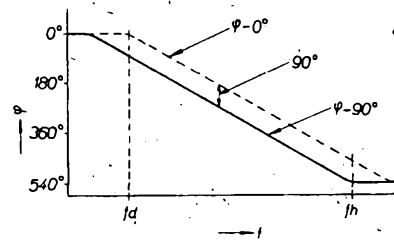
Amatérská realizace kvadrofonního dekodéru pro maticové systémy nemusí být nijak zvlášť náročná. Základní dekodéry jsou obvykle poměrně jednoduché a s jejich konstrukcí nebývají zvláštní potíže. Složitější je situace u dekodérů s logikou, především tehdy, jsou-li konstruovány z diskrétních součástek. Avšak i v tomto druhém případě

pokud jde o technické parametry, není kvadrofonní dekodér nijak choullostivé zařízení. V celku bez problémů lze kvadrofonní dekodér konstruovat v jakosti Hi-Fi, protože obvykle jde o zařízení s celkovým zesílením jedna. Urovnění vstupních a výstupních signálů se pohybuje od asi 0,2 do 1 V, parametry jako je šum a odstup rušivých napěti nebudou při konstrukci dělat tedy potíže. Nelineární zkreslení bývá také velmi malé, i když je třeba počítat se správným nastavením pracovních bodů tranzistorů, jako nutným předpokladem k dosažení malého zkreslení. Musíme si totiž uvědomit, že dekodér musí zpracovat bez zkreslení několikanásobně větší vstupní napětí, než je jmenovité. Dekodér bývá totiž umístěn před regulátorem hlasitosti a v těchto místech zařízení může být napětí signálu až asi třikrát větší, než je jmenovité úroveň. Norma pro Hi-Fi přístroje DIN 45 500 předepisuje, že stupně zesilovače před regulátorem hlasitosti musí přenést bez přídavného zkreslení čtyřikrát větší vstupní napětí, než je jmenovité. Naše norma ČSN 36 7420 předepisuje pro uvedené stupně zesilovače, že musí přenést pětkrát větší vstupní napětí než je jmenovité, přičemž nelineární zkreslení se může zvětšit o 100 %. To při jmenovité úrovni vstupního napětí 770 mV znamená, že stupně musí přenést napětí na vstupu až 4 V. Proto je třeba napájet dekodéry poměrně velkým stejnosměrným napětím, okolo 30 V, aby byla jakost vstupního signálu co nejméně ovlivněna průchodem dekodérem.

Kmitočtový průběh signálu je parametrem, který je dekodérem obvykle zhoršen. Je to proto, že obvody pro posuv fáze způsobují zvlnění amplitudové kmitočtové charakteristiky. Nejde však o zúžení přenášeného pásma, ale o zvlnění v oblasti obvykle středních kmitočtů. I když se nejedná o velké odchyly, obvykle o 2 až 4 dB, jde o nezvyklý jev a nesmí nás to při měření dekodéru překvapovat. Na výsledný dojem z reprodukce nemá tento jev obvykle žádny vliv, nelze ho postřehnout (sluchem).

Velmi závažným parametrem je u kvadrofoničkých dekodérů fázová charakteristika v závislosti na kmitočtu. Považovali se u stereofonie fázový rozdíl mezi kanály do 45° za ještě únosný a fázová charakteristika se vlastně vůbec nekontrolovala, znamená u maticové kvadrofonie fázový posuv (chýba) 20 až 25° úplnou změnu lokalizace a vytváření falešných zvukových obrazů. Z toho jasné vyplývá, že bude třeba používat pro obvody k posunu fáze správné součástky se správnými tolerancemi a výsledek kontrolat měřením, které si podrobň popíšeme později. V opačném případě bychom mohli totiž snadno poslouchat něco, co by vůbec nebylo kvadrofonickou reprodukcí.

Všeobecně lze tedy říci, že v konstrukci kvadrofonických dekodérů nejsou žádné zvláštní závludnosti – může se do nich pustit každý průměrně vyspělý amatér, který se zabývá nízkofrekvenční technikou. K usnadnění konstrukce přispívá i to, že všechny dekodéry jsou na deskách s plošnými spoji – budete-li správně pájet, použijete-li správné, nepoškozené a změřené součástky a budete-li pracovat pečlivě, nemůžete při stavbě dekodérů dojít k vážnějším komplikacím.



Obr. 33. Fázový průběh obvodu pro posuv fáze 90° v pásmu od f_d do f_h

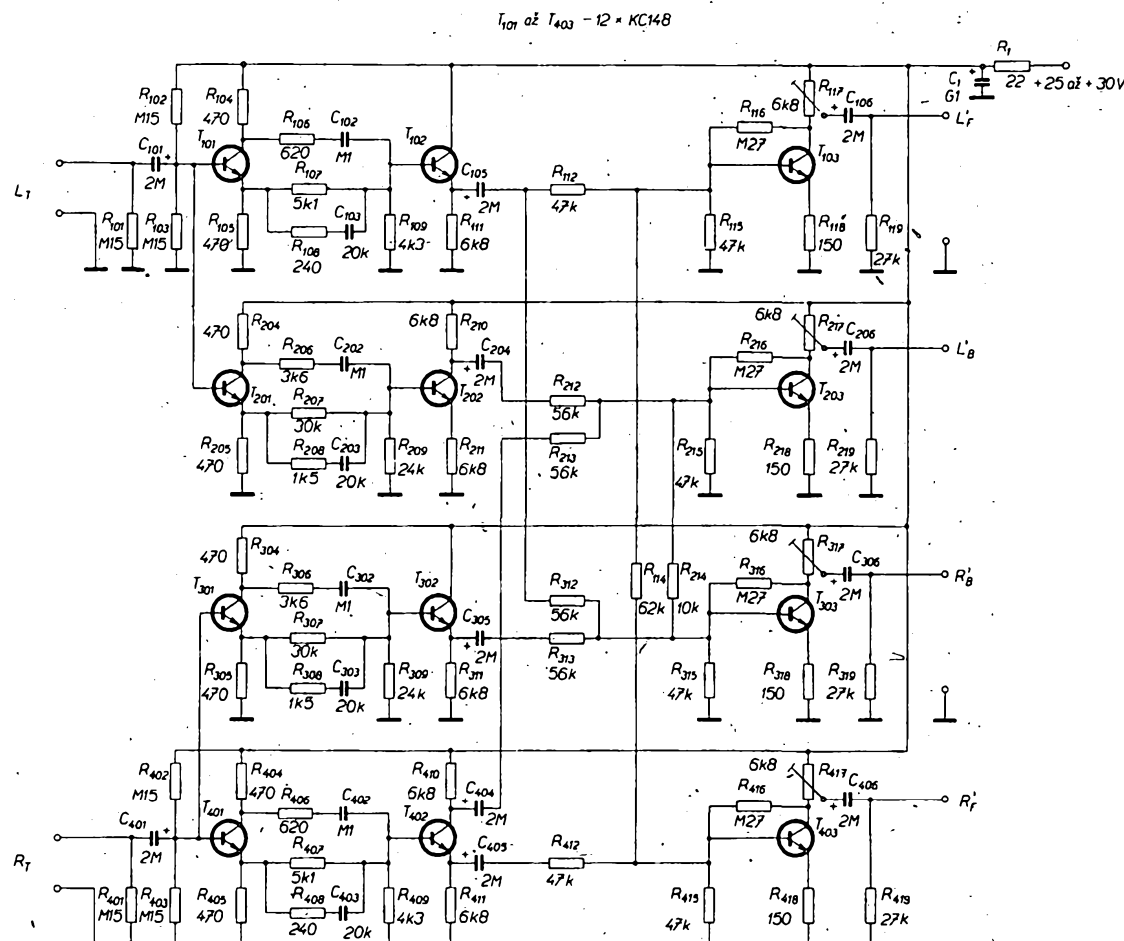
3.1. Jednoduchý dekodér SQ

I když je popisovaný jednoduchý dekodér jednou z nejjednodušších verzí dekodéru SQ, jedná se o zařízení, které má 12 tranzistorů, což není právě málo. Vůbec lze říci, že po ekonomické stránce znamená stavba kvadrofonického zařízení značné finanční oběti a je třeba vždy pečlivě volit mezi „chutí“ na složitě zařízení a finančními možnostmi.

Dříve, než se pustíme do vlastního popisu dekodéru, musíme si ještě něco povědět o obvodech pro posuv fáze 90°. Tyto obvody se používají (kromě CD-4) prakticky u všech systémů kvadrofonie. Nebudeme popisovat jednotlivé varianty obvodů; v této, konstrukční části AR-B si popíšeme pouze konkrétní obvody. Jistě je, že obvod pro posuv fáze 90° bude vždy podstatně složitější, než obvod pro posuv 180°, který lze realizovat např. zesilovačem s tranzistorem, zapojeným se společným emitem. Tak jednoduchý, kmitočtově nezávislý obvod pro posuv fáze 90° realizovat nelze. Jak je známo, fázový posuv 90° nastává u článku RC na mezním

kmitočtu. Jsou známy i fázovací články, které mění fázi plynule v závislosti na kmitočtu a zachovávají přitom konstantní amplitudu signálu. A právě tyto fázovací články v poněkud složitější formě se používají pro posuv fáze 90°. Základem je skupina fázovacích článků, které mění v kmitočtovém pásmu např. 20 Hz až 20 kHz fázi plynule od nuly až do 540°, přičemž amplituda výstupního napětí zůstává neměnná. Pro konstantní, kmitočtově nezávislý posuv 90° se používají vždy dvě takové skupiny fázovacích článků, které mají stejný průběh fáze, ale různé mezní kmitočty, zvolené tak, aby rozdíl fázového posuvu byl právě 90° (mezi oběma skupinami) v celém kmitočtovém rozsahu, požadovaném pro funkci zařízení. Na obr. 33 je idealizovaný průběh fáze v závislosti na kmitočtu dvou fázovacích článků (skupin), na jejichž výstupu dostaneme signál s požadovaným posuvem fáze. Amatér, kteří pracuje s technikou SSB, jistě již přišel s těmito obvody do styku; v kvadrofonické technice však nejsou tak přísné nároky na tolerance součástek. V praxi kolísá šířka pásmá, v níž dochází k posuvu 90°, v rozmezí od 20 Hz až 20 kHz do 150 Hz až 10 kHz a tolerance posuvu fáze je od ±5 do ±12°. Obvody s těmito vlastnostmi jsou pro maticovou kvadrofonii zcela vhodující.

Zapojení celého dekodéru SQ je na obr. 34. Dvojice tranzistorů T_{101} , T_{201} a T_{301} , T_{401} spolu s příslušnými odpory a kondenzátory vytvázejí fázovací články s průběhem $\Phi = 0^\circ$ (základní, referenční) a $\Phi = 90^\circ$. Tranzistory T_{102} , T_{202} , T_{302} , T_{402} slouží jako oddělovací stupně. Kromě toho, protože při dekódování SQ je třeba i posuv fáze -90° a $+90^\circ$, slouží T_{202} a T_{402} současně jako invertory, na jejichž kolektorech má signál fázový posuv $+90^\circ$.



Obr. 34. Schéma jednoduchého dekodéru SQ

Celou tuto část zapojení je třeba konstruovat velmi pečlivě s ohledem na tolerance fázového posuvu. Proto mají dvojice tranzistorů s $\Phi = 0^\circ$ i $\Phi = 90^\circ$ společný vstupní vazební kondenzátor. Z téhož důvodu musí mít maximální toleranci $\pm 5\%$ i všechny součástky fázovacích obvodů. Tranzistory není nutno vybírat, neboť v použitém zapojení jejich vlastnosti jsou velmi málo ovlivňují výsledné parametry obvodu. Použité fázovací obvody jsou velmi jednoduché a zaručují fázový rozdíl -90° (nebo $+90^\circ$) s tolerancí $\pm 12^\circ$ v kmitočtovém pásmu 100 Hz až 10 kHz. Stojí za zmínu, že fázovací obvody mají útlum okolo 10 dB. Amplitudová charakteristika je zvlněná, pohybuje se v pásmu 20 Hz až 20 kHz v tolerancích 3 až 4 dB. Uvedené technické vlastnosti lze u dekodéru tohoto typu považovat za běžné a zcela vyhovující.

Za fázovacími článci je vlastní odporová matici, realizující amplitudové směšovací vztahy podle dekódovacích rovnic systému SQ. Je tvořena odpory R_{112} až R_{412} (tj. odpory R_{112} , R_{212} , R_{312} a R_{412}), i dále budeme rozumět pod zkratkou 100 až 400 součástky s indexem 100, 200, 300 a 400), které tvoří spolu s odpory směšovací matici děliče napětí. V odporové matici je signál utlumen, a to zhruba asi o 6 dB. Kromě uvedených odporů matic jsou mezi odpory R_{115} a R_{415} , popř. R_{215} a R_{315} zapojeny směšovací odpory R_{114} a R_{214} , realizující směšování 10–40 (viz podrobný popis systému SQ). Také všechny tyto odpory musí být vybrány s tolerancí maximálně $\pm 5\%$, aby byly zaručeny správné směšovací poměry.

Na bázích tranzistorů T_{103} až T_{403} (tj. tranzistorů s indexy 103, 203, 303, 403) jsou tedy již dekódované signály, jejichž úroveň je asi o 16 dB menší vzhledem k úrovni vstupních signálů. Tranzistory tedy pracují jako zesilovače tak, aby celkové zesílení dekodéru bylo rovno jedné. Na odpory v bázích tranzistorů nejsou kladený žádnej zvláštní požadavky (kromě R_{115} až R_{415}), zcela postačí s tolerancí ± 10 až $\pm 20\%$. Tranzistory T_{103} až T_{403} by mely mít stejný proudový zesilovací činitel h_{FE} ; zesilovací činitel lze měřit např. v pracovním bodu udávaném v katalogu, tj. při $U_{CE} = 5$ V, $I_C = 2$ mA. Zesilovací činitel se neměly lišit o více než 10 %. Jde totiž o to, aby v daném zapojení mely všechny tyto tranzistory stejnou vstupní impedanci, aby nezatěžovaly odporovou matici různým odberem proudu, což by mohlo změnit dekódovací poměry. Aby bylo možno nastavit dekodér co nejsnadněji, lze zesílení tranzistorů T_{103} až T_{403} regulovat odporovými trimry R_{117} až R_{417} . Použitý způsob regulace je poměrně neobvyklý, to proto, aby se příliš neměnil vstupní odpor tranzistorů při změně nastavení regulačního prvku. Za oddělovacími kondenzátory C_{106} až C_{406} je již k dispozici kompletní čtverice dekódovaných signálů SQ.

Celý dekodér je umístěn na desce s plošnými spoji. Rozmístění součástek a nákres desky s plošnými spoji ze strany součástek je na obr. 35. Použité součástky jsou běžné. Tranzistory, předepsané v rozpisce součástek, lze nahradit jakýmkoli jinými tranzistory n-p-n z řady KC (viz kapitola 3). Odpory jsou z řady E 24, potřebné hodnoty lze však vybrat i z řady E 12, která je běžnější. Kondenzátory C_{102} , C_{103} až C_{402} , C_{403} je možno vybrat z řady E 6, běžně se jejich kapacita vyskytuje v řadě v řadě E 24 (kapacita 20 nF). Elektrolytické kondenzátory jsou běžné, nevybírány.

Není snad třeba zdůrazňovat, že desky s plošnými spoji je třeba na straně spojů

povrchově upravit ochranným nátěrem (kalafloun rozpuštěnou v lihu, solakrylovým lakem) a to nejlépe před pájením součástek a po jejich zapojení podruhé. Otvary v desce s plošnými spoji mají průměr 1,3 mm. Do míst připojovacích bodů je velmi vhodné nanýtovat mosazné nebo lépe stříbřené nýtky (trubkové, o průměru 2 mm, délky 2,5 mm). Použijeme-li nýtky, budou mít příslušné díry průměr 2,2 mm. Nýtky v každém případě k desce (lépe řečeno ke spojům na desce) připájíme. V rozích desky s plošnými spoji jsou vyrtány čtyři díry o Ø 3,2 mm pro uchycení desky k panelu nebo šasi.

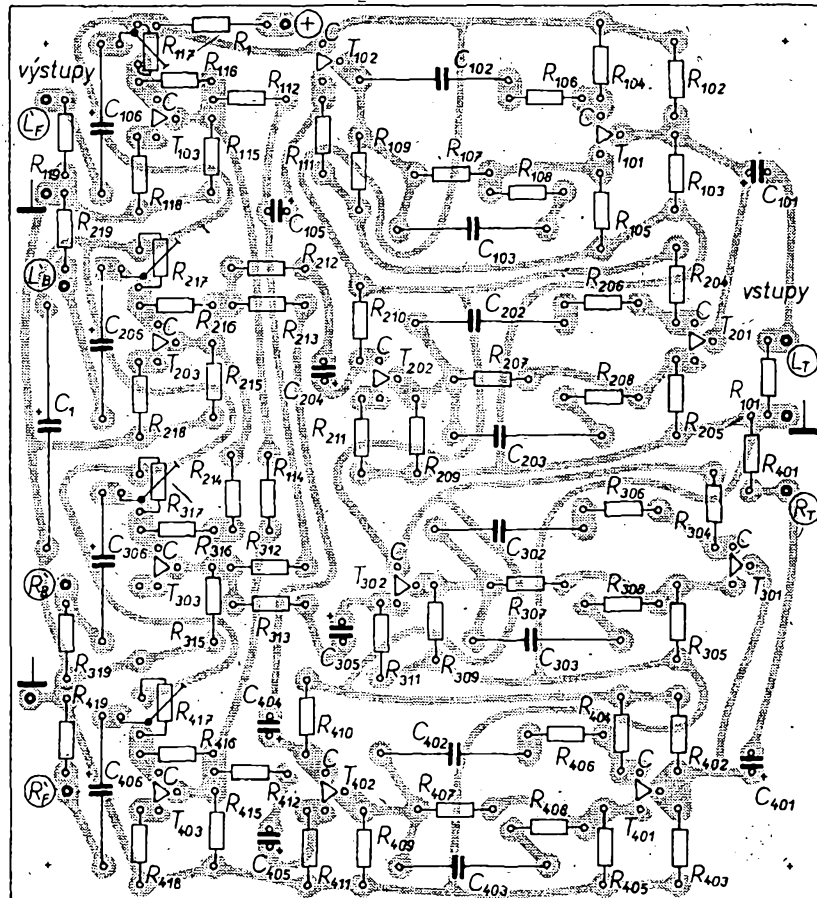
Oživení a nastavení tohoto dekodéru je poměrně jednoduché. Ze základních měřicích přístrojů je nutný signální generátor (nf tónový generátor), nízkofrekvenční milivoltmetr a osciloskop, nejlépe takový, který má horizontální zesilovač (tj. který má vstup X). K podrobnejšímu měření potřebujeme dále zdroj význačných signálů SQ a měřič fáze. Oba tyto přístroje jsou popsány v kapitole o měření v příslušném čísle AR-B.

Před měřením odpojíme jeden konec odporu R_{114} a R_{214} . Dekodér připojíme ke stejnosměrnému zdroji napětí asi 25 V. Na jeden ze vstupů (např. L_T) připojíme tónový generátor. Kmitočet generátoru nastavíme na 1 kHz, výstupní napětí na 0,5 V. Na výstup L'_F připojíme nízkofrekvenční milivoltmetr a paralelně k němu (případně na jeho výstup, pokud jej má) osciloskop. Trimrem R_{117} nastavíme na výstupu dekodéru stejně napětí, jaké je na jeho vstupu, tj. 0,5 V. Na osciloskopu kontrolujeme tvar sinusovky, která musí být nezkreslená. Při zvětšování vstupního napětí se smí objevit značné zkreslení až asi při vstupním napěti

2 V. Po této kontrole upravíme opět výstupní napětí generátoru na 0,5 V a milivoltmetr s osciloskopem připojíme k výstupu L'_B . Trimrem R_{217} nastavíme výstupní napětí menší o 3 dB než 0,5 V, tj. 0,353 V a opět kontrolujeme zkreslení při zvětšování vstupního napětí. Signál na tomto výstupu by neměl být zkreslený až do výstupního napětí asi 1,6 V.

Tentýž postup opakujeme u dvojice pravých kanálů. Generátor připojíme na R_T , na výstupu R'_F nastavíme trimrem R_{417} napětí 0,5 V, na výstupu R'_B trimrem R_{317} napětí 0,353 V. Zkreslení kontrolujeme stejně, jako u levých kanálů.

Generátor necháme připojený k R_T (jeho výstupní napětí bude opět 0,5 V) a měříme výstupní napětí na výstupu L'_B ; na L'_B by mělo být výstupní napětí menší o 3 dB, tj. 0,353 V. Může se stát (např. vlivem tolerancí odporů v matici), že toto napětí bude větší či menší, např. o $-3,5$ dB. V takovém případě nelze chybou odstranit změnou nastavení trimru R_{317} , neboť změnou nastavení trimru by se změnilo výstupní napětí při buzení dekodéru ze vstupu L_T . Chybou bude třeba bud odstranit změnou odporů (lepším výběrem), nebo ji „rozdělit“ a to takto: při buzení vstupu L_T nastavíme na výstupu L'_B napětí $-3,25$ dB (vzhledem ke vstupnímu napětí 0,5 V), tím bude na též výstupu při buzení vstupu L_T výstupní úroveň menší o $-2,75$ dB (vytaženo opět ke vstupní úrovni 0,5 V). Upravou jsme tedy dosáhli změnění chyby na $\pm 0,25$ dB, což je velmi slušný výsledek. Stejným způsobem při buzení L_T kontrolujeme a nastavujeme R'_B . Je-li tedy při této kontrole úroveň R'_B rovna např. -2 dB, nastavíme ji trimrem R_{317} na $-2,5$ dB, čímž



Obr. 35. Deska s plošnými spoji K220 jednoduchého dekodéru SQ

Obr. 36. Osazená deska s plošnými spoji K220 jednoduchého dekodéru je na 2. str. obálky

bude na tomto výstupu při buzení R_T úroveň $-3,5$ dB, chyba bude tedy $\pm 0,5$ dB. To je zcela přijatelné. Tím je nastavení amplitudových poměrů dekodéru ukončeno.

Dále bychom měli kontrolovat amplitudovou kmitočtovou charakteristiku, která by měla být v pásmu 20 Hz až 20 kHz v toleranci maximálně 4 dB. Kmitočtovou charakteristiku měříme opět při vstupním napětí $0,5$ V, vstupní napětí musí být při změně kmitočtu konstantní. Při tomto měření zkoušíme každý kanál samostatně.

Dále je třeba zkontovalovat fázový posuv: na vstup L_T připojíme generátor, jehož výstupní napětí udržujeme při všech měřicích kmitočtech na $0,5$ V. Měříme fáze připojíme k výstupům L'_F a L'_B a kontrolujeme fázový posuv při změně vstupního signálu od 100 Hz do 10 kHz. Fázový posuv musí být 90° s tolerancí $\pm 12\%$ v celém kmitočtovém pásmu 100 Hz až 10 kHz. Totež měření opakujeme samozřejmě na výstupech R'_F a R'_B při buzení R_T . Nemáme-li měříci fáze, lze k měření (orientačnímu) použít osciloskop. Vypneme časovou základnu a na vstup horizontálního zesilovače přivedeme signál z výstupu (např. při buzení L_T signál z L'_F). Na stínítku osciloskopu se objeví vodorovná úsečka, jejíž délku nastavíme regulátorem zesílení horizontálního zesilovače třeba na 3 cm. Signál L'_F pak odpojíme. Na vstup vertikálního zesilovače přivedeme signál L'_B , na stínítku se objeví svíslá úsečka, jejíž délku opět nastavíme regulátorem zesílení vertikálního zesilovače na 3 cm. Na vstup horizontálního zesilovače opět připojíme signál L'_F – na stínítku osciloskopu by se měla objevit kružnice. (Při tomto měření nelze nastavit stejnou citlivost u obou zesílovačů osciloskopu, jak je to běžné při měření posuvu fáze zvykem, neboť vstupní signály osciloskopu nemají v našem případě stejnou úroveň.) Nyní měříme kmitočet výstupního signálu generátoru a pozorujeme kružnice na stínítku. Při změně kmitočtu se začne kružnice měnit na elipsu, nebo se bude zvětšovat či zmenšovat. Co vlastně znamená změna tvaru nebo velikosti kružnice? Především, je třeba říci, že v celém měřeném kmitočtovém rozsahu by měla být na stínítku osciloskopu kružnice. Mění-li se její velikost, ne však tvar, není to chyba, neboť se zřejmě mění pouze amplituda obou výstupních napěti dekodéru. Protahujeme-li se kružnice v elipsu pouze ve vertikálním nebo horizontálním směru, také to není chyba, neboť se mění pouze amplituda jednoho z měřených signálů, jejich fázový posuv však zůstává stejný. Pouze tehdy, jeví-li elipsa snahu „položit se na bok“, mění se fáze mezi měřenými signály. Protože lze na obrazovce pozorovat současně všechny uvedené změny a jevy současně, je vyhodnocení obrazce dosti obtížné. Vodítkem ke správnému vyhodnocení mohou být příklady obrazců na stínítku osciloskopu, popsané v kapitole Měření fáze (AR B/4).

Nakonec zbývá ještě připojit odpory R_{114} a R_{214} a kontrolovat předozadní přeslechy. Ke vstupům připojíme generátor signálu SQ a zvolíme signál C_F . Na výstupu dekodéru měříme milivoltmetrem přeslech z L'_F do L'_B a z R'_F do R'_B . Přeslech musí být v mezích $1,5$ až 3 dB. Při tomto měření lze nahradit zdroj kvadrofonního signálu SQ tak, že při signálu C_F spojíme vstupní svorky L_T a R_T a budíme obě signálem z tónového generátoru (tj. se stejnou fazí). Při signálu C_B je třeba, aby mezi signály na vstupech L_T a R_T byl fázový posuv 180° , což lze snadno splnit např. jednostupňovým tranzistorovým zesilovačem s rozdelenou záťaze.

Po kontrole předozadních přeslechů je dekodér definitivně nastaven. Hotový dekodér je na obr. 36. Máme-li k dispozici zdroj signálu SQ (viz kapitola 5.2) nebo kodér (viz kapitola 5.3), můžeme ještě kontrolovat přeslechy všech kanálů dekodéru; se zdrojem signálu SQ na jednom kmitočtu, s kodérem

v celém kmitočtovém pásmu (míní se pásmo fázového posuvu, tj. 100 Hz až 10 kHz, mimo tu oblast není velikost přeslechů pro lokalizaci důležitá). Na vstup dekodéru připojujeme postupně zakódované signály L_F , R_F , L_B a R_B a měříme přeslechy. Stranové přeslechy vpředu (mezi L'_F a R'_F a naopak) by měly být 18 až 22 dB, vzadu (mezi L'_B a R'_B a naopak) okolo 6 až 8 dB. Přeslechy zpředu dozadu po stranách a naopak (mezi L'_F a L'_B , R'_F a R'_B atd.) by se při buzení vstupů stranovými signály měly pohybovat mezi $2,5$ až $4,5$ dB. Budou-li naměřené údaje odpovidat uvedeným, je dekodér v naprostém pořádku a je připraven k vestavění do zesilovače.

Popsané kompletní měření dekodéru není třeba vždy dělat celé. Je pochopitelné, že jsou-li při stavbě dekodéru použity změřené součástky a nedošlo-li při stavbě dekodéru k nějaké chybě (např. k záměrně součástek), není vlastně ani třeba fázové poměry, ani přeslechy apod. kontrolovat. Vždy je však třeba nastavit amplitudové směšovací poměry matice příslušnými odporovými trimry. Jisté však je, že kompletní měření dá ucelený obraz o výsledku práce a jistotu, že dekodér bude pracovat tak, jak má. V popisu chybí nastavování pomocí generátoru SQ. Tento postup je jednoduchý a bude popsán v další kapitole, v níž je stavební návod na konstrukci dekodéru s předozadní logikou.

A nyní ještě pář slov k součástkám. Značení součástek v rozpisích odpovídá zvyklostem, zavedeným v AR. Tolerance odporů a kondenzátorů jsou označeny takto: $\pm 5\% = B$, $\pm 10\% = A$, bez označení $\pm 20\%$. Běžné tolerance elektrolytických kondenzátorů jsou -20 , $+100\%$ ze jmenovité kapacity. Značení odporů a kondenzátorů na schématech je běžné – $Sj6 = 5,6$, $4k7 = 4700$, $1,5M = 1,5$ megaohmů, popř. $1,5\mu F$, $50M = 50\mu F$, $G1 = 100\mu F$ atd.

Seznam součástek

Odpory (pokud není uvedeno, jinak, jde vesměs o TR 112a)

R_1	TR 144, 22Ω
R_{101}, R_{401}	
R_{102}, R_{402}	
R_{103}, R_{403}	$0,15\text{ M}\Omega$
R_{104}, R_{404}	
R_{204}, R_{205}	
R_{205}, R_{405}	
R_{206}, R_{406}	$470\Omega/\text{B}$
R_{207}, R_{407}	$620\Omega/\text{B}$
R_{208}, R_{408}	$3,6\text{ k}\Omega/\text{B}$
R_{209}, R_{409}	$5,1\text{ k}\Omega/\text{B}$
R_{210}, R_{410}	$30\text{ k}\Omega/\text{B}$
R_{211}, R_{411}	$240\text{ }\Omega/\text{B}$
R_{212}, R_{412}	$1,5\text{ k}\Omega/\text{B}$
R_{213}, R_{413}	$4,3\text{ k}\Omega/\text{B}$
R_{214}, R_{414}	$24\text{ k}\Omega/\text{B}$
R_{215}, R_{415}	$6,8\text{ k}\Omega/\text{B}$
R_{216}, R_{416}	$47\text{ k}\Omega/\text{B}$

R_{212}, R_{213}	
R_{212}, R_{413}	$56\text{ k}\Omega/\text{B}$
R_{214}	$62\text{ k}\Omega/\text{B}$
R_{214}	$10\text{ k}\Omega/\text{B}$
R_{216}, R_{416}	$0,27\text{ M}\Omega/\text{A}$
R_{217}, R_{417}	trimr TP 008, $6,8\text{ k}\Omega$
$R_{218}, R_{418}, R_{419}$	
R_{219}	150Ω
$R_{219}, R_{419}, R_{419}$	$27\text{ k}\Omega/\text{A}$

Kondenzátory

C_1	TE 986, $100\text{ }\mu\text{F}$
$C_{101}, C_{401}, C_{405}$	
$C_{204}, C_{405}, C_{404}$	
C_{405}	TE 005, $2\text{ }\mu\text{F}$
$C_{102}, C_{202}, C_{402}$	
C_{402}	TC 180, $0,1\text{ }\mu\text{F/B}$
$C_{103}, C_{203}, C_{403}$	
C_{403}	TC 237, 20 nF/B
$C_{106}, C_{206}, C_{406}$	
C_{406}	TE 986, $2\text{ }\mu\text{F}$

Tranzistory

T_{101} až T_{404}	KC148 (147, 149, 507, 508, 509); výběr viz text
------------------------	---

3.2. Dekodér SQ s předozadní logikou

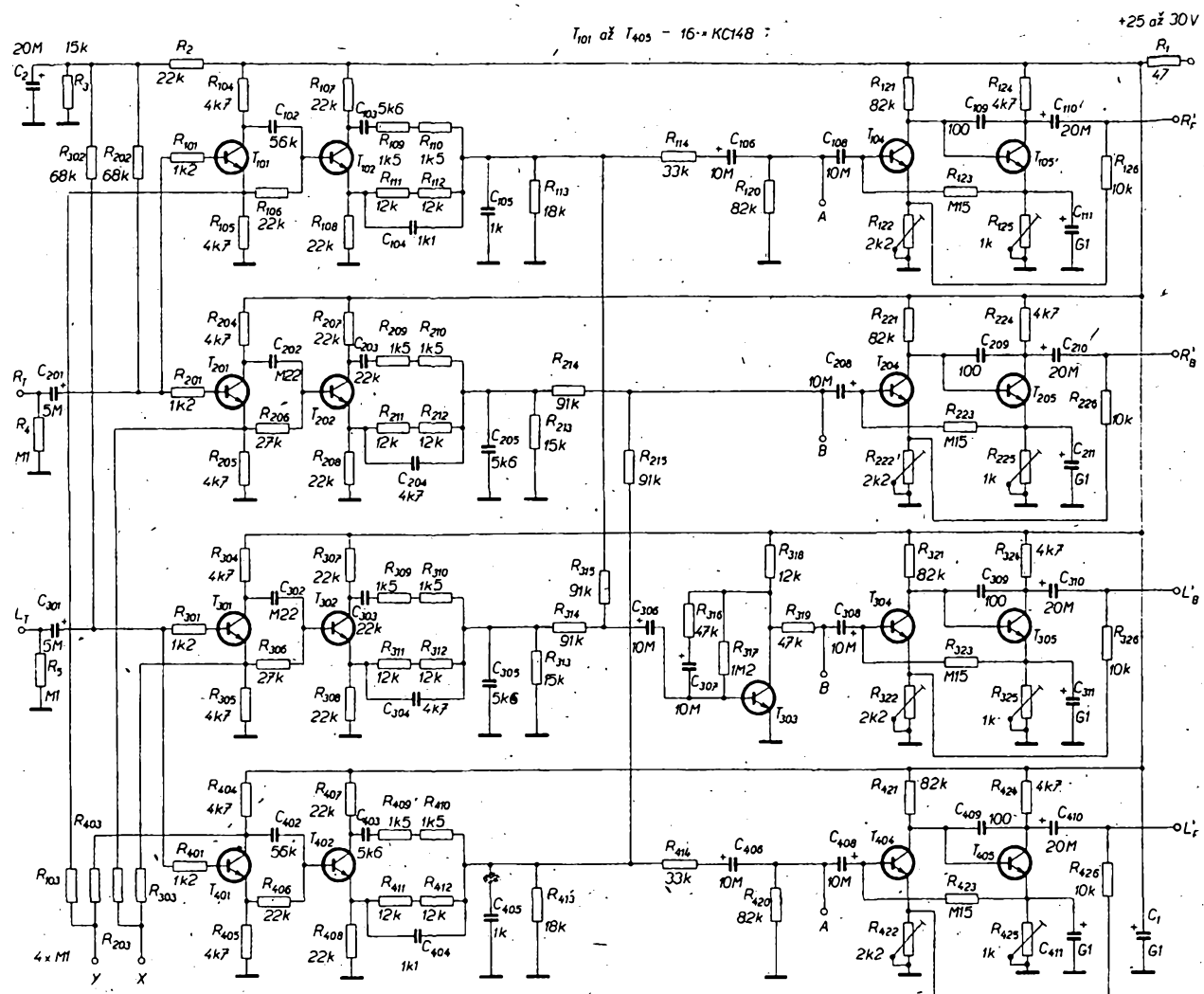
Konstrukce dekodéru s logikou je rozvržena do dvou samostatných celků. Prvním celkem je vlastní dekodér, druhým obvody logiky. Celý dekodér i s logikou by bylo možno samozřejmě umístit na jednu desku s položnými spoji, deska by však byla neúměrně velká.

Schéma zapojení části I, samotného dekodéru, je na obr. 37. Tranzistory T_{101} , T_{102} až T_{401} , T_{402} tvoří s příslušnými odpory a kondenzátory fázovací členy s kmitočtovým rozsahem fázového posuvu 90° od 70 Hz do 15 kHz s tolerancí $\pm 10^\circ$. Všechny uvedené tranzistory mají společně nastavené předpřetí odporovým dělícím R_1 , R_2 Z emitorů a kollektoru. T_{101} až T_{401} se odeberají signály R_T , L_T a $-L_T$, které se na odporech R_{103} až R_{403} (tj. R_{103} , R_{203} , R_{303} , R_{403} , viz poznámku v úvodu kapitoly 3.1) sčítají, takže na výstupu X je signál $R_T + L_T$ a na výstupu Y signál $R_T - L_T$. Tyto signály se dále vedou na obvody logiky.

Za druhým stupnem, fázovači nejsou, na rozdíl od předchozího dekodéru, oddělovací stupně, ale přímo odporová směšovací matice, tvořená odpory R_{114} až R_{414} a R_{215} , R_{315} . Protože obě dvojice fázovačů jsou stejné, a vytvářejí posuvy $\Phi = 0^\circ$ a $\Phi = 90^\circ$, je ve věti L'_B zapojen ještě tranzistor T_{303} , který pracuje jako invertor a vytváří posuv $\Phi + 90^\circ$, nutný k vytvoření signálu L'_B . Jak jste si zajistě všimli, jedná se u tohoto dekodéru o předozadní směšovací logiku. Směšování probíhá zařazením řízených odporek mezi větve předních kanálů (body, označené A) a větve zadních kanálů (body, označené B). Na vazebních kondenzátorech C_{108} až C_{408} je tedy již dekódovaný signál SQ se zlepšenými předozadními přeslechy. Na výstupu dekodéru jsou dvoustupňové zesilovače, které zesilují signál na původní úroveň; útlum fázovačů a odporové matici je opět asi 16 dB. I když by opět stačil jednostupňový zesilovač, jsou použity dvoustupňové zesilovače proto, aby byl zaručen velký a konstantní vstupní odpor.

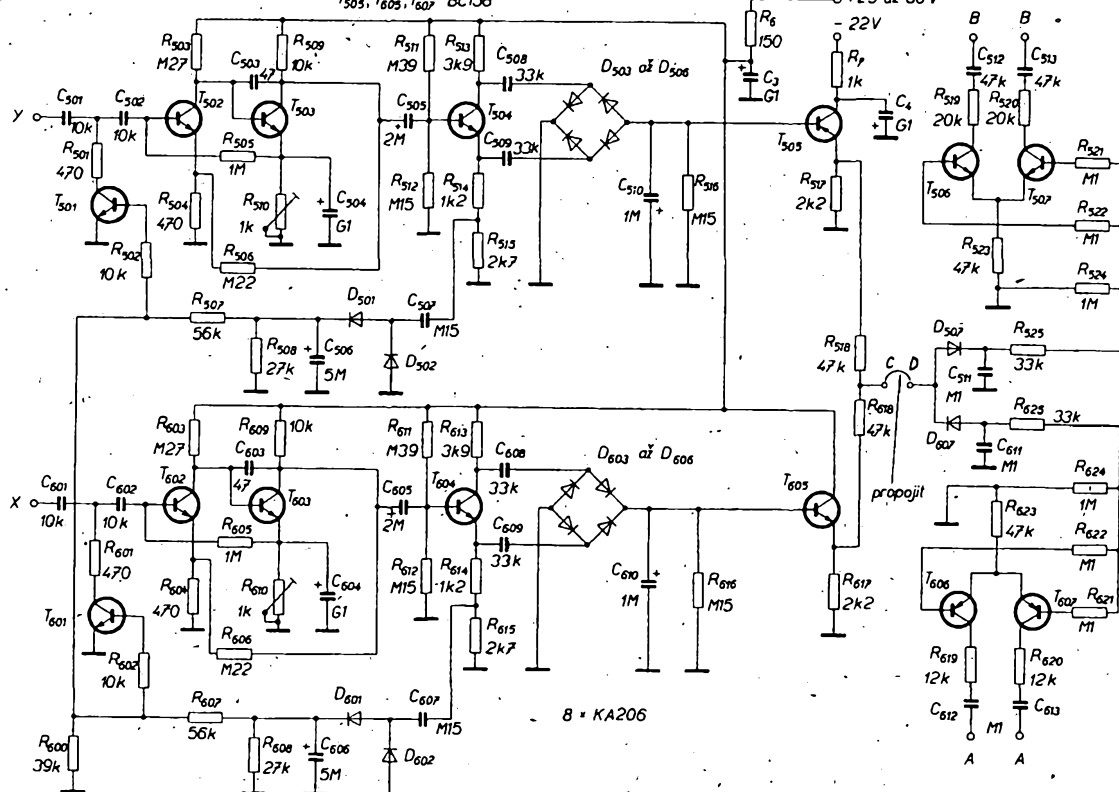
Druhou část dekodéru tvoří obvody logiky, jejichž schéma je na obr. 38. Signály X a Y se přivádějí nejprve na zesilovače s řízeným ziskem. Jejich první částí jsou dvoustupňové zesilovače tvořené tranzistory





$T_{501} \text{ až } T_{605} - 14 \times \text{KC148}$

$T_{505}, T_{605}, T_{606} - \text{BC158}$



Obr. 37. Schéma dekodéru SQ s předozadní logikou – základní dekodér (nahoře)

T_{502} , T_{503} a T_{602} , T_{603} , které mají zesílení asi 200, tj. zisk asi 46 dB. Za nimi následuje usměrňovač s rozdelenou zátěží s T_{504} , T_{604} , z jejichž emitorů se část signálu vede na usměrňovače, tvořené diodami D_{501} , D_{502} , D_{601} , D_{602} . Za těmito usměrňovači se řídí napětí obou kanálů sloučuje a společně řídí tranzistory T_{501} a T_{601} , které pracují jako proměnné odpory na vstupu zesilovače signálů Y a X. Takto je zaručena konstantní úroveň signálů X a Y při změně vstupní úrovně v rozsahu 25 až 35 dB. Kondenzátory C_{508} , C_{509} , C_{608} , C_{609} jsou na výstupu zesilovače navázány dvoucestné usměrňovače zapojené tak, aby kanál Y měl výstupní napětí záporné a kanál X kladné. Jak je ze schématu patrné, mají zesilovače X a Y kmitočtovou charakteristiku omezenou na nízkých i vysokých kmitočtech. Je to proto, že přeslechy je třeba řidit pouze v oblasti středních kmitočtů. Na okrajích kmitočtového pásma nejen že není nutné přeslechy řidit, ale naopak by to mohlo působit rušivě.

Tranzistory T_{505} , T_{605} tvoří porovnávací obvod, který hodnotí, zda převládá kladné napětí signálu X či záporné napětí signálu Y. Při rovnosti X a Y ($L_T + R_T = L_T - R_T$) je v bodu C nulové napětí. Převládají-li přední signály, tedy je-li signál X větší než signál Y, je v bodu C kladné napětí a naopak.

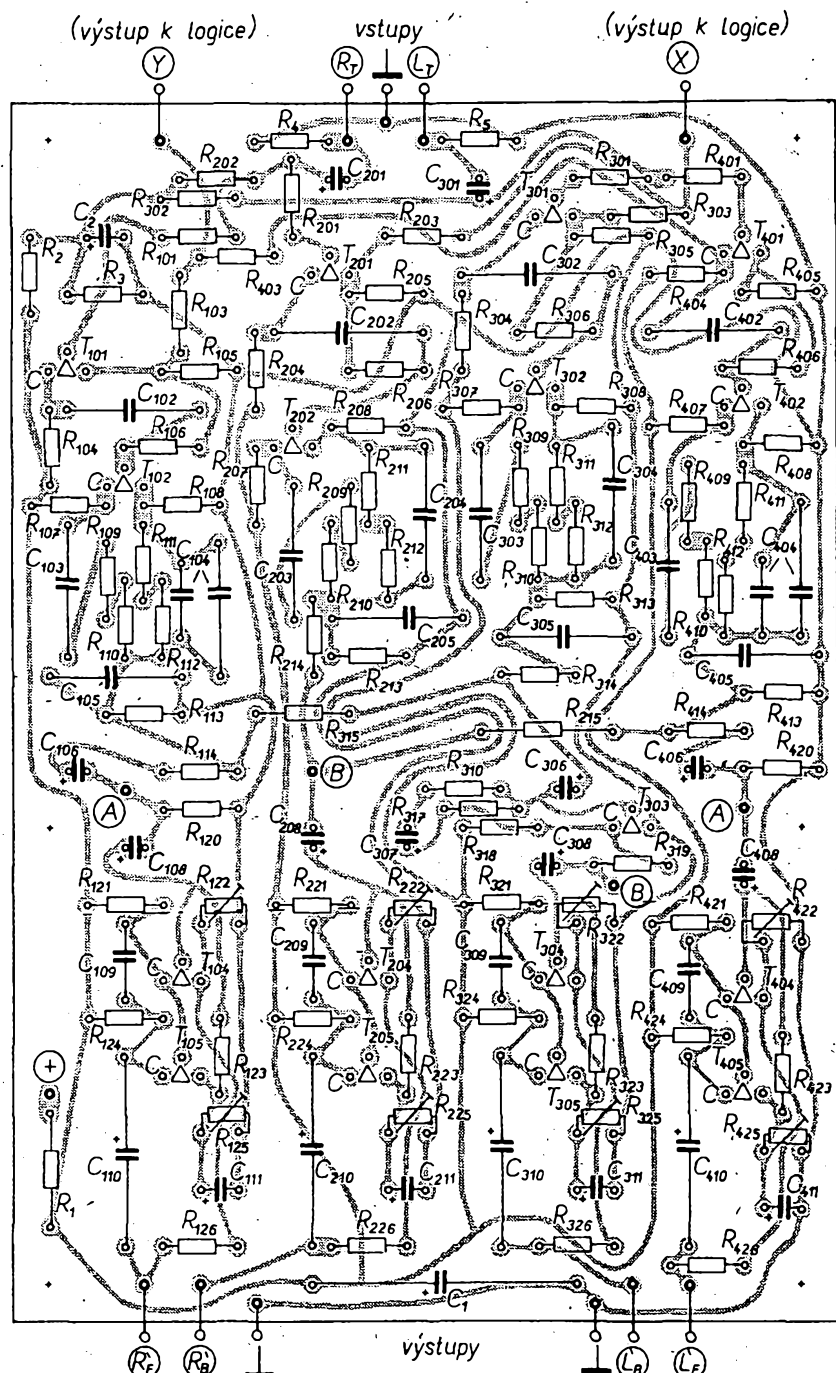
Napětím z bodu C se řídí dvojice tranzistorů T_{506} , T_{507} a T_{606} , T_{607} , jejichž kolektory jsou střídavě připojeny do příslušných větví základního dekodéru. Dosažitelný přeslech z C_F do C_B je 10 až 15 dB, z C_B do C_F asi 5 až 10 dB. Oba údaje jsou tedy podstatně lepší, než u předchozího dekodéru. Přítom přeslechy v přední a zadní bázi jsou asi 20 dB. Nedochází tedy k trvalému zhoršení přeslechů, jako při použití pevných směšovacích odporů.

Stranové přeslechy zpředu dozadu a naopak ovšem řízeny nejsou a zůstávají trvale, jak vyplývá z principu systému SQ, asi 3 dB. Jmenovitě vstupní napětí dekodéru je opět asi 0,5 V, zesílení dekodéru je jedna, maximální vstupní napětí je až 2,5 až 3 V.

Při nastavování postupujeme tak, že nejprve ožívíme a nastavíme desku se základním dekodérem (obr. 39). Trimry R_{122} až R_{422} nastavíme na poloviční odpor a pomocí tónového generátoru, milivoltmetru a osciloskopu upravíme začátek limitace výstupního napětí (na kmitočtu 1000 Hz) ve všech čtyřech zesilovačích výstupního napětí trimry R_{125} až R_{425} . Postup byl podrobně popsán v článku 3. 1. Ve stejném článku byl popsán i postup při nastavování amplitudových směšovacích poměrů.

V tomto článku si podrobnejší všimneme – nastavování dekodéru pomocí generátoru signálů SQ. Generátor připojíme ke vstupům L_T a R_T a trimry R_{122} až R_{422} nastavíme amplitudové směšovací poměry, včetně tolerancí, podle popisu v článku 3. 1. Výstupní napětí generátoru SQ je při tom 0,5 V. Po nastavení trimrů R_{122} až R_{422} zkонтrolujeme volbu příslušných signálů z generátoru SQ přeslechy základního dekodéru. Nekontrolujeme přeslechy mezi C_F a C_B , neboť ty jsou zatíž nulové. Po tomto měření zkонтrolujeme průběh posuvu fáze fázoměrem nebo osciloskopem. Tím je nastavení základního dekodéru ukončeno.

Při nastavování obvodů na desce s plošnými spoji logické části (obr. 40) potřebujeme dva zdroje napětí, protože tranzistor T_{505} musí být kolektorem připojen k napěti, které je záporné proti kostře, proti „zemí“. Abychom nemuseli pracovat s malými vstupními napětími, budeme tónový generátor připojovat ke vstupům X a Y přes sériový odpor 100 k Ω . Měřicí kmitočet bude 1000 Hz. Tónový generátor připojíme na vstup X a v bodu C měříme proti kostře (zemí) napětí elektronickým voltmetrem se vstupním odporem alespoň 1 M Ω (v nouzi stačí



Obr. 39. Deska s plošnými spoji K221 základního dekodéru z obr. 37. Kondenzátory C_{104} a C_{404} jsou složeny z kondenzátorů 1 nF a 100 pF

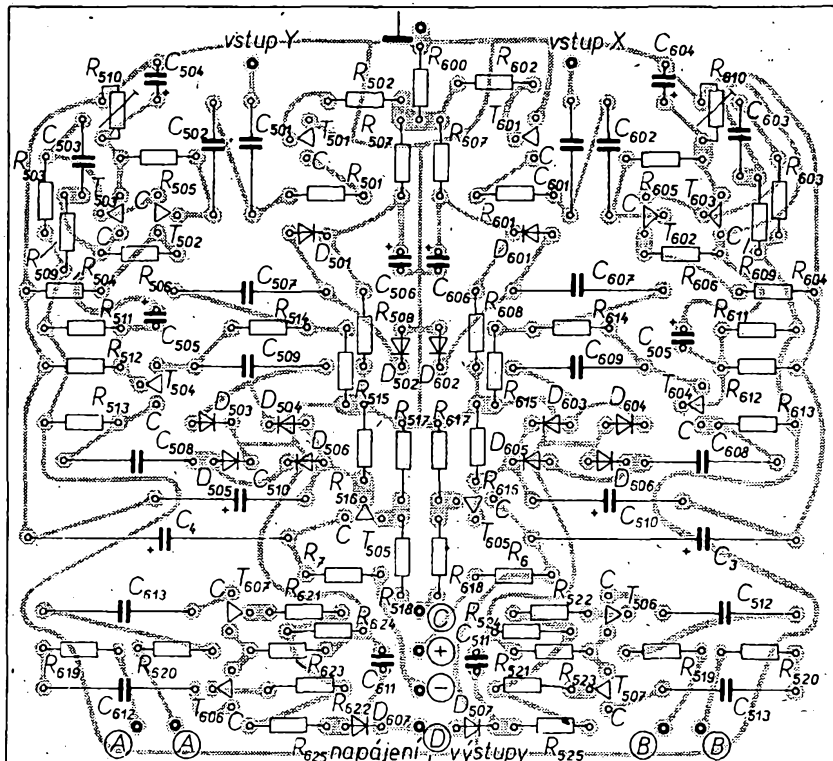
Avomet II na rozsahu 6 V). Měřené napětí musí být kladné a musí být asi 1 až 3 V (závisí na použití voltmetu). Toto napětí se nesmí příliš měnit v rozsahu vstupních napětí asi 30 mV až 1 V. Povolená změna měřeného napětí je od asi 0,7 do 1,4 napětí, které naměříme při vstupním napětí 0,5 V. Stejně budeme postupovat při signálu na vstupu Y, měřené napětí by mělo být stejné jako při signálu na vstupu X, polarita měřeného napětí bude však záporná (proti kostře).

Pak vstupy X a Y spojíme a budíme je společně. V bodu C by mělo být nulové napětí (maximální povolená odchylka $\pm 0,4$ V); neesmí se otvírat diody D_{501} a D_{601} . Není-li tomu tak, musíme změnit odpory R_{518} a R_{618} .

Po kontrole dílu logiky oba díly dekodéru spojíme podle označení vývodů a pomocí generátoru SQ kontrolujeme přeslechy z C_F do C_B (asi 10 až 15 dB) a z C_B do C_F (5 až 10 dB). Dále můžeme samozřejmě měřit

dekodér i ostatními způsoby, které byly po- psány v kapitole 3.1. Pak je dekodér defi- nitivně nastaven.

K vlastní stavbě ještě několik poznámek. Dvojice odporů ve fázovačích jsou použity proto, aby bylo možno odpory vybírat s dostupnější řady E 12, místo z řady E 24. Odpory je třeba vybírat s tolerancí 5 % (maximální). Použité tranzistory n-p-n jsou opět libovolné typy z řady KC. Tranzistory p-n-p jsou libovolné typy z řady BC177 až 179, nebo BC157 až 159. Bylo by možné použít i tranzistory KF517 nebo KFY18 vybrané tak, aby jejich zesilovací činitel h_{21E} byl minimálně 125. Použité diody jsou křemíkové typy co nejmenších rozměrů, tj. z řady KA500, nebo KA206, popř. i KY130.



Obr. 40. Deska s plošnými spoji K222 logiky - dekodéru

Obr. 41. Dekodér SQ s předozadní logikou - osazené desky s plošnými spoji K221 a K222 jsou na 2. str. obálky

Dvě desky dekodéru lze umístit vedle sebe, ale i nad sebou, jak je zřejmé z obr. 41. K tomu účelu jsou v desce základního dekodéru díry, které souhlasí s upevněvacími děrami v desce logiky. Distanční sloupky mezi oběma deskami jsou dlouhé asi 25 mm. Do míst, do nichž se připojují drátové spoje, je vhodné nanýtovat duté nýtky (viz popis předchozího dekodéru), nebo zapájet jako pájecí špičky kousky měděného drátu tloušťky např. 1 mm.

Seznam součástek

Vlastní dekodér

Odpory (vesměs TR 112a, není-li uvedeno jinak)

R ₁	TR 144, 47 Ω
R ₂	22 kΩ
R ₃	15 kΩ
R ₄ , R ₅ , R ₁₀₃ , R ₂₀₃ , R ₃₀₃ , R ₄₀₃	0.1 MΩ/A
R ₁₀₁ , R ₂₀₁ , R ₃₀₁ , R ₄₀₁	1,2 kΩ/A
R ₂₀₂ , R ₃₀₂	68 kΩ
R ₁₀₄ , R ₁₀₅ , R ₂₀₄ , R ₂₀₅ , R ₃₀₄ , R ₃₀₅ , R ₄₀₄ , R ₄₀₅	4.7 kΩ/B
R ₁₀₆ , R ₄₀₆	22 kΩ/B
R ₂₀₆ , R ₃₀₆	27 kΩ/B
R ₁₀₇ , R ₂₀₇ , R ₃₀₇ , R ₄₀₇ , R ₁₀₈ , R ₂₀₈ , R ₃₀₈	22 kΩ/B
R ₁₀₉ , R ₁₁₀ , R ₂₀₉ , R ₂₁₀ , R ₃₀₉ , R ₄₀₉	22 kΩ/B
R ₁₁₁ , R ₄₀₉ , R ₁₁₂ , R ₂₁₁ , R ₂₁₂ , R ₃₁₁ , R ₃₁₂ , R ₄₁₁ , R ₄₁₂	1.5 kΩ/b
R ₁₁₃ , R ₁₁₄	18 kΩ/B
R ₂₁₃ , R ₂₁₄	15 kΩ/B
R ₃₁₄	33 kΩ/B

R ₁₁₅ , R ₁₁₆ , R ₂₁₅ , R ₂₁₆	91 kΩ/B
R ₁₁₇ , R ₁₁₈	47 kΩ/A
R ₁₁₉	1,2 MΩ/A
R ₁₂₀ , R ₁₂₁ , R ₂₁₁ , R ₂₁₂ , R ₃₁₁ , R ₃₁₂ , R ₄₁₁ , R ₄₁₂	12 kΩ/A
R ₁₂₃	trimr WN 790 10, 4,7 kΩ
R ₁₂₄ , R ₁₂₅	82 kΩ/A
R ₁₂₆ , R ₁₂₇ , R ₂₁₃ , R ₂₁₄ , R ₃₁₃ , R ₃₁₄ , R ₄₁₃ , R ₄₁₄	trimr WN 790 10, 2,2 kΩ
R ₁₂₈	0,15 MΩ/A
R ₁₂₉ , R ₁₃₀ , R ₂₁₉ , R ₂₂₀ , R ₃₁₉ , R ₃₂₀ , R ₄₁₉ , R ₄₂₀	4,7 kΩ
R ₁₃₁ , R ₁₃₂ , R ₂₁₆ , R ₂₁₇ , R ₃₁₆ , R ₃₁₇ , R ₄₁₆ , R ₄₁₇	trimr WN 790 10, 1 kΩ
R ₁₃₃	10 kΩ/A

Kondenzátory

C ₁	TE 986, 100 μF
C ₂	TE 005, 20 μF
C ₃₀₁ , C ₃₀₂	TE 004, 5 nF
C ₃₀₂ , C ₃₀₁	TC 235, 56 nF/B
C ₃₀₂ , C ₃₀₂	TC 180, 0,22 μF/B
C ₃₀₃ , C ₃₀₃	TC 281, 5,6 nF/B
C ₃₀₃ , C ₃₀₃	TC 237, 22 nF/B
C ₃₀₄ , C ₃₀₄	TC 281, 1,1 nF/B
C ₃₀₄ , C ₃₀₄	TC 281, 4,7 nF/B
C ₃₀₅ , C ₃₀₅	TC 281, 1 nF/B
C ₃₀₅ , C ₃₀₅	TC 281, 5,6 nF/B
C ₃₀₆ , C ₃₀₆ , C ₃₀₆	TE 005, 10 μF
C ₃₀₇ , C ₃₀₇ , C ₃₀₇	TE 003, 2 μF

C ₁₀₉ , C ₂₀₉ , C ₃₀₉	TC 281, 100 pF
C ₁₁₀ , C ₂₁₀ , C ₃₁₀	TE 986, 20 μF
C ₁₁₁	TE 003, 100 μF
C ₁₁₁ , C ₂₁₁ , C ₃₁₁	TE 003, 100 μF

Tranzistory

T₁₀₁ až T₁₀₈ KC148 nebo pod.

Logická část dekodéru

Odpory (vesměs TR 112a, není-li uvedeno jinak)

R ₆	150 Ω
R ₇	1 kΩ
R ₆₀₀	39 kΩ/A
R ₆₀₁ , R ₆₀₂	470 Ω
R ₆₀₂ , R ₆₀₃	10 kΩ
R ₆₀₃ , R ₆₀₃	0,27 MΩ/A
R ₆₀₄ , R ₆₀₄	470 Ω
R ₆₀₅ , R ₆₀₅	1 MΩ
R ₆₀₆ , R ₆₀₆	0,22 MΩ
R ₆₀₇ , R ₆₀₇	56 kΩ/A
R ₆₀₈ , R ₆₀₈	27 kΩ/A
R ₆₀₉ , R ₆₀₉	10 kΩ
R ₆₁₀ , R ₆₁₀	trimr WN 790 10, 1 kΩ
R ₆₁₁ , R ₆₁₁	0,39 MΩ/A
R ₆₁₂ , R ₆₁₂	0,15 MΩ
R ₆₁₃ , R ₆₁₃	3,9 kΩ/A
R ₆₁₄ , R ₆₁₄	1,2 kΩ/A
R ₆₁₅ , R ₆₁₅	2,7 kΩ/A
R ₆₁₆ , R ₆₁₆	0,15 MΩ
R ₆₁₇ , R ₆₁₇	2,2 kΩ/A
R ₆₁₈ , R ₆₁₈	47 kΩ/A
R ₆₁₉ , R ₆₂₀	20 kΩ/B
R ₆₂₁ , R ₆₂₂ , R ₆₂₁	0,1 MΩ/A
R ₆₂₂ , R ₆₂₃	47 kΩ
R ₆₂₄ , R ₆₂₄	1 MΩ
R ₆₂₅ , R ₆₂₅	33 kΩ/A
R ₆₁₉ , R ₆₂₀	12 kΩ/B

Kondenzátory

C ₃ , C ₄	TE 986, 100 μF
C ₅₀₁ , C ₅₀₂ , C ₅₀₁	TC 237, 10 nF
C ₆₀₂	TC 281, 47 pF
C ₆₀₃ , C ₆₀₃	TE 003, 100 μF
C ₆₀₄ , C ₆₀₄	TE 005, 2 μF
C ₆₀₅ , C ₆₀₅	TE 004, 5 μF
C ₆₀₆ , C ₆₀₆	TC 180, 0,15 μF
C ₆₀₇ , C ₆₀₇ , C ₆₀₉ , C ₆₀₉	TC 235, 33 nF
C ₆₁₀ , C ₆₁₀	TE 988, 1 μF
C ₆₁₁ , C ₆₁₁	TK 750, 0,1 μF/40 V, keram.
C ₆₁₂ , C ₆₁₂	TC 235, 47 nF
C ₆₁₃ , C ₆₁₃	TC 180, 0,1 μF

Tranzistory

T₅₀₁ až T₅₀₈ (kromě dále uvedených) KC148 nebo pod.

T₅₀₅, T₆₀₅, T₆₀₇ BC158 nebo pod.

Diody

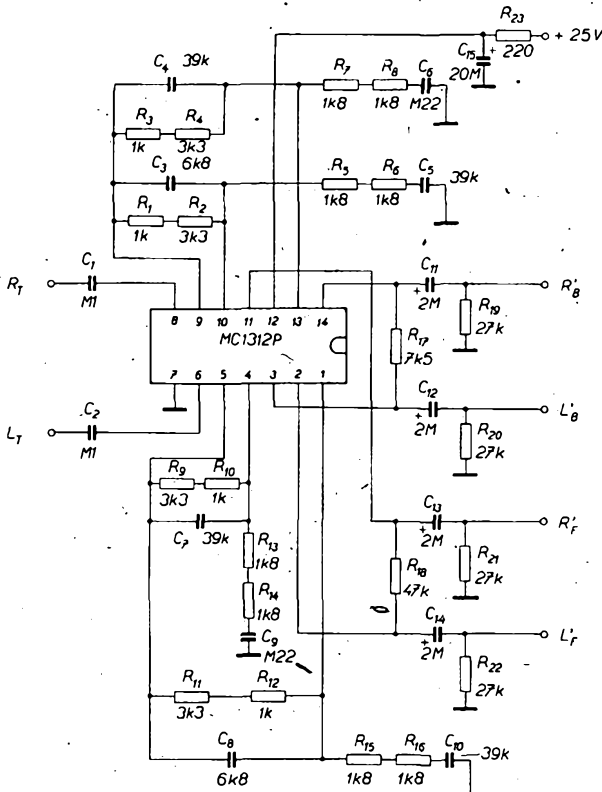
D₅₀₁ až D₆₀₇ KA206 nebo pod., viz text

3.3. Dekodér SQ s integrovanými obvodů

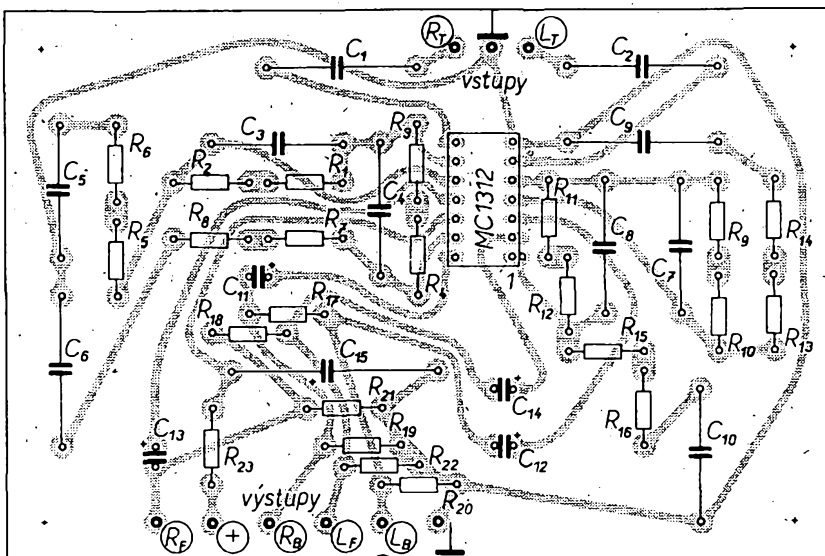
Ten, kdo se začetl do předchozích dvou kapitol, si jistě musel uvědomit, že kvadrofonní dekodér z diskrétních prvků je značně složité zařízení. Také v tomto oboru, jako v mnohajiných, dochází v současné době k rozsáhlé integraci, která velmi podstatně zjednoduší navrh i konstrukci obvodů i celých zařízení. Dekodér SQ v integrované formě vyrábí v současné době např. známá firma Motorola a to zvláště základní dekodér a zvláště logickou část, včetně dalších pomocných obvodů.

V základním dekodéru je použit integrovaný obvod MC1312P, který kromě pasivních prvků fázovacích členů obsahuje všechny ostatní obvody dekodéru, včetně směšo-





Obr. 42. Schéma základního dekodéru SQ s integrovaným obvodem a se směšováním 10-40



Obr. 43. Deska s plošnými spoji K223 základního dekodéru

vací matici. Tím se podstatně zjednoduší celá konstrukce dekodéru. Schéma základního dekodéru s obvodem MC1312P je na obr. 42. Fázovací obvody, připojené k vývodům 1, 4, 5 a 9, 10, 13 integrovaného obvodu zaručují v pásmu 100 Hz až 10 kHz toleranci fázového posuvu $\pm 8,5^\circ$. Mezi výstupy předních a zadních kanálů jsou zapojeny odpory R_{17} a R_{18} , realizující směšování 10-40. Integrovaný obvod je v pouzdru DIL (dual-in-line) se čtrnácti vývody.

Stavba tohoto základního dekodéru je jednoduchá a bez základnosti. Deska s plošnými spoji ze strany součástek je na obr. 43. Ve fázovacích obvodech jsou opět použity dvojice sériově spojených odporů z řady E 12 místo odporů z řady E 24. Všechny odpory kromě R_{19} a R_{23} by mely mít toleranci 5 %.

Stejnou toleranci by mely mít i kondenzátory C_3 až C_{10} . Tolerance ostatních součástek jsou $\pm 20\%$, tolerance elektrolytických kondenzátorů -20 , $+100\%$.

Dekodér není vlastně ani třeba oživovat, je jen nutné dbát na to, aby napájecí napětí nebylo větší než 25 V (na přívodu 12 integrovaného obvodu; 25 V je maximální povolené napájecí napětí obvodu MC1312P). Měřit dekodér není při vybíraných součástkách třeba, kontrolovat pro jistotu lze směšovací poměry matic (bývají velmi přesné, tolerance je maximálně $\pm 0,2$ dB) a průběh fázového posuvu.

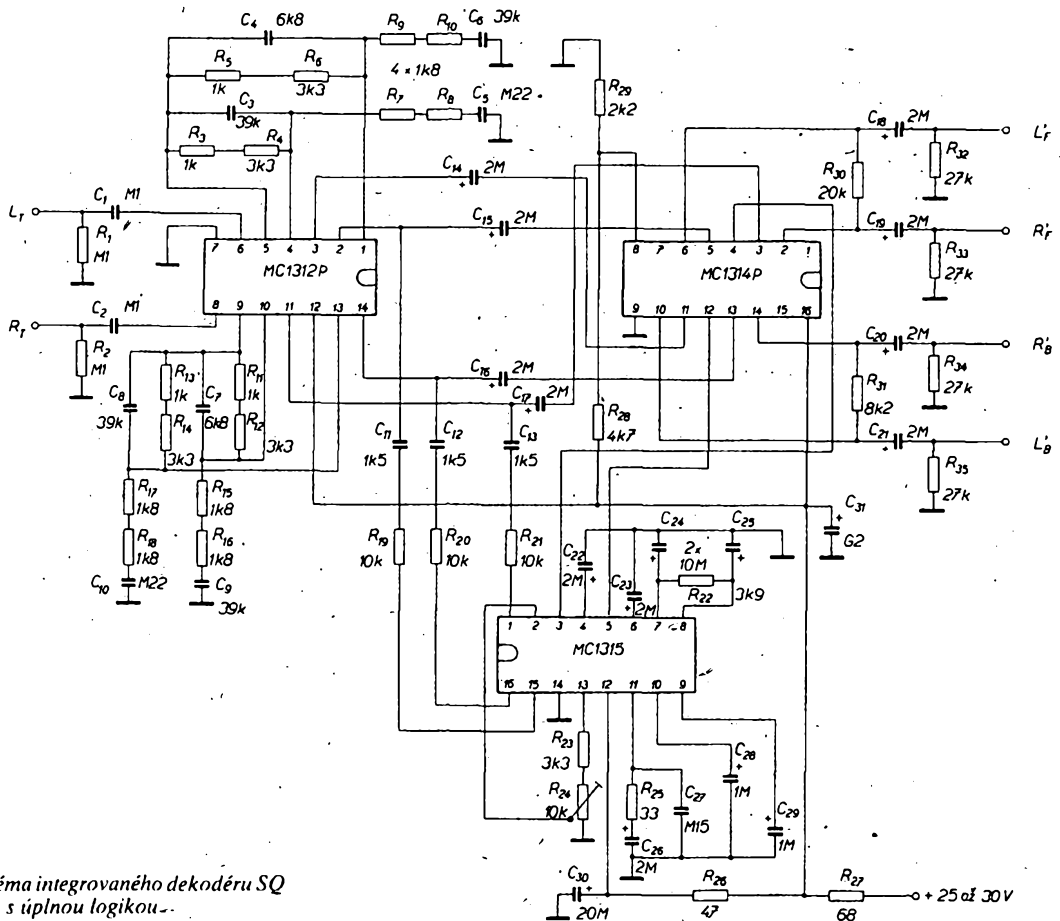
Dokonalejším typem dekodéru je zapojení, osazené třemi integrovanými obvody (opět od firmy Motorola). Zapojení dekodéru je na obr. 44. Jako základní dekódér je

opět použit typ MC1312P. Z tohoto obvodu se odebírají tři signály, nutné k činnosti tvarově srovnávací logiky a předozadní logiky. Signály se vedou na integrovaný obvod MC1315; jsou kmitočtově omezeny členy RC, tvořenými odpory R_{19} , R_{20} a R_{21} a kondenzátory C_{11} , C_{12} a C_{13} . Integrovaný obvod MC1315 obsahuje všechny obvody předozadní a tvarově srovnávací logiky a na jeho výstupech 3 a 5 je dvojice stejnosměrných řídicích napětí k řízení zisku zesilovačů signálů předních a zadních kanálů. Tímto dekodérem se tedy neřídí u předozadní logiky přeslechy, jako např. v dekodéru popsaném v kapitole 3.2, ale zisk v příslušných kanálech tak, jak je to u tvarově srovnávací logiky jedině možné.

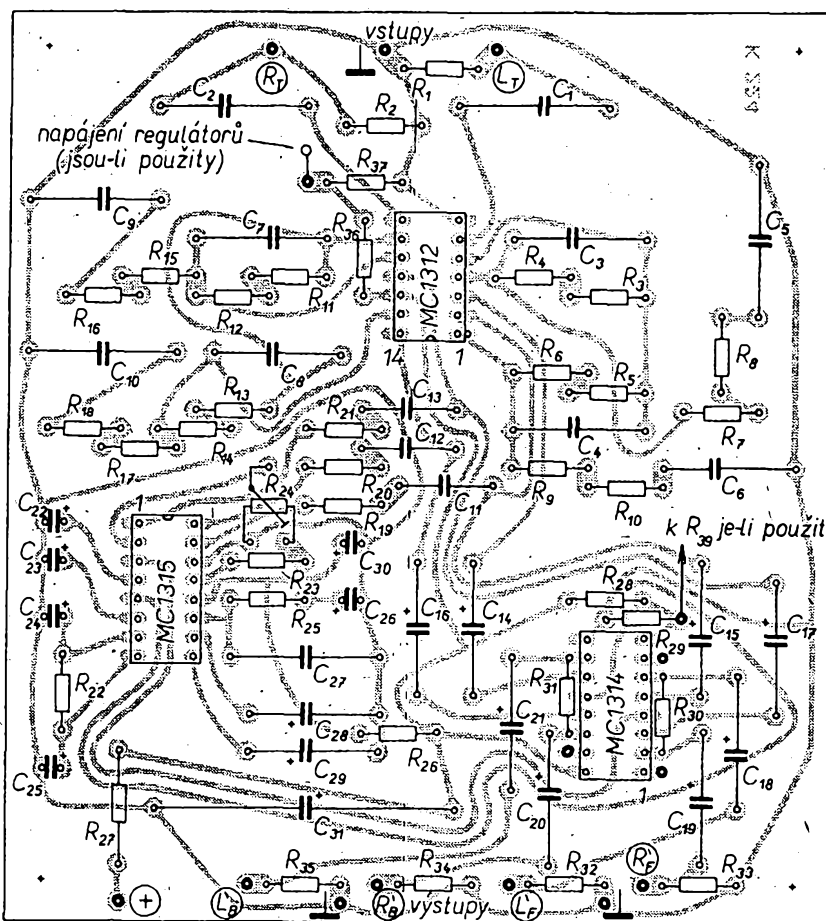
Za zmínku stojí ještě potenciometr, připojený k vývodu 13 integrovaného obvodu. Tímto potenciometrem lze nastavit přeslechy mezi jednotlivými kanály od základních, tj. -3 dB, -3 dB, nekonečno, až do maximálních, nejlepších, tj. -20 až -22 dB mezi všemi čtyřmi kanály (miněno zpředu dozadu a naopak). Lze jím tedy, stručně řečeno, nastavovat míru kvadrofonního účinku. Ten to potenciometr (jeho hřídel) se často vyvádí na panel jako samostatný ovládací prvek. Autorovi se však toto řešení neosvědčilo. Lepší bylo nastavit přeslehy trvale na velikost asi 13 až 15 dB. Rozhodně se tím méně uškodi jakékoli kvadrofonní nahrávce, než „kroucením“ knoflíkem ve snaze o maximální přeslechy, nebo naopak o co největší podíl hudby ze zadu. Proto je v dekodéru, jehož deska s plošnými spoji je na obr. 45, použit pouze odporový trimr. Nic však nebrání tomu, použit místo trimru potenciometr. Přívody k potenciometru není třeba stínit.

Obvod MC1314P obsahuje čtyři výstupní zesilovače s řízeným ziskem. Na něj se přivádí jak řídicí napětí z obvodu MC1315, tak i čtyři dekodované kvadrofonní signály z obvodu MC1312P. Na čtyřech výstupech obvodu MC1314P jsou již kompletně dekodované signály upravené řídicí logikou. Skutečností je, že ani oba typy logiky nezaručují dokonalou reprodukci kvadrofonního signálu, a že je vhodné použít ještě „pevné“ směšování jako u základního dekodéru. K tomu slouží odpory R_{30} a R_{31} na výstupech MC1314P.

Integrovaný obvod MC1314P může mít ještě jednu, velmi praktickou funkci. Může totiž sloužit jako elektronický regulátor hlasitosti a vyvážení, balance. Výhody z toho plynoucí jsou zřejmé: vždyť např. jako regulátor hlasitosti je možno použít jednoduchý potenciometr místo čtyřnásobného, stejně tak i regulátorů vyvážení. Alternativní zapojení a vyvážení je na obr. 46. Chceme-li toto zapojení použít, musíme z původního zapojení (obr. 44) vypustit odpory R_{28} a R_{29} a do desky s plošnými spoji umístit odpory R_{36} a R_{37} . Pro oba odpory je na desce s plošnými spoji dostatek místa. Odpor R_{38} je třeba připájet k potenciometru R_{40} . Dále je nutno k vývodům 1, 7, 8 a 15 integrovaného obvodu MC1314P připájet pájecí špičky (např. z drátu o $\varnothing 1$ mm, díry pro ně jsou v desce s plošnými spoji) a potenciometry připojit podle schématu na obr. 46. Přívody k potenciometrům není třeba stínit. Potenciometry balance jsou lineární, hlasitosti logaritmický, v ověřované konstrukci vyhověly i potenciometry 22 k Ω . Rozsah regulace hlasitosti je 60 dB s odchylkami od souběhu maximálně 3 dB. Jedinou nevýhodou tohoto uspořádání je, že nelze použít fyziologickou regulaci zesílení (na trhu jsou však i integrované obvody, které umožňují fyziologickou regulaci zesílení, jde o výrobky firem Philips a Valvo).



Obr. 44. Schéma integrovaného dekodéru SQ s úplnou logikou.



Obr. 45. Deska s plošnými spoji K224 integrovaného dekodéru s úplnou logikou

Oživení a nastavení kompletního dekodéru je opět velmi jednoduché. Zase musíme dbát, aby napájecí napětí (na kondenzátoru C₃₁) nebylo větší než 25 V. Na vstup dekodéru připojíme generátor signálu SQ a přepínáním L_F, L_B, nebo R_F, R_B nastavíme přeslechy trimrem R₂₄ (nebo potenciometrem, jehož hřídel je vyveden na panel, viz poznámku dříve) asi na 15 dB (nebo podle libosti). Dále můžeme kontrolovat fázový průběh obdobně jako v kapitole 3.1. Dekodér je možno nastavit i s použitím tónového generátoru a milivoltmetru tak, že přivedeme signál 0,5 V, 1000 Hz na vstup L_T nebo R_T a na výstupech L'_B nebo R'_B nastavíme požadovanou velikost přeslechu trimrem R₂₄. Hotový dekodér je na obr. 47.

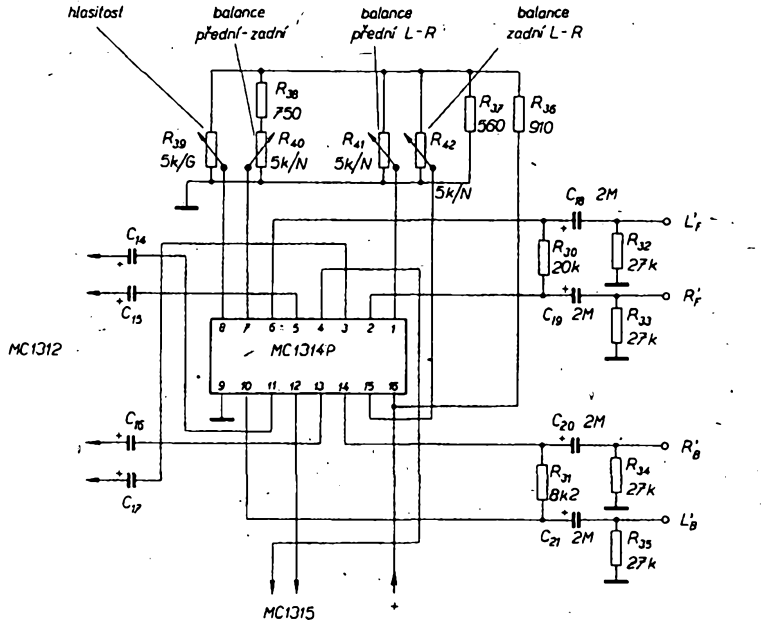
Celý dekodér má vstupní impedanci (ne-uváží-li se odpory R₁ a R₂) asi 2 MΩ a výstupní impedanci asi 2 kΩ, nelineární zkreslení je 0,1 % při vstupním napětí 0,5 V a maximálně 1 % při vstupním napětí 2 V. Při provozu dekodéru nesmíme být překvapeni tím, že jsou integrované obvody relativně dosti teplé. Celý dekodér má spotřebu asi. 60 až 80 mA, což při napájecím napětí 20 V znamená ztrátový výkon zhruba asi 1 W – a to se musí nějak projevit. Rozhodně není oteplení IO známkou nějaké závady.

Seznam součástek

Základní dekodér

Odpor (vesměs TR 112a)

R ₁ , R ₂ , R ₁₀ , R ₁₂	1 kΩ/B
R ₃ , R ₄ , R ₅ , R ₁₁	3,3 kΩ/B
R ₆ , R ₇ , R ₈ , R ₉	
R ₁₃ , R ₁₄ , R ₁₅ , R ₁₆	1,8 kΩ/B
R ₁₇	7,5 kΩ/B
R ₁₈	47 kΩ/B
R ₁₉ , R ₂₀ , R ₂₁	
R ₂₂	27 kΩ/A
R ₂₃	220 Ω



Obr. 46. Alternativní zapojení MC1314 s řízením hlasitosti a s balancí

Obr. 47. Integrovaný dekodér SQ s úplnou logikou a s regulátory hlasitosti a vyvážení je na 2. str. obálky

Kondenzátory

C_1, C_2	TC 180, 0,1 μ F
C_3, C_4	TC 281, 6,8 nF/B
C_5, C_6, C_7, C_{10}	TC 235, 39 nF/B
C_8, C_9	TC 180, 0,22 μ F/B
$C_{11}, C_{12}, C_{13}, C_{14}$	TE 005, 2 μ F
C_{15}	TE 986, 20 μ F

Integrovaný obvod

Motorola MC1312P

Dekodér s logikou

Odpory (vesmír TR 112a)

R_1, R_2	0,1 M Ω
R_3, R_5, R_{11}, R_{13}	1 k Ω /B
R_4, R_6, R_{12}, R_{14}	3,3 k Ω /B
$R_7, R_8, R_9, R_{10}, R_{15}, R_{16}, R_{17}$	
R_{18}	1,8 k Ω /B
R_{19}, R_{20}, R_{21}	10 k Ω /B
R_{22}	3,9 k Ω /A
R_{23}	3,3 k Ω
R_{24}	trimr TP 009, 10 k Ω
R_{25}	33 Ω /A
R_{26}	47 Ω
R_{27}	TR 144, 68 Ω
R_{28}	4,7 k Ω
R_{29}	2,2 k Ω
R_{30}	20 k Ω /B
R_{31}	8,2 k Ω /B
$R_{32}, R_{33}, R_{34}, R_{35}$	27 k Ω /A
R_{36}	910 Ω
R_{37}	560 Ω /B
R_{38}	750 Ω /B

Kondenzátory

C_1, C_2	TC 180, 0,1 μ F
C_3, C_4, C_6, C_8	TC 235, 39 nF/B
C_5, C_7	TC 281, 6,8 nF/B
C_9, C_{10}	TC 180, 0,22 μ F/B
C_{11}, C_{12}, C_{13}	TC 218, 1,5 nF/B
$C_{14} až C_{17}$	TE 986, 2 μ F
C_{18}, C_{23}, C_{26}	TE 005, 2 μ F
C_{24}, C_{25}	TE 005, 10 μ F
C_{27}	TC 180, 0,15 μ F
C_{28}, C_{29}	TE 988, 1 μ F
C_{30}	TE 005, 20 μ F
C_{31}	TE 986, 200 μ F

Potenciometry (libovolné typy, z otočných např. TP 280, z tahových TP 601, TP 610)

R_{39}, R_{41}, R_{42} 5 k Ω , logaritmický
5 k Ω , lineární

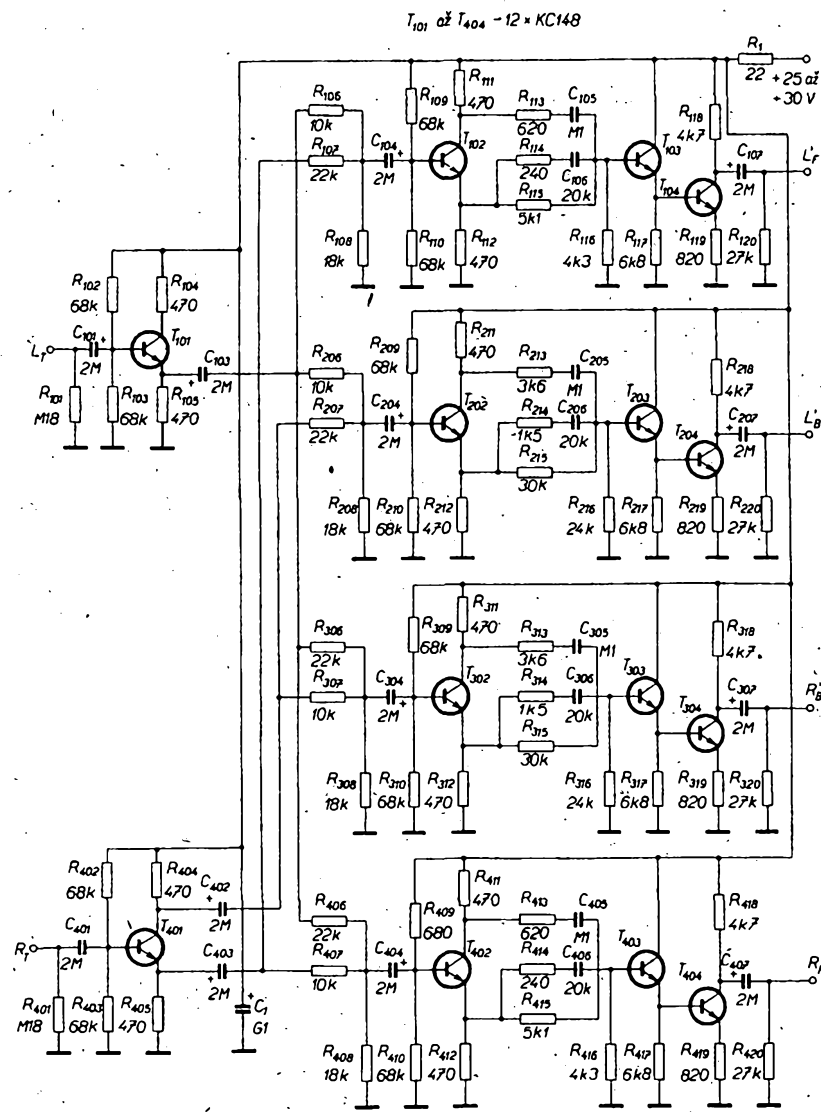
Integrovaný obvod

Motorola MC1312P
Motorola MC1314P
Motorola MC1315

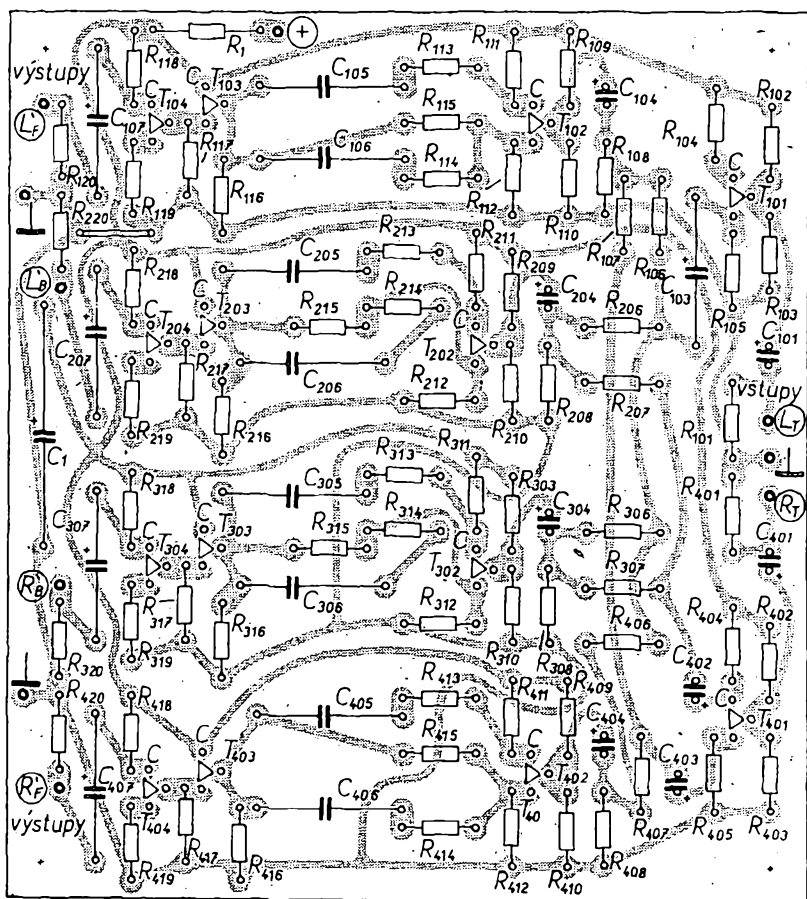
3.4. Jednoduchý dekodér QS

Již v obecném popisu systémů jsme si řekli, že sice budeme preferovat systém SQ, protože v tomto systému budou kódovány československé kvadrofonní desky, ale že ve světě existuje také značné množství desek, kódovaných systémem QS Sansui (mohou být označeny i jako RM – Regular Matrix). Je tedy vhodné, především v amatérských konstrukcích, počítat jednak s možností připojit k zesilovači i dekodér QS, a jednak s konstrukcí tohoto dekodéra. V této kapitole bude popsána konstrukce základního dekodéra QS, jehož schéma zapojení je na obr. 48. Vzhledem k dosud omezeným možnostem získání desek QS nepovažujeme za nutné zabývat se v této době dekodérem Variomatrix pro jeho neúměrnou složitost vzhledem k počtu dostupných desek.

A nyní k vlastnímu zapojení dekodéru QS. Tranzistory T_{101} a T_{401} slouží jednak k impedančnímu přizpůsobení směšovací matici a jednak (a to především) jako zdroj signálu s posuvem fáze 180°, někdy k dekódování signálu QS. Vlastní směšovací matici tvoří



Obr. 48. Schéma zapojení jednoduchého dekodéru QS



Obr. 49. Deska s plošnými spoji K225 jednoduchého dekodéru QS

Obr. 50. Osazená deska z obr. 49 je na 2. str. obálky

odpory R_{106} , R_{107} , R_{108} až R_{406} , R_{407} a R_{408} . Na bázích tranzistorů T_{102} až T_{402} (tj. T_{102} , T_{202} , T_{302} a T_{402} , viz pozd. dříve) jsou již dekódované signály QS, avšak se špatnými fázovými vztahy. Zmíněné čtyři tranzistory spolu s příslušnými odpory a kondenzátory tvoří obvody k posuvu fáze, za nimiž mají signály QS již definitivní podobu. Obvody k posuvu fáze jsou, jak si jistě mnohý všiml, stejně jako u základního dekodéru SQ, popsaného v kapitole 3.1. Zaručují tedy fázový posuv 90° v pásmu 100 Hz až 10 kHz s tolerancí $\pm 12^\circ$.

Za témito obvody následují oddělovací stupně, tvořené emitorovými sledovači s T_{103} až T_{403} . Na výstupu dekodéru jsou čtyři zesilovací stupně s T_{104} až T_{404} . Ty využívají útlum směšovací matice a fázovacích článků (asi 16 dB) tak, aby se celkové zesílení dekodéru rovnalo přibližně jedné.

Pokud jde o ostatní technické vlastnosti dekodéru, jako je kmitotový průběh, odstup atd., platí o dekodéru QS totéž, co bylo řečeno o základním dekodéru SQ v kapitole 3.1.

Dekodér QS je navržen na desce s plošnými spoji podle obr. 49. Deska má stejný rozměr, jako deska dekodéru SQ. Stejně jsou i základní upevnovací díry, rovněž je nutné vytvořit připojovací body pomocí dutých nýtků nebo pájecích špiček. Součástky do směšovací matice je třeba vybírat s tolerancí minimálně 5 %, stejně i součástky do fázovacích členů. Tranzistory je možno použít bez výběru, a mohou to být jakékoli typy z řady KC.

Hotový dekodér (obr. 50) lze měřit stejně, jako dekodér SQ, i když se pochopitelně musí nastavovat jiné amplitudové a směšovací vztahy. Při měření můžeme jako vstupní signál použít signál tónového generátoru nebo generátoru signálu QS. K výstupu dekodéru připojíme milivoltmetr a osciloskop. Vhodnější je tentokrát začít běžným tónovým generátorem. Připojíme ho na vstup L_T a kontrolujeme, zda je při vstupním signálu 0,5 V, 1000 Hz na výstupech L'_F a L'_B napětí stejné úrovně, s tolerancí 0,5 dB. Pak výstupní napětí generátoru zvětšujeme a na osciloskopu pozorujeme tvar sinusovky, která nesmí být zkreslená až do výstupního napětí asi 2 až 2,5 V při napájecím napětí 30 V. Tento postup opakujeme i pro pravé kanály při přepojení generátoru na vstup R_T .

Dále nastavíme napětí generátoru (připojeného ke vstupu R_T) tak, aby na výstupech R'_F a R'_B bylo napětí 0,5 V. Měříme napětí v kanálech L'_F a L'_B , které musí být 0,207 V. Tolerance je opět maximálně 0,5 dB. Tento postup opakujeme i opačně, tj. signál 0,5 V, 1000 Hz připojíme do L_T , nastavíme v L'_F a L'_B napětí 0,5 V a měříme napětí v R'_F a R'_B – musí být 0,207 V s tolerancí 0,5 dB.

Ke kontrole zesílení dekodéru potřebujeme zakódovaný signál QS; tedy generátor signálu QS. Generátor je popsán v kapitole 5.2. Přivedeme-li na vstupy dekodéru zakódovaný signál (např. na L_F), který má na vstupu L_T amplitudu 0,5 V a na vstupu R_T 0,207 V, měli bychom dostat na výstupu L'_F výstupní napětí o amplitudě asi 0,5 V. Vzhledem k nepatrným odchylkám oproti stavu, kdy se budí pouze jeden kanál, není se třeba touto kontrolou příliš zabývat.

Naproti tomu se bez generátoru signálu QS neobejdeme při kontrole přeslechů deko-

déru. Chceme-li je kontrolovat, volíme jako vstupní signály postupně všechny rohové signály (zakódované QS) a na výstupu měříme přeslechy, které by měly být v protilehlém kanálu větší než 20 dB (teoreticky žádné) a v postranních kanálech 3 dB s tolerancí asi 0,5 dB. Tedy např.: zvolíme na generátoru zakódovaný signál R_F a měříme přeslech, který musí být na výstupu L'_B minimálně 20 dB a v L'_F a R'_B asi 3 dB. V ostatních kanálech postupujeme analogicky.

Sředové přeslechy z C_F do C_A a naopak musí být asi 7,7 dB (menší odchylky nejsou na závadu). Na závěr měření lze kontrolovat fázový posuv v závislosti na kmitotu. Fázový posuv by měl být (mezi výstupy L'_F a L'_B , popř. R'_F a R'_B) v tolerancích, uvedených na začátku této kapitoly. Při měření L'_F a L'_B budíme z tónového generátoru kanál L_T a naopak.

Seznam součástek

Odpory (vesměs TR 112a, kromě R_1)

R_1	TR 144, 22 Ω
R_{101}, R_{401}	0,18 MΩ/A
$R_{102}, R_{402}, R_{403}$	
$R_{103}, R_{109}, R_{110}$	
$R_{109}, R_{210}, R_{209}$	
$R_{110}, R_{409}, R_{410}$	68 kΩ/A
R_{111}, R_{401}	0,18 MΩ/A
$R_{112}, R_{405}, R_{414}$	
$R_{113}, R_{111}, R_{112}$	
$R_{111}, R_{112}, R_{111}$	
$R_{112}, R_{111}, R_{112}$	470 Ω/B
$R_{106}, R_{204}, R_{207}$	
R_{407}	10 kΩ/B
$R_{107}, R_{207}, R_{306}$	
R_{406}	22 kΩ/B
$R_{108}, R_{208}, R_{308}$	
R_{405}	18 kΩ/B
R_{113}, R_{413}	620 Ω/B
R_{213}, R_{313}	3,6 kΩ/B
R_{114}, R_{414}	240 Ω/B
R_{115}, R_{415}	5,1 kΩ/B
R_{215}, R_{315}	30 kΩ/B
R_{116}, R_{416}	4,3 kΩ/B
R_{216}, R_{316}	24 kΩ/B
$R_{117}, R_{217}, R_{317}$	
R_{417}	6,8 kΩ
$R_{118}, R_{218}, R_{318}$	
R_{418}	4,7 kΩ/A
$R_{119}, R_{219}, R_{319}$	
R_{419}	820 Ω/A
$R_{220}, R_{320}, R_{420}$	
R_{420}	27 kΩ/A

Kondenzátory

C_1	TE 986, 100 μF
$C_{101}, C_{404}, C_{204}$	
$C_{102}, C_{402}, C_{202}$	
C_{103}, C_{403}	TE 005, 2 μF
$C_{104}, C_{404}, C_{204}$	
C_{105}, C_{405}	TE 986, 2 μF
$C_{106}, C_{406}, C_{206}$	
C_{107}, C_{407}	TE 180, 0,1 μF/B
$C_{108}, C_{408}, C_{208}$	
$C_{109}, C_{409}, C_{209}$	TC 235, 20 nF/B

Tranzistory

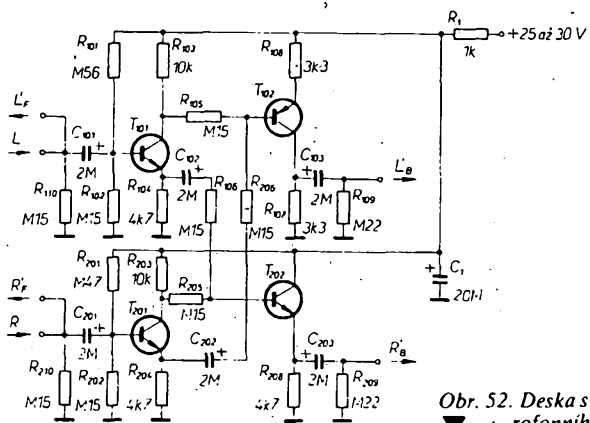
T_{101} až T_{401}	KC148 nebo pod.
------------------------	-----------------

3.5. Dekodér pro pseudokvadrofonii

Z mnoha jednoduchých i složitějších zapojení bylo nakonec zvoleno zapojení, které je na obr. 51. Je to jednoduchá matici bez posuvu fáze, poslechové výsledky jsou však vcelku dobré. Dekodér podle obr. 51 vytváří jednotlivé kanály podle následujících rovnic:

$$L'_F = L; L'_B = L - 0,5R; \\ R'_F = R; R'_B = -R + 0,5L.$$

Jedná se tedy o celkem běžnou rozdílovou matici a to s jednou změnou – u zadních kanálů jsou rozdílové signály ve fázi, což v některých případech přispívá k posuvu rozdílového zvukového obrazu směrem dozadu.



Obr. 51. Schéma pseudokvadrofonního dekodérů

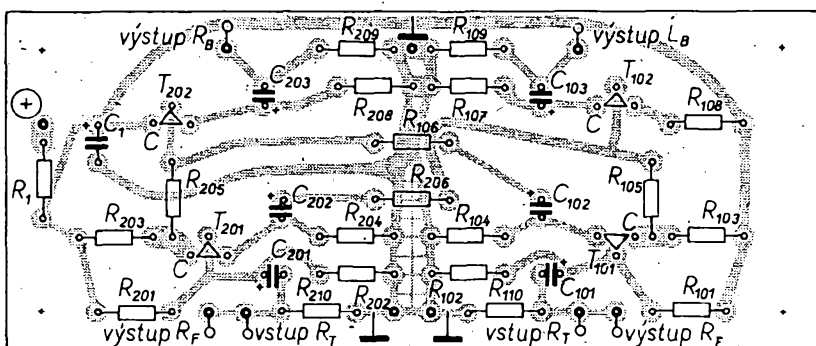
mohlo zdát někomu zbytečně složité, je však ověřeno v praxi, že jednodušší zapojení bez možnosti regulace dávají horší výsledky, s nimiž jsou posluchači obvykle zklamáni.

Prepínac P_1 na obr. 54 slouží k regulaci hlasitosti zadních kanálů, pracuje tedy jako regulátor předozadního vývážení. Tento regulátor je velmi potřebný přede vším tehdy, sedí-li posluchač blíže k zadním reproduktórum. V poloze prepínáče na obr. 54 jsou zadní reproduktory vypnuti a reprodukce je pouze stereofonní. Prepínac P_{2a} pracuje jako regulátor přeslechů mezi předními a zadními kanály (podrobněji byla jeho funkce popsána v kapitole 2.7.). V poloze prepínáče, zakreslené na obr. 54, je oddělení zpředu dozadu největší, ve čtvrté poloze je reprodukce stejná vpředu i vzadu („dvakrát stereo“). Prepínac P_{2b} spolu s P_{1a} reguluje přeslechy mezi předními kanály. V daném zapojení je může, pochopitelně, pouze zhoršovat. To má však svůj význam: v předních kanálech se tím částečně ruší protifázové složky, které patří dozadu, přičemž zhoršení přeslechů mezi předními kanály není příliš velké. Jedná se tedy opět o zlepšení oddělení předních a zadních kanálů. Pro praktický provoz je třeba dodržet zásadu, že jsou-li odpojeny zadní kanály (reprodukujeme-li signál stereofonně), musí být prepínac P_1 ve čtvrté poloze, aby se nezhoršovaly přeslechy.

Po konstrukční stránce je přípravě jednoduchý, přepínače, odpory i výstupní konektory jsou umístěny v bakelitové krabičce B6, která je běžně dostupná. Regulace přepínače je sice hrubá, ale mnohem jednodušší, než regulace potenciometry. Potenciometry by totíž musely být (alespoň na místě Pr.) tandemové a na zatížení asi 6 W – takové se nejen nesnadno shánějí, ale v provedení jako tandemové nejsou u nás vůbec k dostání.

Hotový přístroj je na obr. 55. Výkres mechaniky snad není třeba – do bočních stěn (v našem případě jsou to kratší strany krabičky) vyvrátíme a vypilujeme díry pro přívodní šňůry, do jedné z delších stran díry pro výstupní konektory. Přepínače lze použít libovolné, nejlépe nějaké robustnější typy, rozhodně se vyhneme miniaturním přepínačům (přenáší se značný výkon). Drátové odpory jsou připájeny přímo k vývodům přepínačů, které jsou upraveny tak, aby jejich ovládací hřídele byly vyvedeny horní stranou skříňky. Pro usnadnění obsluhy je skříňka opatřena kovovými (nebo jinak provedenými) štítky s popisem výstupních konektorů, funkci a poloh přepínačů. Rovněž by měly být označeny přívodní šňůry (nejlépe na konektorech; R, L apod.). Trvanlivé označení získáme symboly na kouscích papíru, které jsou ke konektoru přilepeny Isolepou, kterou obtočíme kolem konektoru ale spoň dvakrát – Isolepa drží totiž nejlépe sama na sobě. Zespodu je krabička uzavřena původním papírovým víčkem, s nímž se prodává. Pečlivější konstrukčtí mohou dno opatřit přiměřenými nožkami.

Obr. 52. Deska s plošnými spoji pseudokvadratofonního dekodéru (K226)



Dekodér je navržen na desce s plošnými spoji podle obr. 52. Na obou vstupech jsou pájecí špičky (nebo nýtky) i pro přední kanály (viz schéma) proto, že je třeba zachovat jednotnost propojení s „pravými“ kvadrifonnými dekodéry.

Některé odpory je třeba vybírat s tolerancí 5 % (viz seznam součástek). Tranzistory jsou opět libovolné typy n-p-n z řady KTC, tranzistor T_{102} je vodivostí p-n-p. Lze použít libovolný tranzistor z řady BC nebo KF517B.

Při měření dekodéru kontrolujeme vlastně pouze zesílení které by opět mělo být zhruba rovno jedné, popř. 0,5 (tj. ze vstupu L do L' a z R do R' je zesílení jedna, z L do R' a z R do L' je zesílení 0,5). Dále zkонтrolujeme maximální amplitudu výstupního napětí na obou výstupech zadních kanálů, která by měla být při napájení napětím 30 V minimálně asi 2,5 až 3 V. Fotografie hotového pseudokvadrofonického dekodéru je na obr. 53.

Obr. 53. Osazená deska pseudokvadrofonního dekodéru je na 2. straně obálky

Seznam součástek

Odpory (vesměs TR 112a)

R_1	1 k Ω
R_{101}	0,56 M Ω /A
R_{201}	0,47 M Ω /A
R_{102}, R_{202}	0,15 M Ω /A
R_{103}, R_{203}	10 k Ω /B
R_{104}, R_{204}	4,7 k Ω /B
$R_{105}, R_{106}, R_{205},$	
R_{206}	0,15 M Ω /B
R_{107}, R_{108}	3,3 k Ω /B
R_{208}	4,7 k Ω
R_{109}, R_{209}	0,22 M Ω
R_{110}, R_{210}	0,15 M Ω

Kondenzatory

C₁ TE 005. 20 μ F

Obr. 54. Zapojení reproduktorkové maticy, P_{1m} , P_{1b} – hlasitosti zadních kanálů, přepínače kreslen v poloze nulová hlasitos; P_{2a} , P_{2b} – přeslechy zpředu dozadu, přepínače v poloze maximální oddělení. Připojení k žesilovaci: kulatý kolík – živý vývod, plochý kolík – ekostra

Obr. 55. Pseudokvadrofonni reproduktorová
matica je na 2. str. obálky

Seznam součásťek

Krabíčka B6
přepínače P_1 a P_2 , 2x 4 polohy
výstupní reproduktorské konektory, 4 ks
konektory pětikolikové (zástrčky), 2 ks
propojovací vodidce - dvoulinka v PVC, YH 2x
0,75 mm² 1 m

Odpory (všechny 6 až 10 W, TR 511 nebo TR 611)

R_1, R_3	15 Ω
R_2, R_4	6,8 Ω
R_5	15 Ω
R_6	6,8 Ω
R_7	3,4 Ω (2x 6,8 Ω paralelně)
R_8	15 Ω
R_9	22 Ω
R_{10}	33 Ω

4. Kvadrofonní zesilovač

Čtyřkanálové zesilovače, používané v kvadrofonii, jsou značně složitá a nákladná zařízení. V počátcích kvadrofonie, zejména pseudokvadrofonických zařízení, se vedly dlouhé diskuse, mohou-li být pro zadní kanály použity zesilovače s menším výkonom, než jaký mají kanály přední a mohou-li být zadní reproduktory soustavy menší, než přední. I když se tyto diskuse vedou mnohde dodnes, zdá se být tato otázka vyřešena – ve všech kanálech se používají stejně jakostní výkonové zesilovače a stejně reproduktory soustavy. Důvod je prostý: kvadrofonní reprodukce má být (v ideálním případě) schopna vytvořit jakýkoli zvukový vjem v kterémkoli místě kruhové poslechové báze. Není možné, aby se např. při pohybu zdroje zvuku měnila barva zvuku, k čemuž by při nestejných reprodukčních cestách vpředu a vzadu jistě došlo. Proto musí být všechny reprodukční cesty stejné. Otázka výkonu není u kvadrofonických zesilovačů tak sledována, jak tomu bylo u stereofonních zesilovačů. V současné době snad ani jeden ze světových výrobců nabízí kvadrofonní zesilovač s větším výkonem na kanál než asi 25 W. Je to přirozené, neboť čtyři kanály společně představují výkon kolem 100 W a takový výkon již vyžaduje velmi rozumné součásti usměrňovače a stabilizátoru atd.

Kvadrofonní zesilovač má také více ovládacích prvků (vzhledem ke stereofonním zesilovačům), i když jde někdy jen o „z nouze“. Příkladem jsou regulátory hlasitosti a korekci. V dnešní době se u stereofonních zesilovačů používají oddělené regulátory pro levý a pravý kanál jen výjimečně. Naopak, u kvadrofonických zesilovačů je oddělená regulace pro přední a zadní kanály zcela běžná. Důvodem ovšem je pouze to, že čtyřnásobné potenciometry nejsou zdaleka tak běžné, jako potenciometry tandemové. Kdyby byla

oddělená regulace kanálů nutná (např. hloubek a výšek), pak by bezpochyby bylo na místě regulovat každý kanál zvlášť a nikoli pouze přední a zadní dvojici.

Jinou kapitolou je ovšem kvadrofonní regulátor vyvážení (balance). Ten musí být (a je vždy) relativně velmi složitý, neboť se jím využívají čtyři kanály vůči sobě.

V dalším textu bude popsán kvadrofonní zesilovač vyšší kategorie, splňující požadavky Hi-Fi. Výstupní výkon byl zvolen 4×15 W, což vyhoví bezpochyby prakticky všem požadavkům. Zapojení je co nejjednodušší, aby zesilovač nebyl příliš nákladný. Blokové schéma zesilovače je na obr. 56.

Vstupní zesilovač obsahuje dvoukanálovou část, v níž jsou vstupy pro výstup z magnetického přenosu, z krystalového přenosu, z tuneru a magnetofonu. K výstupu zesilovače lze připojit dva dekodéry, např. SQ a QS. Výstupy dekodérů jsou vedeny do čtyřkanálové části vstupního zesilovače, k níž lze připojit i diskrétní čtyřkanálový výstup, např. výstup z dekodéru CD-4 apod. Výstup je připojen ke druhému funkčnímu celku, regulátoru hlasitosti a ke korekcím.

Ovládání je pro všechny čtyři kanály společné, ovládací prvky jsou tedy pouze tři. Korekce jsou zpětnovazební, jednoduchého a osvědčeného zapojení. Mezi výstupy korekci a výstupy výkonových zesilovačů jsou zapojeny regulátory vyvážení, umožňující samostatně vyvážit přední a zadní kanály (balance F a balance B) a současně dvojice předních a zadních kanálů vůči sobě (balance F-B).

Dále následují čtyři výkonové zesilovače, z jejichž výstupů se napájejí reproduktory nebo sluchátka. Samostatným blokem je zdroj, rozdělený na část k napájení výkonových zesilovačů a stabilizovanou část k napájení napěťových zesilovačů a dekodérů.

Z blokového schématu i z popisu je vidět, že zesilovač má univerzální konцепci a že lze ho vlastně použít pro jakýkoli kvadrofonní systém (s použitím příslušného dekodéru) a také ke stereofonní reprodukci s odpojenými zadními kanály. Rozhodnete-li se pro

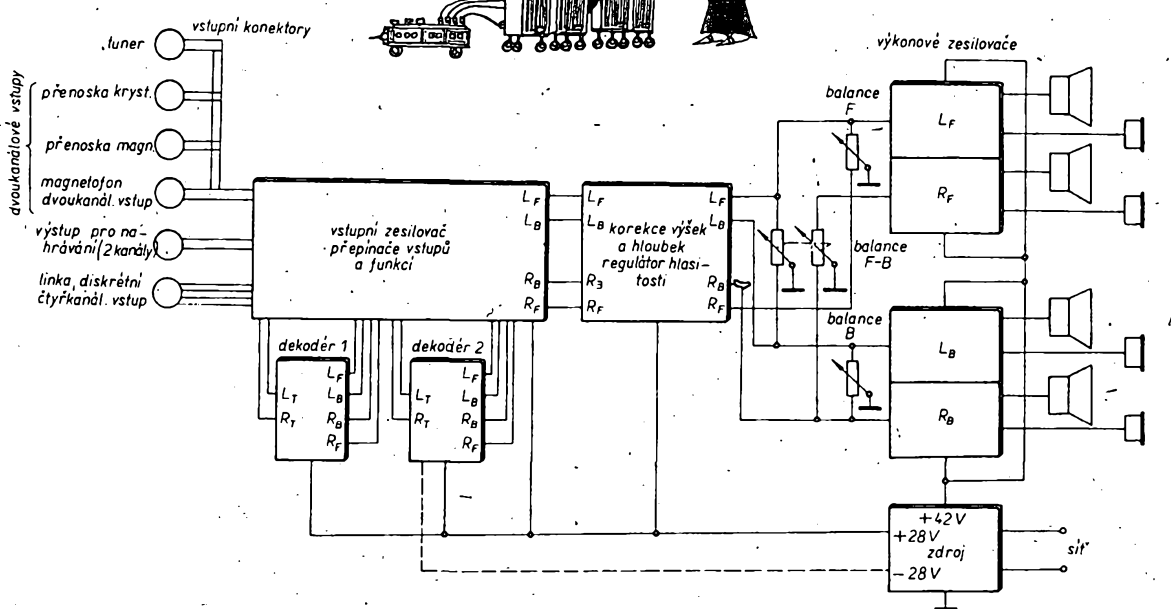
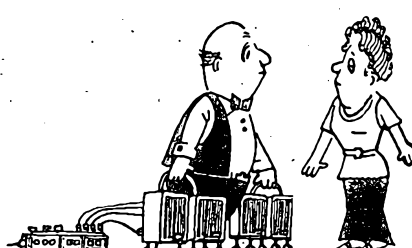
jeho stavbu, „vydrží“ vám jako základní článek reprodukčního řetězu velmi dlouho, bez ohledu na to, který z kvadrofonických systémů nakonec zvítězí a bude se používat celosvětově.

4. 1. Vstupní zesilovač

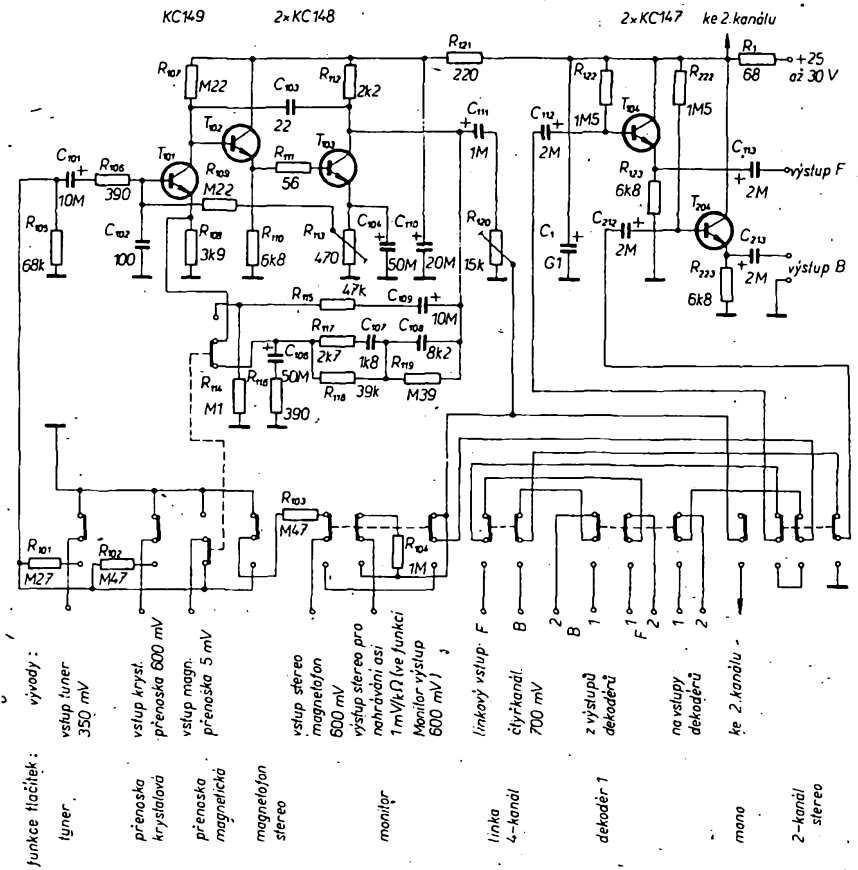
Na desce s plošnými spoji vstupního zesilovače je soustředěno několik funkčních celků. Je to jednak volič vstupů, jednak vstupní dvoukanálový zesilovač, dále volič funkci – mono, stereo, diskrétní kvadro, dekodér-1 a 2, monitor a konečně výstupní čtyřkanálový oddělovací stupeň. K této desce se připojují všechny vstupy i výstup pro nahrávání na magnetofon a dekodéry; na výstupu je úplný čtyřkanálový signál k dalšímu zpracování. Jak je zřejmé z obr. 57, je zapojení vlastních zesilovačů celkem běžné, složitá je však tlačítková souprava a propojení přepínačů. Přitom je na obr. 57 schéma pouze jednoho kanálu, vlastní dvojice kanálů. Kromě tlačítka „mono“ jsou tedy ve skutečnosti všechny zesilovače a kontakty tlačítkových přepínačů zdvojeny.

Vstupní sada čtyř vzájemně se vybavujících tlačitek je určena k volbě jednotlivých vstupů a připojuje vstupní signál k bázi tranzistoru T_{101} , popř. T_{401} . Nezapojené vstupy jsou uzemněny, aby jejich signály případně nerušily, nebo nezhoršovaly přeslechy. Citlivosti vstupů a jejich vstupní impedance odpovídají normám a zvyklostem. Přitom je velmi jednoduché upravit vstupní citlivost změnou odporu R_{101} nebo R_{102}, R_{103} (a současně $R_{401}, R_{402}, R_{403}$) podle potřeby. Vstup pro krystalovou přenosu by se mohl někomu zdát zbytečný, tímto vstupem jsou však běžně vybavovány i komerční přístroje. Existují totiž poměrně jakostní krystalové přenosy, které mohou s magnetickými pokud jde o parametry celkem úspěšně soutěžit, a které jsou však nesrovnatelně levnější. Kromě toho lze tohoto vstupu využít třeba k připojení druhého magnetofonu.

Za vstupní částí vstupního zesilovače následují třístupňové zesilovače s přepínatelnými korekciemi ve zpětné vazbě. Při postavení tlačitek jako je nakresleno na obr. 57 (je zsepnut vstup pro magnetickou přenosku), pracuje zesilovač jako korekční s kmitočtovou charakteristikou, určenou časovými konstantami 75, 318, 3180 a 5300 + 5300 μ s. První tři časové konstanty jsou běžné, poslední dvojice (poněkud neobvyklá) se začíná



Obr. 56. Blokové schéma kvadrofonického zesilovače



Obr. 57. Schéma zapojení jednoho kanálu vstupního zesilovače. (Tlačítko „přenoska magnetická“ stlačeno, ostatní tlačítka ve výchozí poloze.) Druhý kanál je identický, jeho součástky jsou značeny v rozpisce materiálu indexem 400 (R_{400} , T_{400} apod.), u dvojice výstupních tranzistorů indexem 300 pro zadní a 400 pro přední kanál. Společné pro oba kanály jsou R_1 , C_1 a tlačítko mono

v poslední době používat stále více. V praxi má záznam s touto časovou konstantou pokles směrem k nízkým kmitočtům od mezního kmitočtu 30 Hz se směrnicí 12 dB/oct. Ačkoli toto řešení naprostě nezměnuje jakost reprodukce, neboť signál o kmitočtu 20 Hz je potlačen asi o 6 dB, přináší dvě podstatné výhody: velmi značně zmenšuje hluk gramofonu (který je největší právě v oblasti kmitočtů, nižších než 20 Hz) a potlačuje přenos blikavého šumu vstupních tranzistorů, což zlepšuje odstup užitečného signálu od šumu asi o 10 dB. (Pozn. red. Nedominiváme se, že autorem uváděné výhody čtvrté časové konstanty jsou průkazné, neboť které z běžně používaných reproduktorových soustav mohou vyzářit, nebo vyžádat signály o kmitočtech kolem 20 Hz? Kromě toho i dolní mezní přenášený kmitočet nf zesilovačů bývá obvykle vyšší než 20 Hz.)

Obvody čtvrté časové konstanty jsou tvořeny články R_{113} , C_{104} a R_{120} , C_{111} , funkce obvodu je zachována i při přepnutí přepínače vstupu do jiné polohy (pro jiný vstupní signál). Při jiných vstupních signálech než je signál z magnetické přenosky se však mění zpětná vazba ve vstupním zesilovači a zesilovač má lineární zesílení v závislosti na kmitočtu (kromě onoho potlačení hlobek pod 20 Hz). Zesílení je asi 20 dB.

Výstup vstupního zesilovače je připojen k sadě tlačítek, umožňujících volit funkce přístroje. Prvním tlačítkem je nezávislé tlačítko (při prvním stisknutí sepne, při druhém rozpne) MONITOR. Není-li toto tlačítko stlačeno, přichází signál jednak přes odpory R_{104} (R_{404}) na výstup pro nahraňání na magnetofon (výstupní napětí asi 1 mV na 1 kΩ vstupní impedance záznamového zesilovače magnetofonu), a jednak na tlačítko

kanály, které odpojuje vstupní zesilovače i dekodéry a přímo na vstupy T_{104} až T_{404} připojuje ze zvláštního konektoru diskrétní čtyřkanálový signál. O součinnosti tohoto tlačítka s tlačítkem MONITOR bylo již pojednáno.

Na desce jsou umístěny i čtyři výstupní emitorové sledovače T_{104} až T_{404} , sloužící k impedančnímu přizpůsobení regulátoru hlasitosti, který je umístěn na desce korekci.

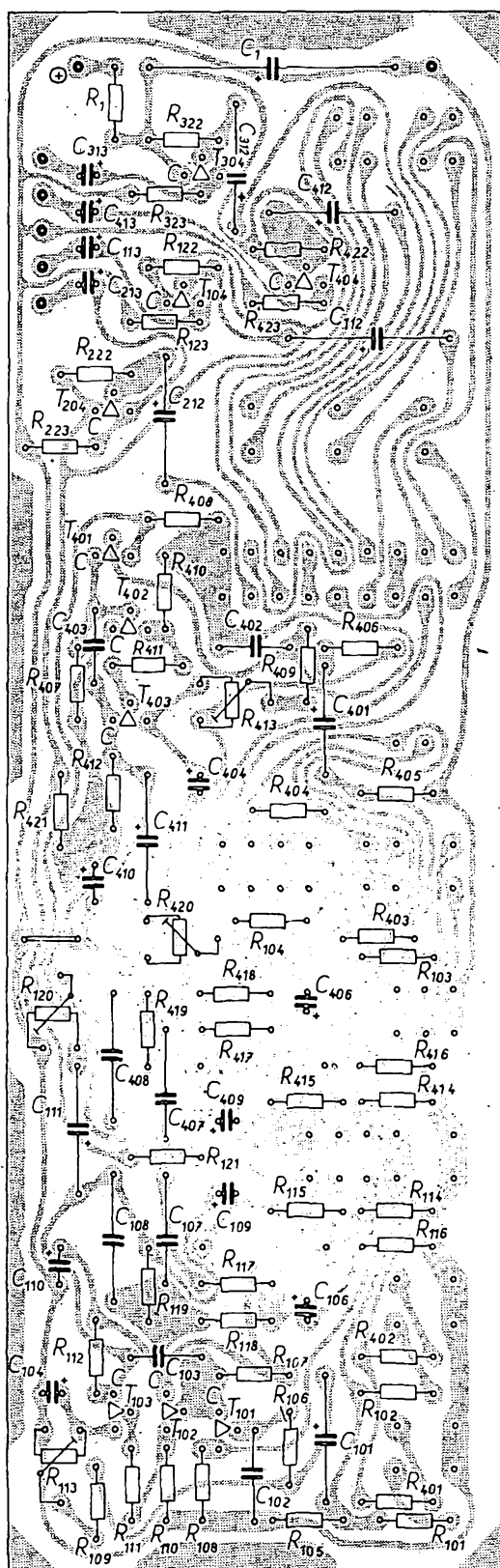
Deska s pološnými spoji vstupního zesilovače je na obr. 58. Všechna propojení mezi tlačítky a zesilovači jsou realizována plošnými spoji, je nutná pouze jedna drátová spojka. Díry pro součásti vtáhme vrtákem o Ø 1,3 mm, díry pro tlačítkový přepínač vrtákem o Ø 1,6 mm.

Na obr. 59 je nákres vlastní tlačítkové soupravy a všech vstupů a výstupů vstupního zesilovače. Do míst připojovacích bodů je opět vhodné připájet pájecí špičky. Tlačítková souprava je sestavena z přepínacích tlačítek Isostat polské výroby. Ze spodní strany tlačítkové soupravy je nutné odštípat ty vývody, pro něž nejsou v desce s plošnými spoji díry. Za provozu musí být deska i s tlačítky stíňena, což je v zesilovači řešeno víceúčelovými kryty. Pokud by někdo chtěl používat desku v jiné sestavě zesilovače, může si zhotovit stíňení z kousků Cuprexitu, které pak připájají k základní desce. K tomu účelu slouží ostrůvky měděné fólie v rozích a po stranách desky s plošnými spoji. Stíňení pak obvykle připojujeme na kostru celého zařízení, nikoli na zem vstupního zesilovače.

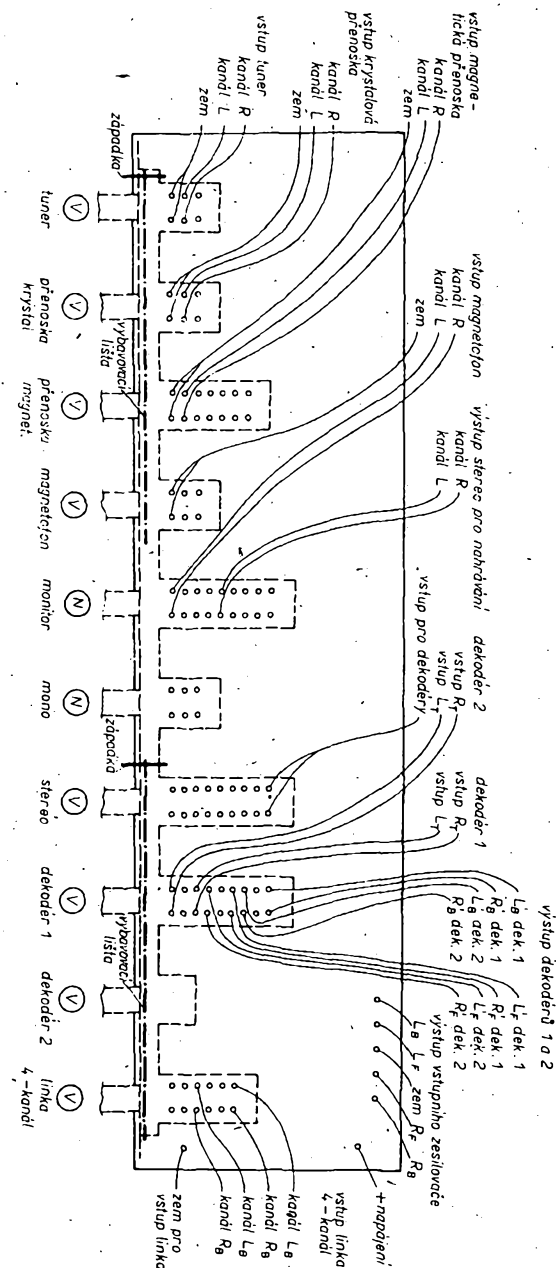
Uvedení do chodu je poměrně jednoduché, opět potřebujeme zdroj napájecího napětí asi 30 V, tónový generátor, nízkofrekvenční milivoltmetr a osciloskop. Trimry R_{113} , R_{413} a R_{120} , R_{420} nastavíme do střední polohy a připojíme napájecí napětí. Na tlačítku DEKODÉR 1 propojíme např. všechny vývody 1 a toto tlačítko stiskneme. Tím propojíme signál z výstupu T_{103} , T_{403} na přední i zadní výstupy desky. Na oba kanály vstupu TUNER (střední kolík prvního tlačítka) připojíme tónový generátor a tlačítko stiskneme. K libovolnému výstupu připojíme milivoltmetr a osciloskop. Na generátoru nastavíme výstupní napětí 350 mV, kmitočet 1 kHz. Na osciloskopu pozorujeme sinusovku, jejíž správný tvar nastavíme trimrem R_{113} , popř. R_{413} . Současně při tomto měření nastavíme běžce trimrů R_{120} a R_{420} do polohy, v níž je výstupní napětí maximální. Může se stát, že trimry R_{113} nebo R_{413} nelze zkreslení výstupního napětí odstranit. V tom případě změníme výstupní napětí trimry R_{120} (R_{420}). Zmizí-li zkreslení, je závada v obvodu emitorových sledovačů T_{104} až T_{404} , závadu odstraníme výměnou odporu R_{122} až R_{422} za jiný; vhodnou nahradu je třeba vyzkoušet. Po této kontrole změníme výstupní napětí generátoru opět na 350 mV a trimry R_{120} a R_{420} nastavíme na všech výstupech napětí 600 mV.

Dále přivedeme signál 5 mV, 1000 Hz na vstup pro magnetickou přenosku. Na všech výstupech by mělo být opět napětí 550 až 650 mV. Vstupní napětí pak zmenšíme na 1 mV a kontrolujeme kmitočtovou charakteristiku. Na kmitočtu 20 kHz by měl být signál menší asi o 18,5 dB, na 50 Hz větší asi o 16 dB. Od 50 Hz by se měl signál směrem k nižším kmitočtům zmenšovat, zprvu mírně a od 20 Hz velmi prudce. Údaje pro kmitočty 20 kHz a 50 Hz mohou být v toleranci 2 dB.

Tím je vstupní zesilovač nastaven. Můžeme ještě podle schématu zkontrolovat zapojení a funkci jednotlivých tlačítek, při pečlivé montáži to však není třeba. Hotový vstupní zesilovač bez stínicích krytů je na obr. 56.



Obr. 58. Deska s plošnými spoji K228, osazená součástkami. Tlačítková souprava není zakreslena, její zapojení je na obr. 59



Obr. 59. Tlačítková souprava a připojovací body vstupního zesilovače. Pohled na tlačítka ze strany součástek. Tlačítka jsou kreslená čárkovánem pouze pro lepší odlišení od připojovacích hradů. Západky a vyhavovací listy jsou kresleny pouze schematicky. Nezávislá tlačítka jsou označena N, vzájemně se vyhavující tlačítka přímenem V

Obr. 60. Holový vstupní zesilovač bez štínicího krytu je na 3. str. obálky

Seznam součástek

R ₁₂₂ , R ₂₂₂ , R ₃₂₂	1,5 MΩ
R ₁₂₃ , R ₂₂₃ , R ₃₂₃	6,8 kΩ

Odporu (vesměs TR 112a) a trimry

R ₁	68 Ω
R ₁₀₁ , R ₁₀₁	0,27 MΩ/A
R ₁₀₂ , R ₁₀₃ , R ₁₀₂	0,47 MΩ/A
R ₁₀₄ , R ₁₀₄	1 MΩ/A
R ₁₀₅ , R ₁₀₅	68 kΩ/A
R ₁₀₆ , R ₁₀₆	390 Ω/A
R ₁₀₇ , R ₁₀₇	0,22 MΩ
R ₁₀₈ , R ₁₀₈	3,9 kΩ/A
R ₁₀₉ , R ₁₀₉	0,22 MΩ
R ₁₁₀ , R ₁₁₀	6,8 kΩ
R ₁₁₁ , R ₁₁₁	56 Ω/A
R ₁₁₂ , R ₁₁₂	2,2 kΩ
R ₁₁₃ , R ₁₁₃	trimr TP 009, 470 Ω
R ₁₁₄ , R ₁₁₄	0,1 MΩ/A
R ₁₁₅ , R ₁₁₅	47 kΩ/A
R ₁₁₆ , R ₁₁₆	390 Ω/A
R ₁₁₇ , R ₁₁₇	2,7 kΩ/A
R ₁₁₈ , R ₁₁₈	39 kΩ/A
R ₁₁₉ , R ₁₁₉	0,39 MΩ/A
R ₁₂₀ , R ₁₂₀	trimr TP 009, 15 kΩ
R ₁₂₁ , R ₁₂₁	220 Ω

Kondenzátory	
C ₁	TE 986, 100 μF
C ₁₀₁ , C ₁₀₁	TE 986, 10 μF
C ₁₀₂ , C ₁₀₂	TC 281, 100 pF
C ₁₀₃ , C ₁₀₃	TC 281, 22 pF
C ₁₀₄ , C ₁₀₄	TE 002, 50 μF
C ₁₀₅ , C ₁₀₅	TE 002, 50 μF
C ₁₀₆ , C ₁₀₆	TC 281, 1,8 nF/A
C ₁₀₇ , C ₁₀₇	TC 281, 8,2 nF/A
C ₁₀₈ , C ₁₀₈	TE 005, 20 μF
C ₁₀₉ , C ₁₀₉	TE 005, 20 μF
C ₁₁₀ , C ₁₁₀	TE 988, 1 μF
C ₁₁₁ , C ₁₁₁	TE 986, 2 μF
C ₁₁₂ , C ₁₁₂ , C ₁₁₂	TE 986, 2 μF
C ₁₁₃	TE 005, 2 μF
C ₁₁₄ , C ₁₁₄ , C ₁₁₄	TE 986, 2 μF

Tranzistory

T₁₀₁, T₁₀₁ KC149 (KC509)

$T_{102}, T_{103}, T_{402},$
 T_{403} KC148 (KC508)
 $T_{104}, T_{204}, T_{304},$
 T_{404} KC147 (KC507)

Tlačítková souprava

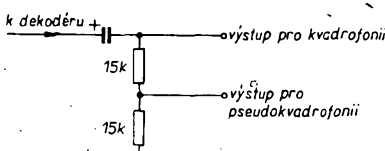
souprava Isostat, viz text a obr. 59

4. 2. Připojení dekodéru

Ke vstupnímu zesilovači z kapitoly 4.1. lze připojit všechny dekodéry, jejichž konstrukce byla popsána v kapitole 3. Dekodéry umisťujeme obvykle v blízkosti vstupního zesilovače a propojujeme je s ním stíněnými vodiči, které současně slouží jako záporný pól napájecího napětí dekodérů (kostra). Nejsou-li dekodéry umístěny v blízkosti napájecího sítového zdroje, není je třeba stínit. Dekodéry připojíme podle popisu v předchozí kapitole a podle obr. 57 k příslušným kolíkům tlačítkové soupravy. Stínění připojíme ke kostře předesilovače rovněž prostřednictvím uzemněných kolíků tlačítkové soupravy. Jinak nejsou s připojením dekodérů žádné problémy, problémy jsou spíše s jejich výběrem pro naši zesilovač. Vstupní zesilovač umožňuje připojit dva dekodéry, otázkou tedy je, které vybrat. Jedním z nich by měl být bezpochyby dekodér SQ, nejlépe s logikou. Druhým dekodérem by mohl být QS nebo pseudokvadrofonní dekodér. Přitom lze používat pro pseudokvadrofonní reprodukci také základní dekodér SQ a QS, což často výrobci těchto zařízení dělají. Jak jsme si ukázali v kapitole 2. 7., hodí se pro pseudokvadrofonní reprodukci prakticky bez úprav základní dekodér QS. Jeho nevýhodou jsou pouze větší přeslechy mezi L_F a R_F (asi 7,7 dB).

Ke pseudokvadrofonní reprodukci bývají využívány i dekodéry SQ. Výhodou je, že tyto dekodéry nezhoršují stranové přeslechy, ovšem výsledný dojem z reprodukce stereofonní nahrávky přes tento dekodér (tj. přes základní dekodér SQ) není valný. V reprodukci ruší relativně velká hlasitost zadních kanálů, a pak především přeslehy „přes úhlopříčku“. Proto se často základní dekodér upravuje tak, aby se hlasitost zadních kanálů zmenšila; zadní kanály pak pouze vytvářejí dojem pozadí a nepůsobí rušivě.

Úprava základního dekodéru je velmi jednoduchá (obr. 61). Spočívá v rozdělení



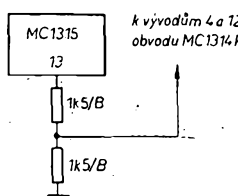
Obr. 61. Dělič ve výstupech zadních kanálů dekodéru SQ při použití pro pseudokvadrofonní reprodukci

odporu za výstupním elektrolytickým kondenzátorem na dva, které pracují jako dělič. Při reprodukci kvadrofonního signálu SQ používáme původní výstupy dekodéru, při pseudokvadrofonii použijeme v zadních kanálech výstupy z děličů. Celkový dojem z reprodukce je vcelku příznivý.

K dalším komplikacím dochází při použití dekodérů SQ s logikou pro pseudokvadrofonní reprodukci, protože logika nezádoucím způsobem posouvá zvukový obraz. Při tomto provozu je třeba jednak zmenšit úroveň zadních kanálů a jednak vypnout logiku. To znamená: u dekodéru s předeződní logikou

z kapitoly 3. 2. rozpojí body C a D mezi porovnávacím obvodem a obvody pro proměnné směšování. Přestože nemá tlačítková souprava žádné volné kontakty, lze úpravu realizovat tak, že na tlačítku DEKODÉR 1 propojíme kontakty pro výstupy L_T a R_T na dekodér 1 i 2 (obr. 57). Ke čtyřem kontaktům, realizujícím funkci DEKODÉR 1, připojíme přední i zadní výstupy dekodéru. U předních kanálů opět propojíme kontakty pro výstupy z dekodéru 1 i 2, kontakty zadních kanálů ve funkci DEKODÉR 2 připojíme na odpovídající děliče podle obr. 61. Tim bude při funkci DEKODÉR 2 zapojen dekodér SQ pro pseudokvadrofonii, zbyvá pouze vypnout logiku. To můžeme udělat tak, že místo tlačítka DEKODÉR 2, které je původně bez kontaktů, pouze vybavovací, použijeme tlačítka se dvěma prepínacími kontakty a kontaktní količíkem zespodu odštípněme. Shora potom můžeme zapojit kontakty k bodům C a D logiky tak, aby se při stláčení tohoto tlačítka rozpojily.

Také u dekodéru s úplnou logikou a s integrovanými obvody lze toto zapojení realizovat. Úroveň zadních kanálů zmenšíme obdobně, jako v předchozím případě. Logiku odpojíme odpojením spojů, které vedou na vývody 4 a 12 obvodu MC1314P od obvodu logiky MC1315 a jejich připojením na napětí asi 0,6 V (stejněsměrné napětí). Toto napětí je možno získat na obvodu MC1315P (špička 13) zapojením podle obr. 62. Tim je logika odpojena, všechny ostatní funkce obvodu MC1314P (regulace hlasitosti a vývážení) zůstávají zachovány.



Obr. 62. Zapojení, jímž lze vyřadit logiku integrovaného dekodéru SQ

4. 3. Korekce

Dalším funkčním celkem kvadrofonního zesilovače je deska s plošnými spoji, na níž je čtyřnásobný regulátor hlasitosti a korekce hloubek a výšky. Jednotlivé regulátory korekce jsou mechanicky propojeny a ovládají se pouze jedním knoflíkem (pro všechny čtyři kanály). Schéma jednoho ze čtyř kanálů je na obr. 63. Zbývající tři kanály jsou identické, v rozpisce součástek jsou jejich součástky uváděny s indexy 200, 300 a 400. Pro

všechny čtyři kanály jsou společné R_1 a C_1 v napájecí větví.

Signál ze vstupního zesilovače přichází nejprve na čtyřnásobný fyzioligický regulátor hlasitosti, z něho pak na emitorový sledovač, tranzistor T_{101} ($T_{201}, T_{301}, T_{401}$), který je použit proto, že obvod korekci je třeba napájet ze zdroje signálu s malým vnitřním odporem (asi 600Ω max.). Za stupněm s T_{101} je vlastní zpětnovazební korektor výšek a hloubek zcela obvyklého zapojení. Tento korektor má velmi dobré vlastnosti a tu výhodu, že při použití lineárních potenciometrů souhlasí mechanický střed úhlu otáčení potenciometru s nastavením rovně kmitočtové charakteristiky. Kromě toho jsou lineární potenciometry častěji na trhu a mívají obvykle i lepší souběh, než potenciometry logaritmické.

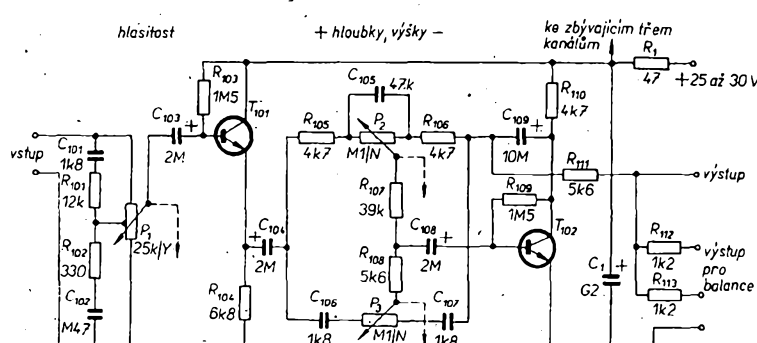
Na výstupu tranzistoru T_{102} (až T_{402}) je již korigovaný signál. Celá jednotka má zesílení asi 0,9 při regulátoru hlasitosti nastaveném na maximální zesílení. Odporu $R_{112}, R_{113}, R_{114}$ (až $R_{412}, R_{413}, R_{414}$) jsou určeny k připojení regulátorů vývážení a jsou na desce korekci umístěny pouze vzhledem ke snadnější montáži.

Všechny čtyři kanály jsou na jedné desce s plošnými spoji, do níž jsou zapojeny i potenciometry, takže odpadají jakékoli drátové spoje (kromě spojů k připojení odboček regulátoru hlasitosti). Deska s plošnými spoji je na obr. 64.

Při stavbě bylo největším problémem získat nebo zhotovit čtyřnásobné potenciometry. I když jsou dnes v móde potenciometry tahové, nesnadno se shánějí – proto byly zvoleny běžné tandemové potenciometry z řady TP 280, spojené vždy dva za sebou. O axiálním spojování potenciometru bylo v amatérském tisku napsáno dost, v našem případě by nejlépe vyhovovala spojka dvou hřidele bez velkých nároků na prostor (tj. s malými rozdíly). Vhodná spojka je na obr. 65. Při její konstrukci jsem využil toho, že tandemové potenciometry typu TP 283n a TP 289n, které jsem použil, mají uvnitř jako zakončení hřidele čípek, které se opírá o zadní stěnu pouzdra potenciometru a chrání jej tak před poškozením axiálním tlakem. Tento čípek jsem použil k upewnění jedné strany spojky.

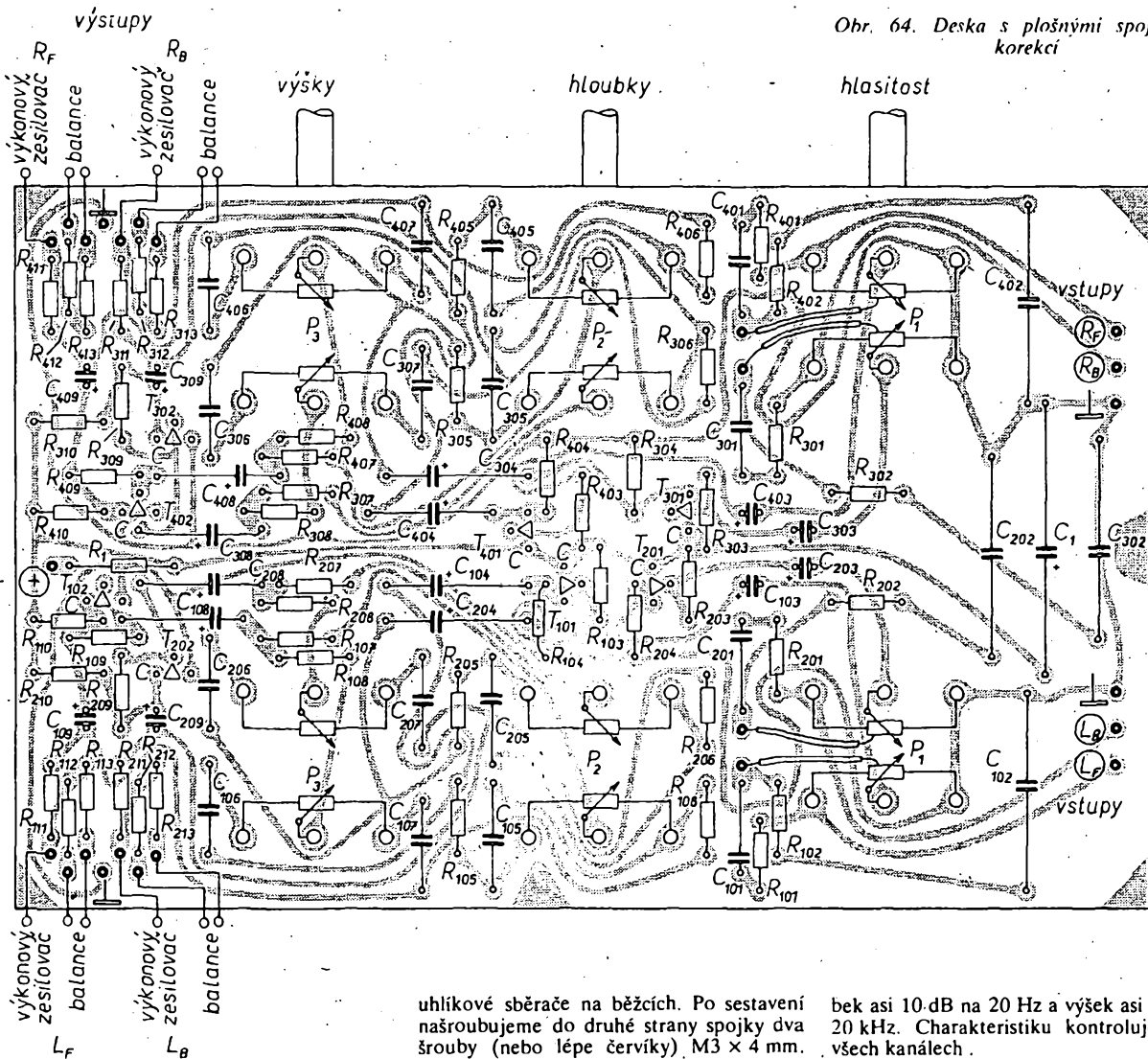
Při úpravě potenciometrů postupujeme takto: vybereme vhodné dvojice potenciometrů, které mají alespoň stejný celkový odpor dráhy. Kdo má možnost, může vybrat potenciometry i podle jejich souběhu, tj. podle odporu v závislosti na natočení hřidele, a to nejen u jednoho tandemového potenciometru, ale i u obou, které zamýšlí spojit spojkou. Souběh odporových drah v závislosti na natočení hřidele by měl být lepší než 15 %.

Po výběru příslušných dvojic potenciometrů odnehneme vždy na jednom z nich

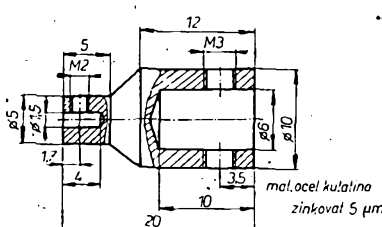


Obr. 63. Schéma zapojení jednoho kanálu regulátoru hlasitosti a korekci. Potenciometry jsou spráženy do čtveric

Obr. 64. Deska s plošnými spoji K229 korekci



upevnovací plíšky zadního krytu a kryt sejmeme. Do krytu (a u typu TP 283 také do izolační vložky a do nosné desky odporové dráhy) vystříhneme pokud možno uprostřed diru o Ø 11 až 12 mm. Na opěrném čípku je výhodné vypilovat jehlovým pilníkem malou plošku, aby se později „spoj“ obou potenciometrů neprotácel. Na užší stranu spojky našroubujeme šroub M2 s válcovou hlavou, spojku nasadíme na čípek, šroub pevně utáhneme na vypilovanou plošce a zajistíme proti poootočení zakápnutím barvou. Pak nasadíme zadní stěnu (u typu TP 283 nejprve odporovou dráhu a izolační vložku) a zahnutím plíšku opět zadní stranu připevníme. Při montáži dbáme, aby jednotlivé desky zapadly do správných zářezů a aby nevpadaly



Obr. 65. Spojka potenciometru

uhlíkové sběrače na běžcích. Po sestavení našroubujeme do druhé strany spojky dva šrouby (nebo lépe červíky) M3 x 4 mm. U druhého potenciometru dvojice zkrátíme hřídel na 25 mm (od čela, nikoli od konce upevnovacích závitů) a oba potenciometry provizorně spojíme přitažením šroubků M3 a zapojíme do desky s plošnými spoji. Potom šroubky opět povolíme, oba potenciometry natočíme do jedné krajní polohy a znova šroubky upevníme, přitáhneme a zakápneme barvou. Tim je hotov čtyřnásobný potenciometr.

Fotografie hotové, kompletně osazené desky je na obr. 66.

Obr. 66. Hotová deska korekci, vestavěná do zesílovače, je na 3. str. obálky

Při oživování se omezujeme pouze na kontrolu jednotlivých kanálů. Pomocí tónového generátoru, milivoltmetru a osciloskopu kontrolujeme, při poloze regulátorů hlasitosti (P_1) na maximu a při regulátorech hloubek (P_2) a výšek (P_3) uprostřed, přenášejí-li korekční obvody nezkresleně vstupní napětí asi 1,5 V/1000 Hz. Korekce přitom napájíme napětím 30 V. V krajních polohách P_2 a P_3 pak kontrolujeme zdvihy a potlačení signálu okrajových kmitočtů. Vstupní napětí přitom volíme takové, aby na výstupu nebylo větší napětí než asi 1,5 V (aby se nepřebudily stupně s T_{102} až T_{402}). Kmitočtová charakteristika by měla být v mezech asi ± 18 dB na 20 a 20 000 Hz (vztaženo k 1000 Hz).

Dále je možno kontrolovat kmitočtovou charakteristiku fyziologické regulace hlasitosti; v praxi však stačí ověřit, je-li při nastavení korekci uprostřed (rovna kmitočtová charakteristika) a regulátoru hlasitosti na -40 dB od maximální polohy zdvih hloubky

bek asi 10 dB na 20 Hz a výšek asi 5 dB na 20 kHz. Charakteristiku kontrolujeme ve všech kanálech.

Seznam součástek

Odpor (vesměs TR 112a)

R_1	47 Ω/A
$R_{101}, R_{201}, R_{301}$	12 kΩ/A
R_{102} až R_{402}	330 Ω/A
R_{101} až R_{303}	1,5 MΩ/A
R_{101} až R_{304}	6,8 kΩ
R_{105} až R_{405} , R_{106} až R_{406}	4,7 kΩ/A
R_{107} až R_{407}	39 kΩ/A
R_{108} až R_{408}	5,6 kΩ/A
R_{109} až R_{409}	1,5 MΩ
R_{110} až R_{410}	4,7 kΩ
R_{111} až R_{411}	5,6 kΩ/A
R_{112} až R_{412}	1,2 kΩ/A

Kondenzátory

C_1	TE 986, 200 μF
C_{101} až C_{401}	TC 281, 1,8 nF/A
C_{102} až C_{402}	TC 180, 0,47 μF
C_{103} až C_{403}	TE 005, 2 μF
C_{104} až C_{404}	TE 986, 2 μF
C_{105} až C_{405}	TC 235, 47 nF
C_{106} až C_{406}	TC 281, 1,8 nF/A
C_{107} až C_{407}	TC 281, 1,8 nF/A
C_{108} až C_{408}	TE 986, 2 μF
C_{109} až C_{409}	TE 005, 10 μF

Tranzistory

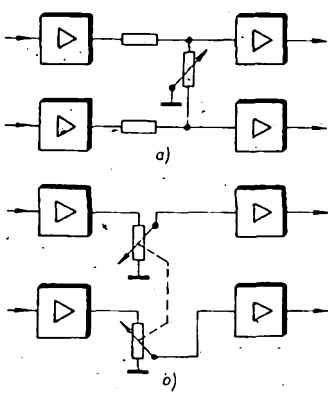
T_{101} až T_{407} KC147 (KC507)

P₁ TP 289n, 2x 25 kΩ (logaritmický s odbočkou), 2 ks
P₂, P₃ TP 283n, 2x 0,1 MΩ (lineární), 4 ks

4.4. Balance

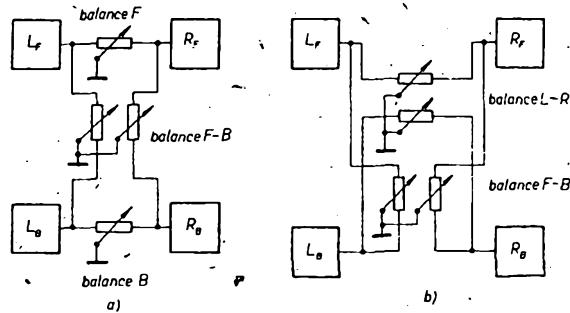
Regulátor vyvážení, všeobecně nazývaný balance, je zařízení dobré známé již ze stereofonie. Slouží k jemnému nastavení vzájemné hlasitosti kanálů (obvykle pracuje tak, že zesiluje-li se hlasitost v jednom kanálu, zmenšuje se hlasitost v druhém kanálu). V praxi se pro regulátor vyvážení používá buď jednoduchý, nebo dvojitý potenciometr tak, jak je to naznačeno na obr. 67. Jednoduchý potenciometr má obvykle uzemněný běžec a spolu se sériovými odpory pracuje jako proměnný dělič napětí. Stejně pracuje i s zapojení s tandemovým potenciometrem, až na to, že jsou signály obou kanálů lépe odděleny. Toto druhé zapojení balance představuje vlastně dva regulátory hlasitosti, které mají obráceně zapojeny začátky a konce odporových dráh, takže pracují „proti sobě“. Pro zapojení podle obr. 67a se používají lineární potenciometry, nebo lépe potenciometry se speciálním průběhem (S), u nichž je změna odporu v závislosti na natočení běžce (nebo u posuvných potenciometrů na posuvu běžce) uprostřed odporové dráhy velká a na okrajích malá. U zapojení na obr. 67b se používají také lineární potenciometry, nebo potenciometry, které mají jednu dráhu logaritmickou a druhou exponenciální. Regulátor může být použit v přímé cestě signálu, pak způsobuje základní útlum signálu 1 až 6 dB, nebo ve větvi záporné zpětné vazby. Rozsah regulace bývá minimálně 12 dB.

Situace u kvadrofonního regulátoru vyvážení, balance, je poněkud komplikovanější. Místo dvou se využívají čtyři kanály! Vzhledem k větší složitosti „kvadrofoničké balance“ se až na řídké výjimky používá v kvadrofonních zařízeních zapojení z obr. 67a. Stále ještě se však diskutuje otázka, co je třeba vlastně všechno vyvážovat. Pro balanci u kvadrofonních zařízení se nejčastěji používají tahové potenciometry, buď se využívají vůči sobě přední a zadní kanály samostatně a vzájemně vyvážení předních a zadních kanálů je spoře, nebo se jedním prvkem využije zvukový obraz zleva doprava a druhým prvkem zpředu dozadu. Obě možnosti jsou na obr. 68a a 68b. Je velmi obtížné rozhodnout, které zapojení je lepší. První zapojení umožňuje dosáhnout větších regulačních možností, neboť dovoluje nezávisle vyvážovat přední i zadní dvojice. Druhé zapojení má jednodušší ovládání pouze dvěma ovládacími prvky. Náročný použivatel by pravděpodobně volil spíše první variantu, začínajícímu konstruktérovi by asi lépe vyhovovala varianta jednodušší. Pro popisovaný zesilovač byla zvolena první varianta.



Obr. 67. Používaná zapojení regulátoru vyvážení ve stereofonii: a) s jednoduchým potenciometrem, b) s tandemovým potenciometrem

Obr. 68. Zapojení kvadrofoničkých regulátorů vyvážení s tahovými potenciometry: a) s dvěma jednoduchými a s jedním tandemovým potenciometrem; b) se dvěma tandemovými potenciometry



Z tohoto hlediska se nám jeví ovládání pákou, připomínající „knip“ podobný řídící páce u letadla, jako nejvhodnější. Tento způsob ovládání bývá i v regulaci kvadrofoničkého vyvážení používán v poslední době velmi často, nezřídka i v podobě dálkového ovládání z místa posluchače, což je velmi výhodné. Protože amatérská výroba takového zařízení je poměrně složitá, bylo by nesporně vhodnější ovládáč v tomto provedení koupit hotový. Protože však se u nás nic podobného neprodává, nezbývá, než se pokusit o amatérskou konstrukci. Ze je taková konstrukce realizovatelná, vyplývá z řady ovládačů leteckých modelů, které si již amatérství postavily.

Pro naše účely lze použít zapojení ovládače podle obr. 68b. V zásadě se jedná o to, že na dva potenciometry, jejichž hridle jsou navzájem kolmé, jsou připevněny kulisy. V místě, v němž se kulisy kříží, prochází drážkami obou kulis ovládací páka, uložená v kulovém klubu. Informativní výkres sestavy ovládače je na obr. 69, z něhož si zručný mechanik dokáže sám odvodit všechny detaily. Pro konstrukci by bylo pochoptitelně nejvhodnější výlisky z plastické hmoty. V amatérských podmínkách se spíše použijí plechy a odliky z epoxidové pryskyřice, které nahradí výlisky z plastických hmot. Na ovládači je důležité jednak bezvadně provedení klubu, aby ovládání bylo plynulé, a jednak, což je nejdůležitější, naprostě přesné uložení ovládací páky ve zkřížených drážkách kulis obou potenciometrů. Drážky kulis musí být zhotoveny tak, aby ovládací páka v nich neměla znatelnou vůli, což by způsobilo nepřesnosti při ovládání.

Dalším problémem při realizaci ovládače jsou použité potenciometry. Musíme si totiž uvědomit, že z celkového úhlu otáčení hřidele, který u otočného potenciometru bývá asi 290°, můžeme v ovládači využít pouze 70 až 90°. Protože takové potenciometry nejsou dostupné, je možné využít například potenciometry s odbočkami. V NDR se vyrábějí (a i u nás se občas seženou) lineární tandemové potenciometry se třemi odbočkami. Odporová dráha je tedy rozdělena na čtyři části asi po 70°, což pro naši účel vyhovuje. Jeden odbočku můžeme zapojit jako začátek a druhou jako konec odporové dráhy. Touto úpravou obsáhne právě potřebných 70° mezi oběma odbočkami. Fotografie hotového ovládače s takto upravenými potenciometry je na obr. 70. Lze však říci, že jeho stavba není jednoduchá a že ji zvládne jen vyspělý pracovník.

V konstrukci popisovaného zesilovače není ovládač v popsaném provedení použit,

ač je to možné. Přesto jsme po úvaze použili hotové tahové potenciometry, které se u nás běžně prodávají pod označením TP 601, TP 605 a TP 610 a jsou určeny do televizorů.

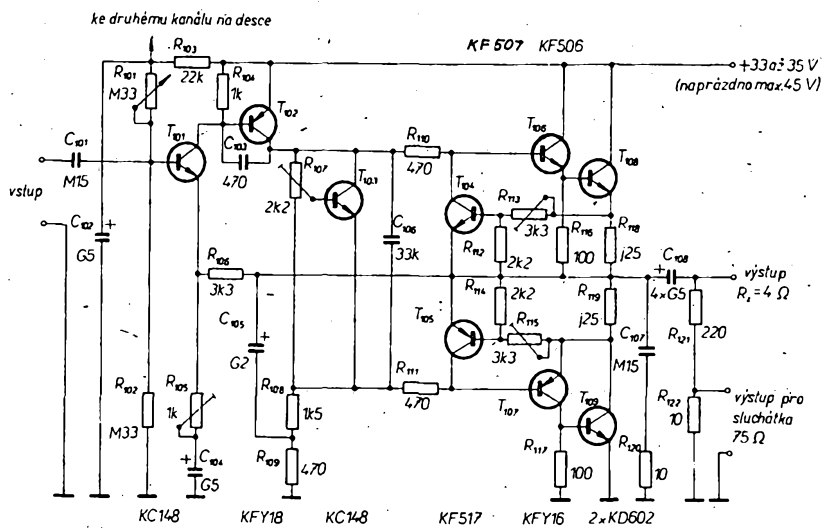
4.5. Výkonový zesilovač

Protože jsou v kvadrofoničkém výkonovém zesilovači použity čtyři výkonové části, ovlivňuje to podstatně cenu celého zařízení. I když je v napěťovém zesilovači použito mnoho aktivních i pasivních prvků, nejsou náklady tak velké (ve srovnání s cenou výkonových tranzistorů). Na tuto skutečnost byl brán ohled při návrhu zapojení výkonového zesilovače. Použité kvazikomplementární zapojení je jednoduché a spolehlivé a umožňuje použít relativně levné tranzistory. Provozní spolehlivost značně zvětšuje i elektronická pojistka, která chrání zesilovač před zničením koncových tranzistorů při nahodiém zkratu na výstupu. Zapojení výkonového zesilovače je na obr. 71. Posuzujeme-li toto zapojení z hlediska současné obvodové techniky, je poněkud zastaralé. Oproti modernějším zapojením je však nesporně levnější a má velmi dobré parametry. Jeho zkreslení (při párovaných koncových tranzistorech a tranzistorech invertoru s činitelem 1 : 1,6) je maximálně 0,5 %. Též kmitočtový rozsah je značně velký, horní mezni kmitočet je

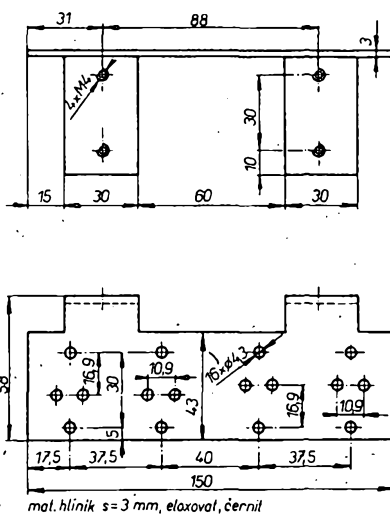


Obr. 69. Informativní nákres ovládače (knipu)

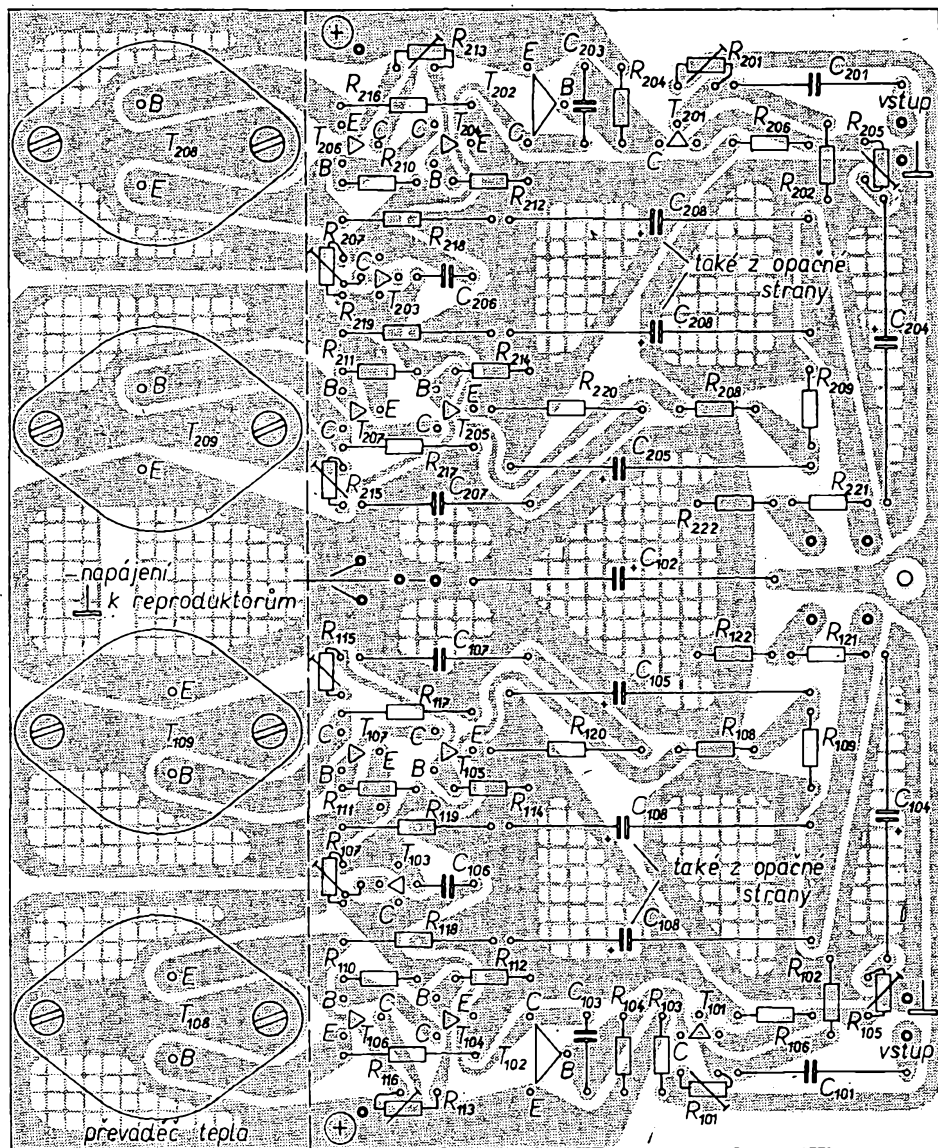
Obr. 70. Ovládač pro kvadrofoničký regulátor vyvážení je na 3. str. obálky



Obr. 71. Schéma zapojení výkonového zesilovače



Obr. 74. Převaděč tepla výkonových tranzistorů



Obr. 72. Deska s plošnými spoji K230 výkonového zesilovače

Obr. 73. Osazené desky s plošnými spoji výkonových zesilovačů jsou na 3. str. obálky

až 40 kHz, dolní mezní kmitočet závisí na kapacitě kondenzátoru C₁₀₈ a odstup rušivých napětí je i při jednoduchém a nestabilizovaném zdroji minimálně -80 dB.

Signál je veden přes kondenzátor C₁₀₁ na napěťový zesilovač T₁₀₁, na který je přímo navázán budič T₁₀₂ a dále pak invertor T₁₀₆ a T₁₀₇. Pak následuje koncový stupeň T₁₀₈.

a T_{109} . Tranzistor T_{103} pracuje jako proměnný odpor mezi bázemi invertoru T_{106} a T_{107} a lze ho nastavit trimrem R_{107} . Timto trimrem se nastavuje předpětí a tím tedy i klidový proud koncových tranzistorů. Tranzistor T_{103} se též podílí na teplotní stabilizaci zesilovače. Celý zesilovač je stejnosměrně vázán, pracovní bod se nastavuje odporem R_{101} . Komplementární dvojice tranzistorů T_{104} a T_{105} , které není třeba párovat, slouží jako proudová pojistka. Proud procházející výkonovými tranzistory způsobuje úbytek napětí na odporech R_{118} a R_{119} . Úbytek je veden na báze tranzistorů T_{104} a T_{105} . Okamžik jejich otevření lze nastavit trimry R_{113} a R_{115} , pro každou půlvlnu signálu zvlášť. Celý zesilovač je překlenut smyčkou zpětné vazby, jednak stejnosměrné (odpor R_{106}), a jednak střídavé (dělič R_{106} a R_{105}), oddělené kondenzátorem C_{104} . Volbou R_{105} můžeme tedy nastavit napětové zesílení celého výkonového zesilovače.

Na desce s plošnými spoji jsou umístěny vždy dva kanály zesilovače společně. Rozmístění součástek je na obr. 72. Pro kvadrofonní zesilovač je tedy třeba použít dvě jednotky (obr. 73). Na desce s plošnými spoji jsou upevněny i výkonové tranzistory, takže odpadají jakékoli drátové spoje. Výkonové tranzistory jsou přišroubovány a připájeny přes hliníkový chladič tloušťky asi 3 mm (obr. 74). Tento chladič převádí teplo z tranzistorů na chladicí žebra, umístěná na zadním panelu zesilovače. Výkonové tranzistory jsou od hliníkové desky izolovány silikonovými podložkami. Též šroubky, upevňující tranzistory (použijeme M3 x 10 až 12 mm s válcovou hlavou), musí být od desky izolovány, a to nejlépe silikonovou bužírkou. Přitom šroubky slouží pro připojení kolektoru, musí mít tedy vodivý kontakt s tranzistorem i se spojem na desce s plošnými spoji. Je třeba přitom dát pozor na ochranný nátěr. Je proto vhodné umístit pod matice se strany plošných spojů vějířovité podložky, které lak proseknu a zabezpečí dokonalý styk. Kromě toho zajistí šroubový spoj i proti povolení. V mísťech připojuvacích bodů k desce zesilovače vyvrátme díry o Ø 2,2 mm, do nichž zanýtujeme trubkové nýty o Ø 2 x 2,5 mm. Stejně díry vyvrátme pro přívody bázi a emitoru výkonových tranzistorů. Pro šroubky upevňující tranzistory vyvrátme díry o Ø 3,5 mm, všechny ostatní díry mají Ø 1,3 mm. Před montáží výkonových tranzistorů namažeme jejich styčné plochy s chladičem, a také chladič (hliníkovou desku) silikonovou vaselinou, abychom zajistili dobrý přestup jejich tepla. Ještě poznámka ke kondenzátoru C_{108} . Jeho kapacita je 2000 μF , je složen ze čtyř kondenzátorů 500 μF , přičemž dva z nich jsou umístěny ze strany součástek a další dva ze strany spojů. Při této výsledné kapacitě kondenzátoru je dolní mezní kmitočet zesilovače (za předpokladu zatěžovací impedance 4 Ω) 20 Hz, což plně vyhovuje požadavkům Hi-Fi.

Osazené výkonové zesilovače nastavujeme každý zvlášť. Mají samostatné napájecí (až na obvod báze T_{101} , kde jsou vždy R_{101} , R_{103} a C_{102} společné pro oba kanály na desce). Diváme-li se na desku ze strany součástek a jsou-li výkonové tranzistory vzadu, musíme jako první nastavit levý zesilovač. Při nastavování pravého musí být zapojeno napájení i levého zesilovače.

K nastavení zesilovače potřebujeme opět tónový generátor, nízkofrekvenční milivoltmetr a osciloskop. Krém toho potřebujeme zatěžovací odpor 4 Ω , dimenzovaný alespoň na 30 W (je ho možno zhotovit z odporového drátu, nebo složit z několika drátových odporů), stejnosměrný voltmetr a ampérmetr. Před měřením nastavíme všechny trimry do střední polohy. Do sérije se zdrojem zapojíme ampérmetr s rozsahem alespoň 6 A a připojíme zdroj k zesilovači. Máme-li zdroj s regu-

lovatelným výstupním napětím, nastavíme zprvu napájecí napětí asi 20 V.

Po připojení napájecího napětí nejprve kontrolujeme klidový proud, který nastavíme trimrem R_{107} asi na 10 mA. Dále nastavíme trimrem R_{101} na kladném pólu C_{108} přibližně poloviční napájecí napětí zdroje. Klidový proud znova nastavíme trimrem R_{107} asi na 15 mA. Potom ampérmetr přepneme na rozsah 6 až 10 A, ke vstupu zesilovače připojíme výstup z generátoru, k výstupu záhlaví 4 Ω a paralelně k ní milivoltmetr a osciloskop. Výstupní napětí generátoru (kmitočet 1000 Hz) postupně zvětšujeme od nuly a pozorujeme sinusovku na osciloskopu. Bude-li signál omezován, zkoušíme změnou nastavení trimrů R_{113} a R_{115} , není-li omezování způsobeno pojistikou. Jestliže tomu tak je, nastavíme pojistku takovým způsobem, aby výstupní napětí nebylo omezováno, a výstupní napětí dále zvětšujeme. V opačném případě nastavíme tvar sinusovky trimrem R_{101} .

Nyní můžeme napájecí napětí zvětšit asi na 35 V. Znovu nastavujeme trimrem R_{101} , popř. R_{113} a R_{115} tvar výstupního napětí tak, aby k pozorovatelnému zkreslení sinusovky došlo až při napětí na výstupu asi 8 V. Výstupní signál musí být omezen symetricky. Symetrické omezení nastavíme trimrem R_{101} . Pak nastavíme na generátoru napětí na 300 mV a trimrem R_{105} upravíme výstupní napětí zesilovače na 7,8 V. To odpovídá výkonu 15 W na zatěžovací impedance 4 Ω . Výstupní napětí ještě nepatrně zvětšíme tak, aby výstupní napětí ještě nebylo omezeno. Trimry R_{113} a R_{115} nastavíme tak, aby byl na obou půlvlnách výstupního napětí právě pozorovatelný začátek omezení. Tím je nastavena pojistka i celý zesilovač. Je výhodné, netrvá-li toto nastavování příliš dlouho, aby se zbytečně nepřehřívaly koncové tranzistory. Při práci trvající asi 10 minut se i při plném výkonu tranzistory nepřehřejí.

Po ukončení této práce necháme zesilovač vychladnout, připojíme jmenovité napájecí napětí, tj. 42 V, a trimrem R_{107} nastavíme klidový proud koncových tranzistorů na 20 mA. Tím je nastaven jeden kanál zesilovače. Kdo má možnost, může změřit zkreslení i kmitočtovou charakteristiku. Na velikost zkreslení má vliv délka přívodu od napáječe. Je proto výhodné umístit filtrální kondenzátor co nejbližší v desky zesilovače. Při měření je též třeba vyřadit ampérmetr. Zbývá k tomu pouze dodat, že zkreslení nízkých kmitočtů je závislé na filtraci napájení a že je proto ne správné měřit ho v této kmitočtové oblasti s náhradním napájecím zdrojem. Pokud je vše v pořádku, nesmí zkreslení v rozsahu 60 až 20 000 Hz překročit 0,5 %.

Tím je zesilovač již připraven k vestavění do skříně. Pro úplnost je třeba dodat, že na obr. 71 je nakreslen pouze jeden kanál, na obr. 72 pouze dva kanály, značené indexy 100 a 200. Součástky pro druhé dva kanály jsou analogicky označeny v seznamu součástek indexy 300 a 400. Na desce s plošnými spoji jsou též umístěny děliče pro napájení sluchátku s impedancí 75 Ω . Pokud by bylo třeba použít sluchátko s odlišnou impedancí, bylo by třeba upravit výstup změnou R_{121} , R_{122} až R_{421} , R_{422} .

R_{108} až R_{408}	1,5 k Ω
R_{110} až R_{410}	470 Ω
R_{111} až R_{411}	470 Ω
R_{112} až R_{412}	2,2 k Ω
R_{113} až R_{413}	2,2 k Ω
R_{114} až R_{414}	trimr WN 790 10, 3,3 k Ω
R_{115} až R_{415}	trimr WN 790 10, 3,3 k Ω
R_{116} až R_{416}	TR 152, 100 Ω
R_{117} až R_{417}	TR 152, 100 Ω
R_{118} až R_{418}	drátový odpor 0,25 Ω , drát na tělisku TR 144
R_{119} až R_{419}	drátový odpor 0,25 Ω , drát na tělisku TR 144
R_{120} až R_{420}	TR 636, 10 Ω
R_{121} až R_{421}	220 Ω
R_{122} až R_{422}	10 Ω

Kondenzátory

C_{101} , C_{201} , C_{301}	TC 180, 0,15 μF
C_{102} , C_{202}	TE 986, 500 μF
C_{103} až C_{203}	TC 281, 470 μF
C_{104} až C_{204}	TE 986, 500 μF
C_{105} až C_{205}	TE 986, 200 μF
C_{106} až C_{206}	TK 750, 33 nF
C_{107} až C_{207}	TC 180, 0,15 M Ω
C_{108} až C_{208}	TE 986, 4x 500 μF (viz text)

Tranzistory

T_{101} až T_{401}	KC148
T_{102} až T_{402}	KFY 18 (nebo KF517B s U_{CE} min. 40 V)
T_{103} až T_{403}	KC148
T_{104} až T_{404}	KF507
T_{105} až T_{405}	KF517
T_{106} až T_{406}	KF506
T_{107} až T_{407}	KFY16 (nebo KF517A s U_{CE} min. 40 V)
T_{108} až T_{408}	KD602
T_{109} až T_{409}	KD602

Tranzistory T_{106} a T_{107} až T_{406} , T_{407} jsou párovány. V pracovním bodu $U_{CE} = 10$ V, $I_C = 10$ mA je poměr jejich zesilovacích činitelů max. 1,6. Stejně jsou párovány tranzistory T_{108} a T_{109} až T_{408} , T_{409} v pracovním bodu $U_{CE} = 4$ V, $I_C = 2$ A.

4.6. Zdroj

Zdrojová část obsahuje tři napájecí jednotky. Jsou určeny pro napájení výkonových zesilovačů, pro napájení předzesilovačů a slouží jako zdroj záporného napětí pro logické obvody dekódéru SQ (kapitola 3.2). Zdroj pro výkonové zesilovače je jednoduchý a nestabilizovaný a je tvořen čtyřmi diodami v můstkovém zapojení. Usměrněné napětí je filtrováno kondenzátory C_1 a C_2 . Pro napájení napěťových zesilovačů a dekódéru je použit stabilizovaný zdroj obvyklého provedení s výstupním napětím 28 V. Třetí zdroj téhož napětí, avšak záporné polarity, je realizován jednocestným usměrňovačem s jednoduchým vyhlašovacím filtrem. Schéma celého napáječe je na obr. 75, rozmístění součástek na desce s plošnými spoji (na obr. 75 naznačena čárkovaně) je na obr. 76.

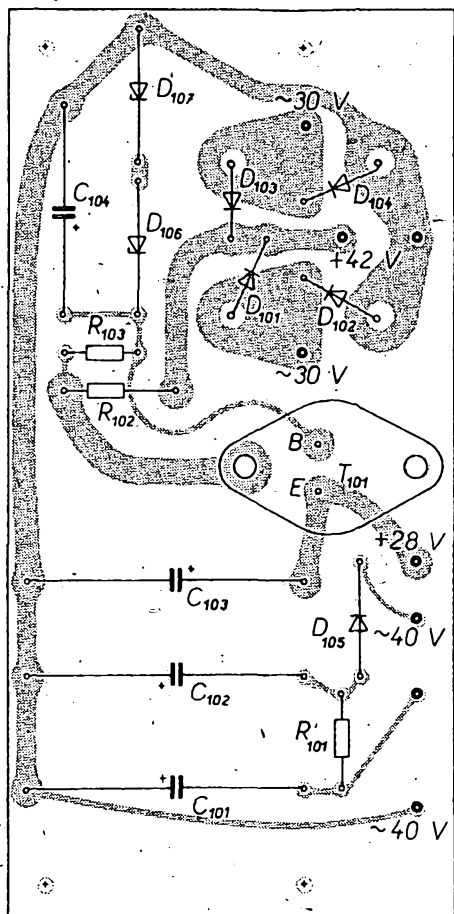
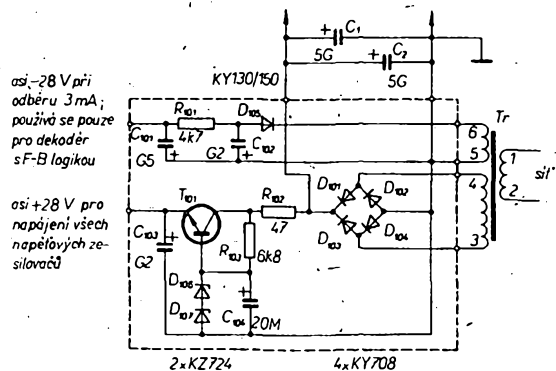
Kontrola je jednoduchá. Osazenou desku propojíme s transformátorem a s kondenzátory C_1 a C_2 a pak změříme stejnosměrný voltměrem jednotlivá napětí, která by měla být v tolerancích $\pm 15\%$ od jmenovitých napětí. Při měření je ovšem nutno zatížit zdroje příslušnými zatěžovacími odpory. Zdroj s výstupním napětím 42 V zatížíme odporem 470 Ω /6 W, zdroj s výstupním napětím 28 V odporem 220 Ω /6 W a konečně zdroj s výstupním napětím 28 V s opačnou polaritou odporem 10 k Ω /0,5 W.

Seznam součástek

Odpory (TR 112a, nežli uvedeno jinak)	
R_{101} , R_{201} , R_{301}	trimr WN 790 10, 0,33 M Ω
R_{102} až R_{402}	0,33 M Ω
R_{103} , R_{203}	22 k Ω
R_{104} až R_{404}	1 k Ω
R_{105} až R_{405}	trimr WN 790 10, 1 k Ω
R_{106} až R_{406}	3,3 k Ω
R_{107} až R_{407}	trimr TP 008, 2,2 k Ω

+pól pro všechny kanály výkon.
zesilovače (asi +42 V naprázdno) karta pro všechny kanály
výkon. zesilovačů

Obr. 75. Schéma zapojení zdroje



Obr. 76. Deska s plošnými spoji zdroje K231

Diody D₁₀₁ až D₁₀₄ přišroubujeme k desce s plošnými spoji opět pomocí vějířovitých podložek stejným způsobem, jako stabilizační tranzistor. Ten přišroubujeme přímo na desku bez chladicího žebra.

Seznam součástek

Odpory

R ₁₀₁	TR 152, 4,7 kΩ
R ₁₀₂	TR 144, 47 Ω
R ₁₀₃	TR 151, 6,8 kΩ

me ještě jednu předidutinkovou zásuvku pro připojení sluchátek.

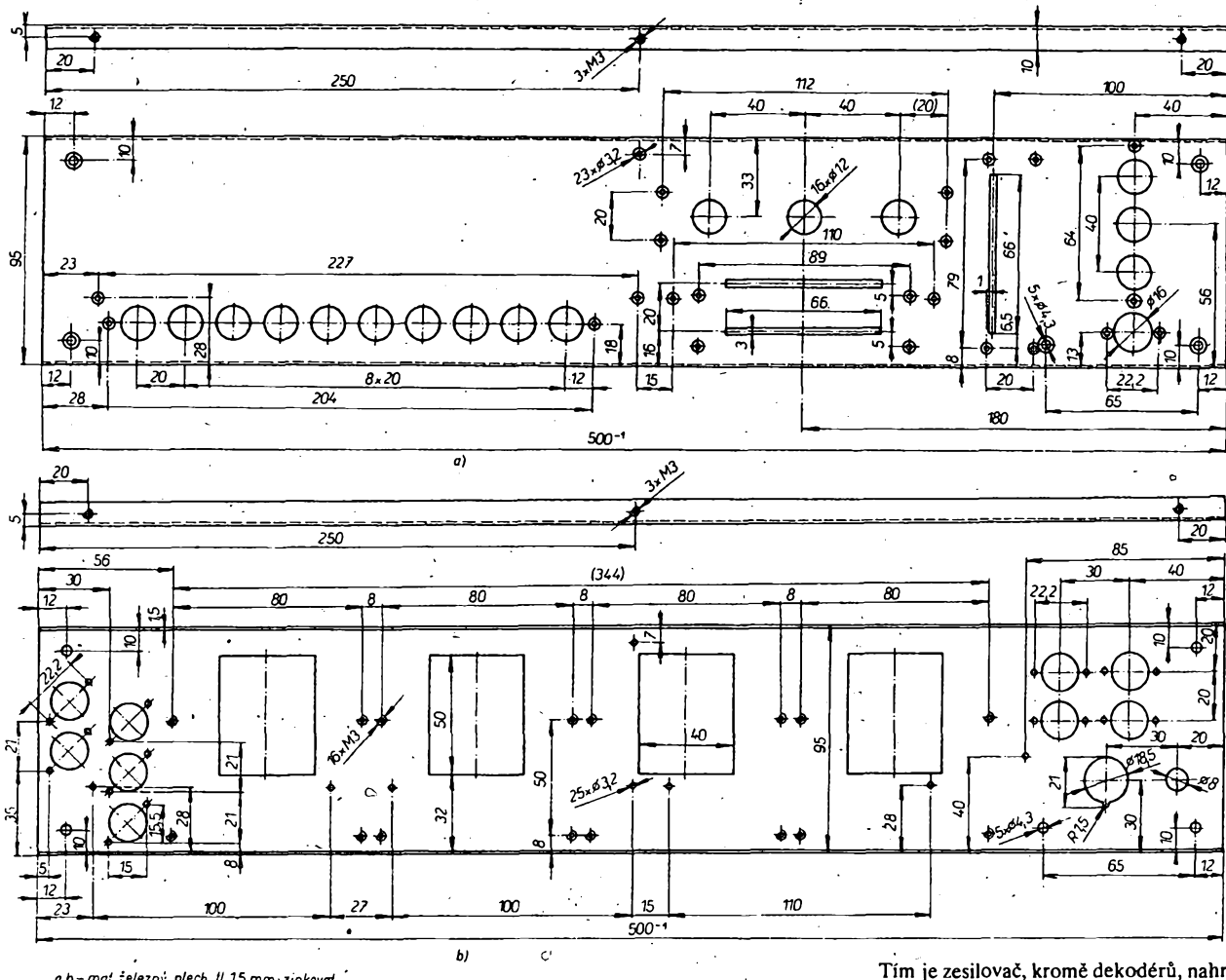
Takto připravené panely spojíme pěti hlavními distančními tyčkami o Ø 10 mm. Při pohledu zpředu jsou v pravém horním rohu s roztečí 65 mm umístěny dvě tyčky, které nesou transformátor (obr. 78a). Ve zbyvajících rozích jsou další tři tyčky (obr. 78b), ve kterých jsou díry pro uchycení bočnic a horního víka zesilovače. Při montáži šasi našroubujeme tyčky podle obr. 78 zpředu šroubky M4 × 8 mm se zasušenou hlavou a vzdálu s válcovou hlavou. Všechny tyčky jsou orientovány tak, že strana, od níž je první díra vzdálena 15 mm, patří dopředu. Všechny díry v tyčích jsou orientovány svisle. Dále našroubujeme šrouby M3 × 8 mm, opět zpředu se zasušenou a vzdálu s válcovou hlavou, pět distančních tyček podle obr. 78c, díry opět svisle, a to dopředu otvorem kótovaným od hrany 85 mm. Do této díry přišroubujeme v levé spodní části mezistenu (obr. 78e) tak, aby její vzdálenost od zadní stěny byla 180 mm. Do dvou dér s roztečí 35 mm v mezistěně a do příslušných dér v zadní stěně našroubujeme dve poslední distanční tyčky (obr. 78d). Mezistenu musíme v místě přišroubování k tyčkám podle obr. 78c podložit tak, aby delší i kratší tyčky byly ve stejné rovině. (Použijeme asi 6 mm dlouhou distanční vložku.) Na tyčky s roztečí 110 mm přišroubujeme shora šroubky M3 × 6 mm držák 1 (obr. 79a), a to zcela dozadu na první rozteč 60 mm od zadu, ohybem nahoru. Dále na zadní stěnu a distanční tyčky z obr. 79a přišroubujeme stínici kryt (obr. 79b), který odděluje prostor síťového transformátoru od ostatního prostoru v zesilovači. Nakonec přišroubujeme k zadní stěně čtyři žebrované chladiče (obr. 79c). Tím je mechanická sestava zesilovače hotova.

Nyní můžeme do prostoru vymezeného stínicím krytem přišroubovat pomocí svorníků M4 síťový transformátor. Svorníky současně stahují jádro transformátoru. Matice mi vyregulejme výšku transformátoru tak, aby nikde nepřečníval. Potom obrátíme zesilovač „vzhůru nohama“ a do žlábků, tvořeného držákem 1 (obr. 79a), položíme kondenzátory C₁ a C₂ vývody dopředu, nejlépe na molitanový pásek tl. asi 10 mm, a shora je (opět pokryté molitanem) přitáhneme držákem 2 (obr. 79d).

K přední straně přišroubujeme za držák tlačítka vstupní zesilovač dvěma šrouby M3 se zasušenou hlavou. Mezi držák tlačítka a přední stěnu je třeba na tyto šrouby navléci distanční trubičky, jejichž délka bude určena typem použitých tlačítek. Použijeme-li např. tlačítka z přijímače TESLA 810 A, budou distanční tyčky dlouhé 16 mm. Pomocí stejných šroubků a distančních trubiček přišroubujeme nad konektor k připojení sluchátek dvě tlačítka, síťový spínač a přepínač sluchátek. Lišta tlačítka je určena pro tri tlačítka, použijeme však pouze dvě.

Třetí díra, horní, je určena pro kontrolní žárovku; její velikost upravíme podle použité žárovky. Stejně tak podle použité žárovky upěvníme její objímkou k liště tlačítka. Žárovka je vhodná trpasličí nebo telefonní, pro napětí 24 V, proud 50 nebo 100 mA. Žárovku napájíme přímo ze sekundárního vinutí transformátoru přes vhodný srážecí odpór.

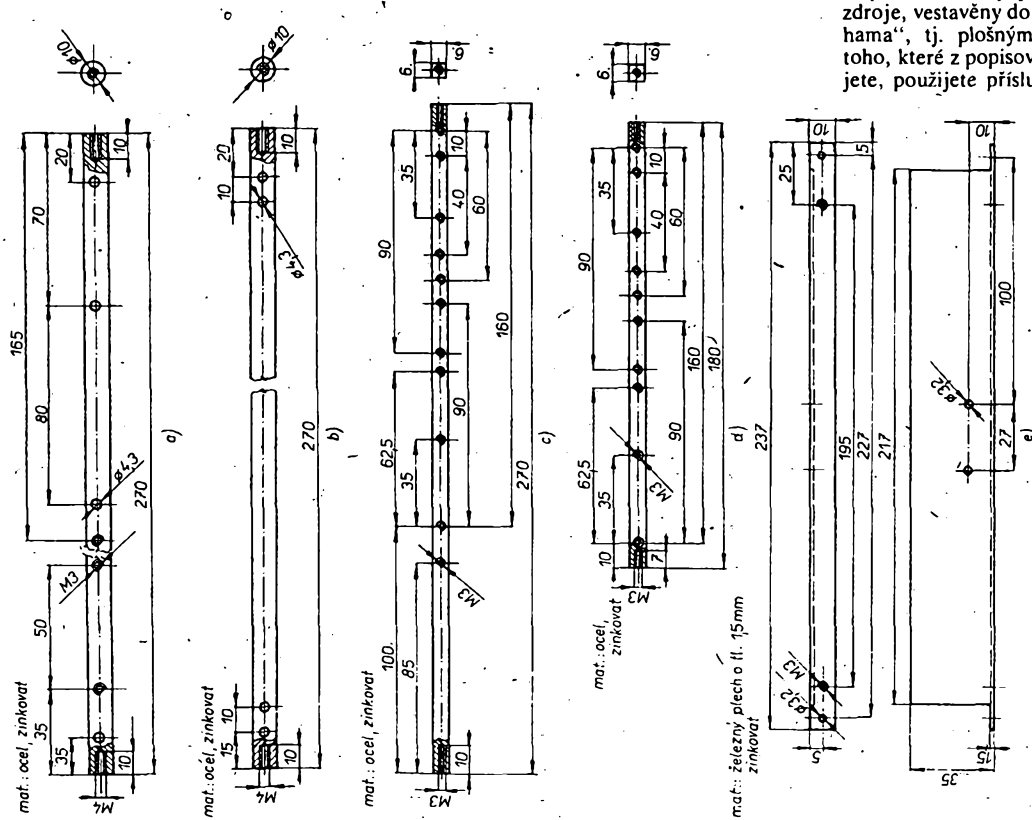
Po připojení všech vodičů k předesilovači zakryjeme předzesilovač stínicím krytem podle obr. 79e. Kryt přišroubujeme. Směrem zespodu (plošnými spoji nahoru) našroubujeme před kondenzátory C₁ a C₂ desku napájecího zdroje. Jako distanční podložky mezi desku a tyčky můžeme použít trubkové nýty o Ø 3,5 mm, délky 3 mm. Na potenciometry korekci našroubujeme držák (obr. 79f) a za něj celou desku čtyřmi šrouby M3 se zasušenou hlavou přišroubujeme k přední stěně tak, že regulátor hlasitosti bude vlevo



a,b - mat. železný plech tl. 1,5 mm; zinkovat

Obr. 77. Přední (a) a zadní (b) panel

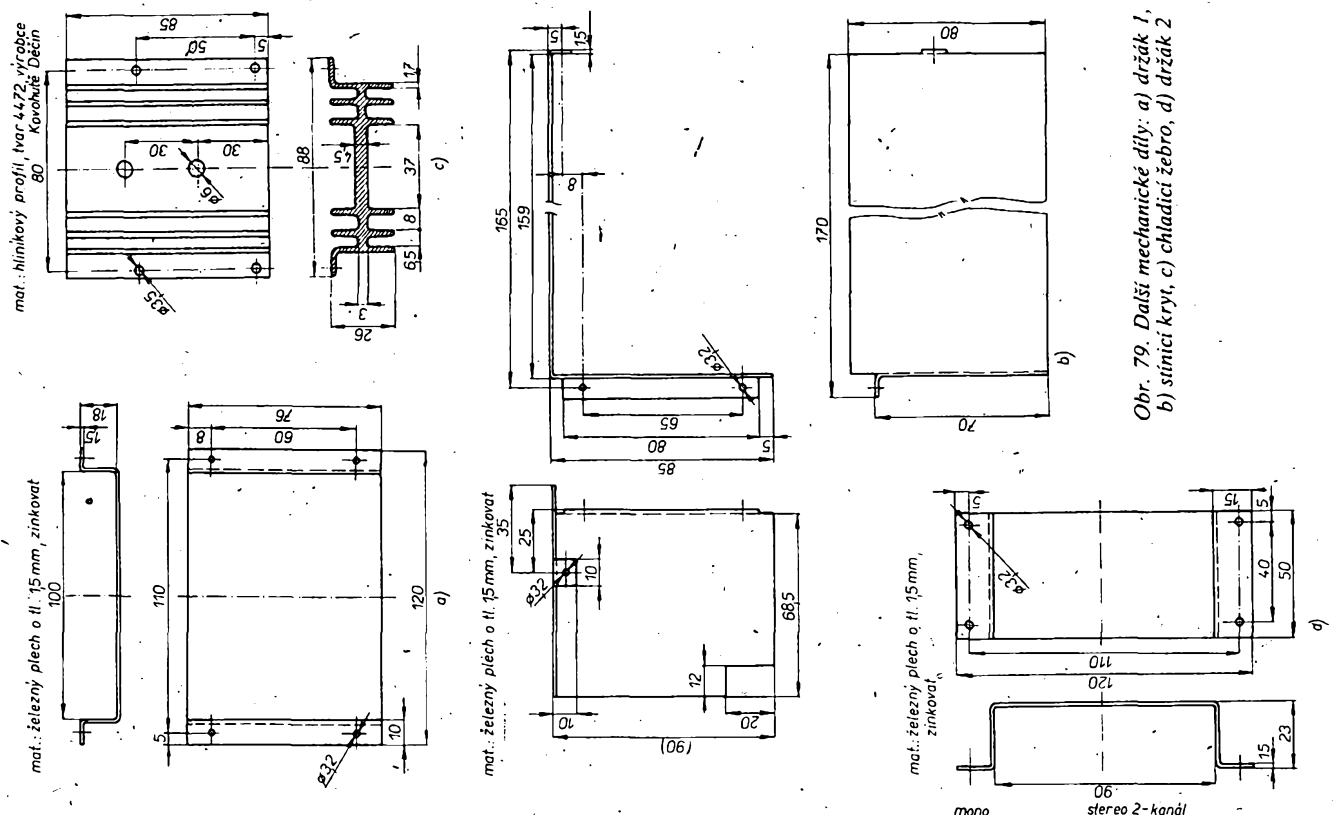
Tím je zesilovač, kromě dekodérů, nahrubo sestaven. Pro dekodéry je určen prostor za vstupním zesilovačem; pod výkonovými stupni. Dekodéry jsou, stejně jako deska zdroje, vestavěny do zesilovače „vzhůru nahama“, tj. plošnými spoji nahoru. Podle toho, které z popisovaných dekodérů použijete, použijete příslušné upevňovací díry k



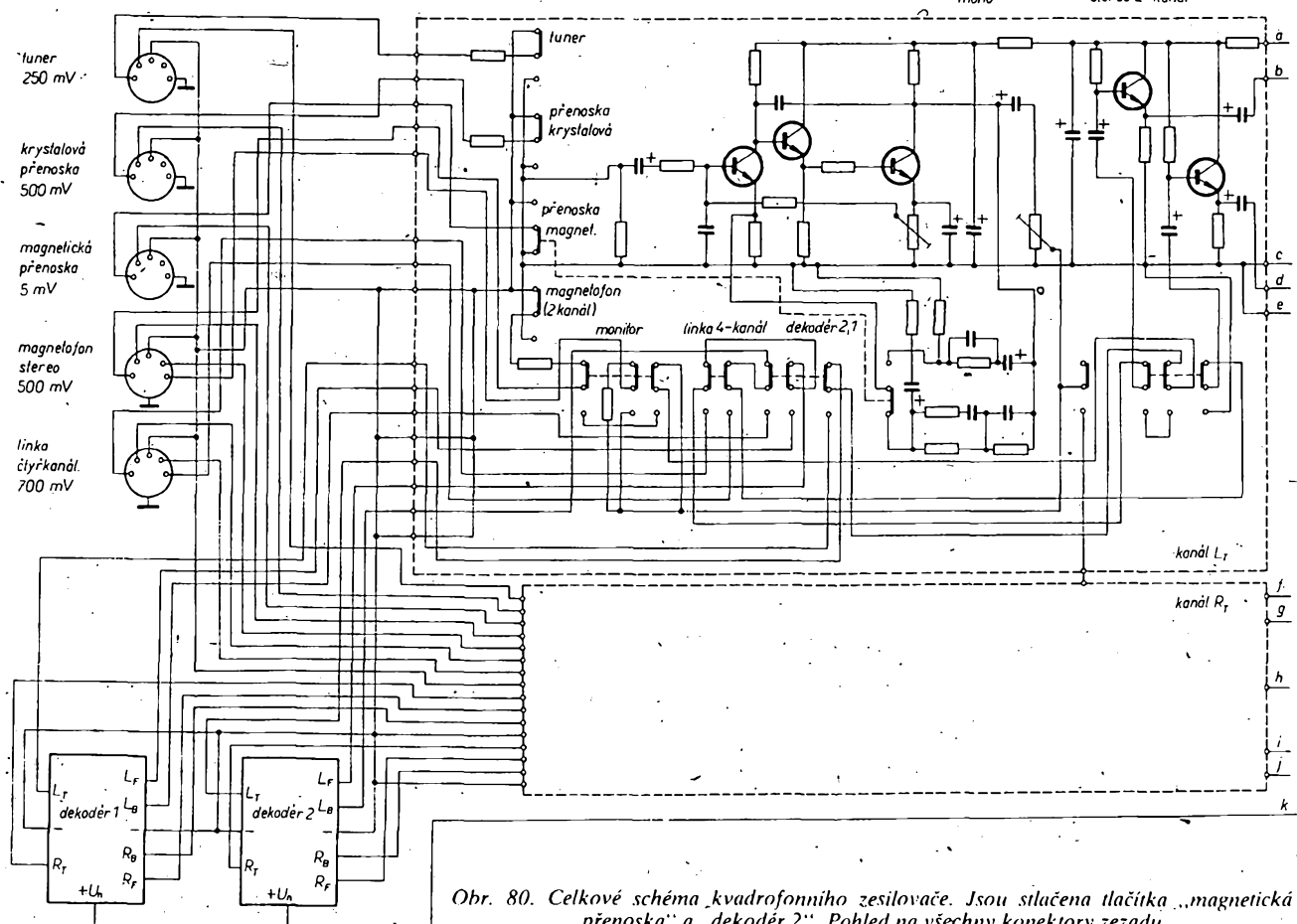
Obr. 78. Distanční tyčky: a) pod transformátorem, b) krátká, c) delší, d) rohová

(součástky na desce s plošnými spoji jsou směrem nahoru). Hliníkové převáděče tepla s přišroubovanými výkonovými tranzistory (a zesilovači) zasuneme děrami v zadní stěně

ke chladicím žebřům a přišroubojeme je ze zadu šrouby M4. V místě styku desky s chladiči natřeme styčné plochy opět silikonovou vazelinou.



Obr. 79. Další mechanické díly: a) držák 1, b) stínící kryt, c) chladicí žero, d) držák 2



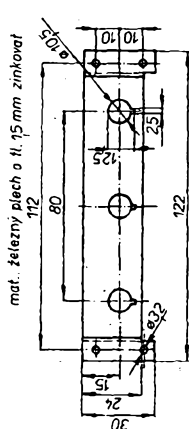
Obr. 80. Celkové schéma kvadrofoniho zesilovače. Jsou silačena tlačítka „magnetická přenoska“ a „dekodér 2“. Pohled na všechny konektory ze zadu

připevnění desek dekodérů. Do přední stěny pod desku korekcí, přišroubujeme dva tahové potenciometry TP 601, 50 kΩ, lineární. Opět použijeme distanční podložky. Horní potenciometr zapojíme jako balanci přední, spodní jako balanci zadní (P_2 , popř. P_3 na

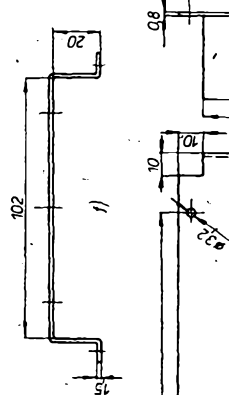
obr. 80). Vedle desky korekcí přišroubujeme stejným způsobem dvojitý tahový potenciometr TP 605, obě jeho dráhy jsou opět 50 kΩ/N (lineární), oba běžecky jsou spřaženy. Lze použít i běžnější typ TP 610, bude však nutné zhotovit „spíáhlo“. Při montáži potenciometru do zesilovače musíme odštípnout jeho pravý spodní roh, který koliduje s tyčkou, nesoucí síťový transformátor. Na funkci potenciometru se tento zásah nijak neproje-

ví. Potenciometr slouží jako regulátor předzadní balance (P_1 na obr. 80).

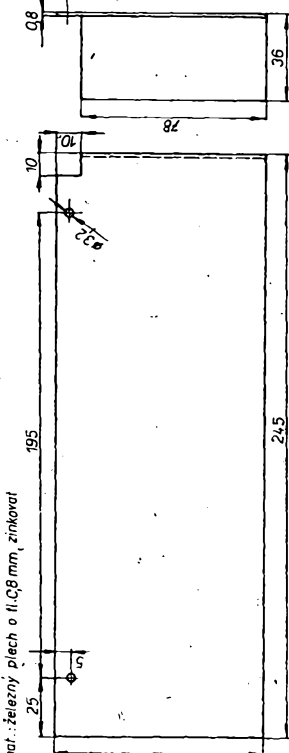
Nyní můžeme konečně celý zesilovač propojit podle schématu na obr. 80. Schéma je kresleno poněkud neobvykle, jsou však na něm všechny propojovací vodiče. Ty je nutno vést tak, jak je to vyznačeno na obrázku. Především si všimneme vedení uzemňovacích vodičů. Ty jsou zvlášť vedeny od zemničko bodu na kondenzátoru C_1 pouze k výko-



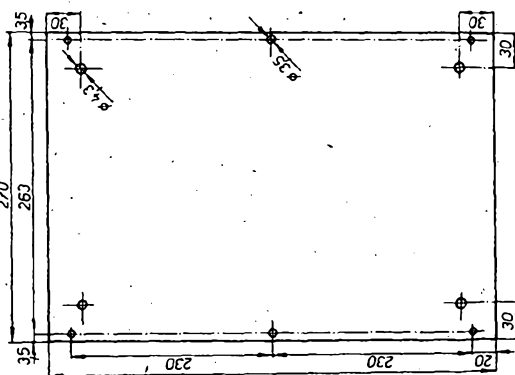
Obr. 79f. Držák potenciometru



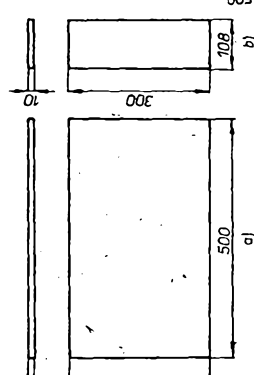
Obr. 79e. Síťnicí kryt



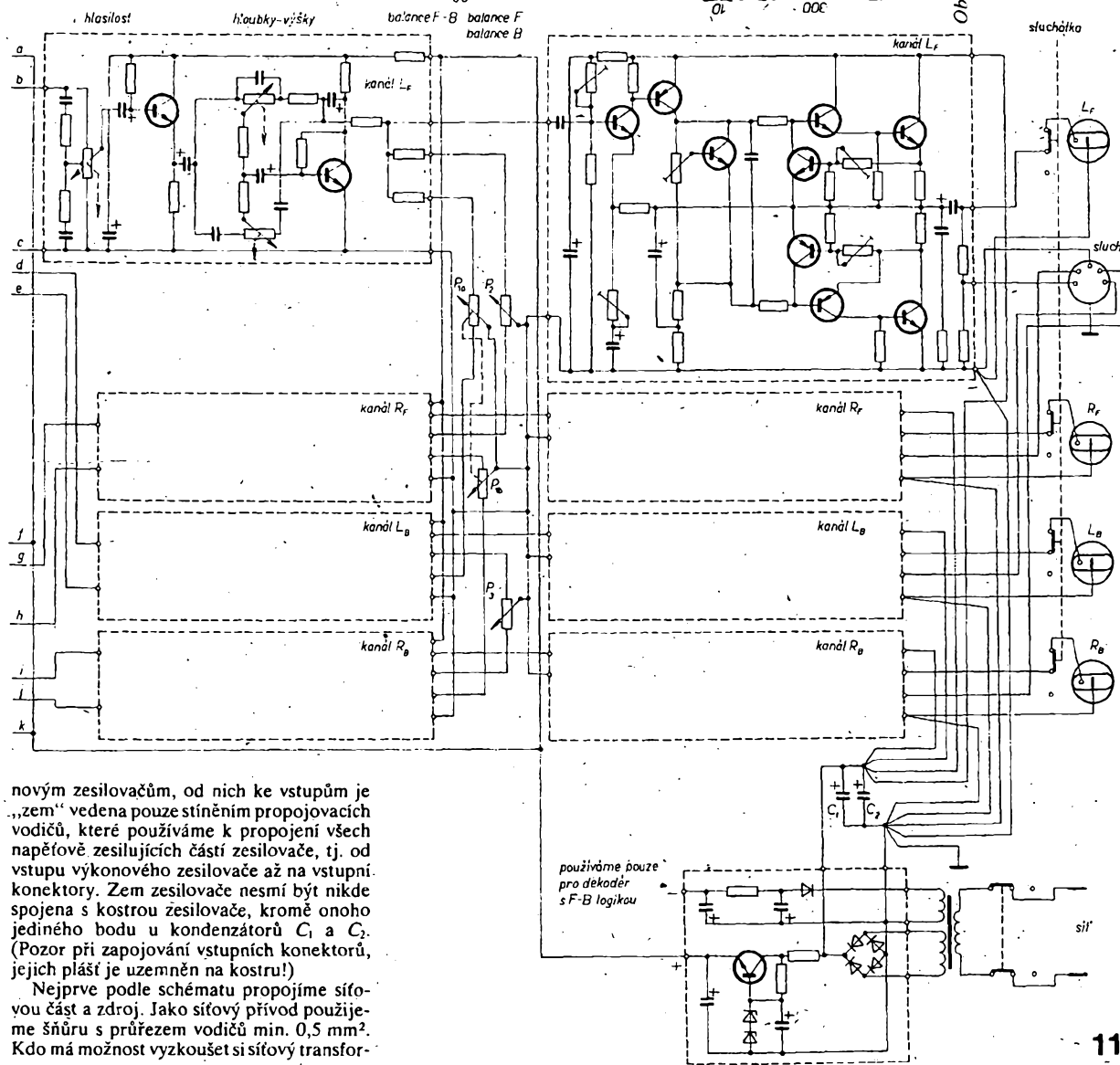
mat. železny plech o tl. 1,5 mm zinkovat
195 245
88



Obr. 82. Skříňka zesilovače: a) horní výklo, b)
báňnice (2 ks)

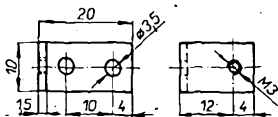


Obr. 81. Dno zesilovače



novým zesilovačům, od nich ke vstupům je „zem“ vedena pouze stíněným propojovacím vodičů, které používáme k propojení všech napěťově zesilujících částí zesilovače, tj. od vstupu výkonového zesilovače až na vstupní konektory. Zem zesilovače nesmí být nikde spojena s kostrou zesilovače, kromě onoho jediného bodu u kondenzátorů C₁ a C₂. (Pozor při zapojování vstupních konektorů, jejich pláště je uzemněn na kostru!)

Nejprve podle schématu propojíme síťovou část a zdroj. Jako síťový přívod použijeme šňůru s průřezem vodičů min. 0,5 mm². Kdo má možnost vyzkoušet si síťový transform-



Obr. 83. Uhélník

mátor na elektrickou pevnost (nejméně 2500 V mezi primárním a sekundárním vinutím a mezi primárním vinutím a kostrou), může použít dvoupramenou šnúru. Kdo tuto možnost nemá, musí použít třípramenou šnúru „zemnické koliky zásuvky spojit s kostrou zesilovače. Pečlivost je v tomto případě namísto – vodič chránění obsluhu zesilovače před případným úrazem elektrickým proudem! Ostatní propojovací vodiče použijeme s izolací PVC nebo pryží (vodiče BGC), a to na primární straně síťového transformátoru s průřezem asi 0,5 mm² a na sekundární alespoň 0,75 mm².

K každému a zápornému pólu elektrolytických kondenzátorů C₁ a C₂ můžeme nyní připojit napájecí vodiče pro výkonové zesilovače, pro každý zesilovač zvlášť, jak je to zřejmé ze schématu. Nedejte se mýlit tím, že na desce s plošnými spoji je pro dva kanály vždy společná „zem“, pro přívod od kondenzátorů k desce je vždy třeba použít tlustší vodiče, proto raději použijeme dva. Opět zvlášť připojíme k zemnicím vývodům výkonových zesilovačů střední vývody příslušných konektorů pro reproduktory. „Zivé“ vývody (tedy od výstupních kondenzátorů) vedené na tlačítka a z nich na krajní vývody konektorů (kulaté koliky). Všechny tyto vodiče mají průřez minimálně 0,75 mm²; z výstupů dělci pro sluchátka vedené pak spoje ke konektorům pro sluchátka, zde stačí drát o průřezu asi 0,15 mm². Tím je zapojena výkonová část zesilovače.

Dále propojíme signálové cesty a země stíněnými vodiči tak, jak bylo popsáno. Napájecí napětí pro napěťové zesilovače přivedeme ze zdroje vodiči o průřezu 0,15 až 0,5 mm². Je zcela lhostejné, zda přívodní dráty povedete nejkratší cestou, nebo zda je budeš svazovat do „stromečku“. Na parametry přístroje nemá způsob vedení vodičů žádný vliv.

Zesilovač je tedy v podstatě hotov, zbývá ho proměřit. Zkontrolujeme tedy ještě jednou všechny propojovací vodiče a byly-li všechny funkční díly předem nastaveny, můžeme zesilovač připojit k síti a zapnout.

Stejnosemerným voltmetrem zkонтrolujeme nejprve všechna napájecí napětí na jednotlivých deskách. Pak připojíme k zesilovači reproduktové soustavy a vhodný modulační zdroj (gramofon, magnetofon) a zesilovač vyzkoušíme za provozu, především činnosti tlačitek, potenciometrů apod. Je-li vše v pořádku, můžeme přikročit k závěrečné práci – k definitivnímu měření, popř. nastavení. K zesilovači připojíme provizorně dno, k linkovému vstupu připojíme tónový generátor, na všechny výstupy záťaze. Zmáckneme tlačítko LINKA, regulátor korekci nastavíme na střed jejich dráhy, generátor vstupního signálu nastavíme na kmitočet 1000 Hz a jeho výstupní napětí na 600 mV. Budíme současně všechny čtyři výstupy. Výstupní výkon všech čtyř kanálů nastavíme regulátory hlasitosti a balancí na 15 W. Máme-li měřit zkreslení, měříme zkreslení. Pak generátor odpojíme a měříme odstup takto nastaveného zesilovače na všech vstupech, zatížených náhradními odpory. Pro magnetickou přenosu je to odpor asi 680 Ω, pro všechny ostatní výstupy odpor asi 20 kΩ. Odstup celého zesilovače by měl být lepší než

63 dB. U lineárních vstupů bývá odstup obvykle poněkud lepší (v našem případě asi 65 dB). Znovu překontrolujeme činnost všech tlačitek, případně i pomocí signálu z kvadrofonního generátoru, dále můžeme změřit celkovou kmitočtovou charakteristiku všech kanálů, rozsah balancí, korekci apod. Jestliže však byly jednotlivé funkční celky předem dobré nastaveny podle přepisu, lze většinu z uvedených měření vynechat a zesilovač zkontovalovat pouze hudebním signálem.

Posledním problémem je skříňka. I při její konstrukci (viz fotografie) je odborných prácí minimum. Skříňku tvoří tři rovné desky z překližky, dvě bočnice (obr. 82b) a horní víko (obr. 82a). Viditelné hrany a strany upravíme dýhováním, nebo je polepíme samolepicí tapetou. Bočnice i horní kryt mají přesahovat přes přední panel asi o 10 mm, takže se bezpečně „schovají“ i drobné nepřesnosti v opracování masky.

Dřevěně díly připevníme k zesilovači tímto způsobem: k bočnicím přišroubujeme krátkými vruty (nebo lépe šrouby do plastické hmoty) vždy čtyři uhélníky (obr. 83) tak, aby díra ze závitem byla vždy proti jedné z dvojice dér o Ø 4,3 mm v koncích čtvrtě rohových distančních tyček. Bočnice přitom přečnívají přes zadní panel asi o 10 mm, a to dopředu i nahoru. Uhélníky přišroubujeme k bočnicím i ty šrouby M3 × 12 mm přišroubujeme zespodu (zesilovač je bez dna) k šási. Horní kryt srovnáme přední hranci s bočnicemi a přišroubujeme čtyřmi vruty přes druhé dvojice dér v horních rohových distančních tyčkách. Tím je kryt zesilovače hotov. Při sesazení krytu se vzadu vytvořila asi 3 cm hluboká kapsa, v níž lze schovat přívodní šnury i konektory, které by jinak nepříjemně vypadaly.

Pak nezbývá než přišroubovat dno, do něhož nejprve upevníme čtyři vhodné nožky. Dno přišroubujeme k přednímu i zadnímu panelu krátkými šrouby M3 s válcovou hlavou.

4.8. Jednodušší alternativy – kvadrofonní reprodukce

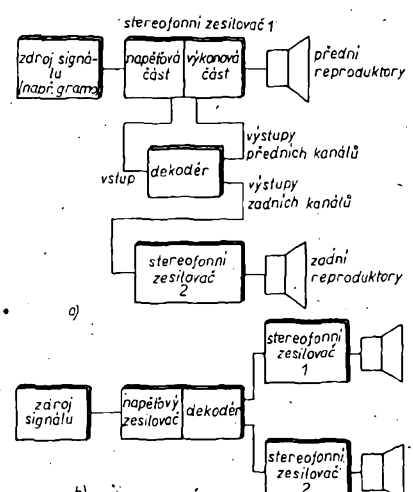
Jistě ne každý si bude stavět kvadrofonní zesilovač, v neposlední řadě třeba proto, že si postavil nebo kupil zesilovač stereofonní a chce ho využít i pro kvadrofonní produkci. I to je možné a v dnešní době, kdy je vlastně kvadrofonie v začátcích, se toto řešení používá velmi často. V principu jde o to, že jsou použity dva stejné, popř. podobné zesilovače, k nimž se vhodným způsobem připojí kvadrofonní dekodér. Pro diskrétní kvadrofonii se toto řešení používá zřídka, u ní totiž nebývá cena výkonových zesilovačů rozhodující položkou v celkových nákladech. U maticové kvadrofonie bývá však toto řešení, především z ekonomických důvodů, vcelku velmi běžné. Na obr. 84 jsou bloková schémata nejběžněji používaných zapojení. Vůbec snad nejčastěji se používá zapojení na obr. 84a, které využívá vstupní, napěťové zesilující části stereofonního zesilovače (např. předzesilovače pro magnetickou přenosu) včetně voliče vstupů. Většina jahodníkových zesilovačů má obvykle tlačítko „monitor“, tj. umožňuje rozpojít cestu signálu mezi vstupní částí zesilovače a částí s regulátory (hlasitosti, korekci) a vrati do signálové cesty další funkční blok (např. Dolby). Nemá-li zesilovač tlačítko „monitor“, lze ho obvykle jednoduše upravit a tlačítko vestavět dodatečně. Signál musí být ze zesilovače vyveden před všemi regulátory a prvky, které upravují jeho velikost nebo jiné vlastnosti, tj. hned za vstupním zesilovačem (stejně se vydává signál pro nahrávání na magnetofon). Z výstupu „monitor“ (mívá úroveň asi 0,5 V) lze pak napájet výstupy kvadrofonního dekodéru. Výstupy dekodéru připojíme ke vstupům dvou stereofonních zesilovačů. Jednu

dvojici výstupů do toho, v němž využíváme napěťového zesilovače k buzení dekodéru (a to právě za místo, kde jsme původní signálovou cestu přerušili). Druhou dvojici, obvykle zadní, vedeme na vstup dalšího stereofonního zesilovače.

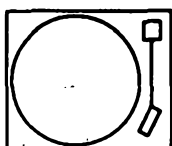
Je nesporné, že při uvedeném uspořádání vznikají komplikace s ovládáním obou zesilovačů. Ovládací prvky předních a zadních kanálů jsou totiž odděleny a musíme je tedy nastavovat samostatně, což nejen komplikuje obsluhu, ale nepříznivě i ovlivňuje jakost reprodukce, protože nikdo nemůže zaručit, že se vždy podaří nastavit např. shodnou kmitočtovou charakteristiku předních i zadních kanálů. Balance obou zesilovačů slouží opět jako balance pro přední a zadní zvukový obraz, zvukový obraz z předu dozadu je třeba využívat hlasitosti zesilovače pro přední nebo zadní kanály (popř. oběma). To však působí potíže při základní regulaci hlasitosti, při níž je třeba vždy znovu využívat před zadním poměr hlasitosti kanálů. Proto je vhodné vybavit dekodér na výstupu společným regulátorem hlasitosti pro všechny čtyři kanály. Pak slouží regulátory hlasitosti zesilovačů pouze jako předzadní balance.

Druhou možností (obr. 84b) je použít samostatný vstupní zesilovač ve spojení s dekodérem. Toto řešení je výhodné tehdy, máme-li k dispozici jednodušší stereofonní zesilovač, které nemají např. výstup pro magnetickou přenosu. Jednotku dekodéru můžeme vybavit více vstupy, aniž by to příliš zvětšilo její složitost. Ovládání je obdobné, jako u předchozí verze.

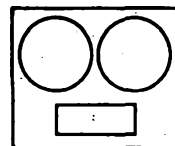
Od posledně uvedeného řešení je jen krůček ke skutečné kvadrofonní stavbě. Není totiž již tak příliš složité přidat za dekodér ještě čtyřkanálové korekce a regulátory hlasitosti a vyvážení a kvadrofoně zpracovanými signály budit samostatně, případně do dvojic sdružené výkonové zesilovače bez vlastních ovládacích prvků. Toto řešení poskytuje možnost postupně doplňovat zařízení (nejprve stereofonní, pak kvadrofonní verze); je však dražší než jeden kvadrofonní zesilovač, a to díky většímu počtu napájecích zdrojů (především transformátorů).



Obr. 84. Zapojení pro kvadrofonní reprodukci: se dvěma stereofonními zesilovači a samostatným dekodérem, zakódovaný signál se zesiluje v napěťové části jednoho ze stereofonních zesilovačů a dekodér je buzen z výstupu „monitor“ (a); s dekodérem a zvláštním napěťovým zesilovačem, dva stereofonní zesilovače jsou připojeny až k výstupům dekodéru (b).



postavte si sami



v akci

HIFI-JUNIOR

Chcete si pořídit skutečnou hifi-techniku jednoduše a levně? Podnik ÚV Svazarmu ELEKTRONIKA vám nabízí podrobné stavební návody a hlavní součásti ke stavbě gramofonu, zesilovače a reproduktových soustav 1. jakostní třídy, které spolu tvoří základní řetěz pro reprodukci gramofonových desek. Stavba nejde o potíže ani méně zkušeným, protože všechny přístroje jsou určeny především pro individuální výrobu a ověřeny v mnohatisícové produkci podniku Elektronika.

SG 60 Junior – poloautomatický hifi gramofon 33/45 ot.

Odstup > 43 dB, kolísání < 0,1 %, automatický koncový zvedač přenosky, mechanická volba otáček. Možno stavět tři varianty: nejjednoduší A, vybavenější B a kompletní přístroj C (jak se dodává hotový hifiklubům Svazarmu).

stavební návod SG 60 (Hifi-Junior č. 6)	8 Kčs	synchronní motor SMR 300 s kondenzátorem,	
univerzální hifi-přenoskové raménko RA 060,		řemeničkou a pružinovým závěsem	255 Kčs
použitelné i v jiných přístrojích se		základní deska gramofonu	85 Kčs
samosamostatným návodem k instalaci	390 Kčs	řemínek	5 Kčs
vnitřní talíř s ložiskem	210 Kčs	vážka pro nastavení svíslé síly na hrot přenosky	5 Kčs
vrchní talíř	39 Kčs	(další díly podle stavebního návodu na dotaz)	

TW 40 Junior – stereofonní hifi zesilovač 2 × 20 W

Hudební výkon 2 × 35 W, zkreslení < 0,2 %, vstup 2,4 mV pro mag. přenosku, 250 mV pro radio, magnetofon a rezervní vstup. Výstup pro mag. záznam, pro reproduktory 4, 8 i 16 ohmů a pro sluchátka. Kvazi-kvadrofonní připojka pro zadní reproduktory. Fyziologická regulace hlasitosti, nezávislá regulace basů a výšek, regulátor symetrie, vypínač reproduktorů, přepínače mono/stereo a páskového monitoru.

stavební návod TW 40 (Hifi-Junior č. 4)	6,00 Kčs	rozprásky	2 ks za 11,50 Kčs
spojovalna deska koncového stupně 720419	65,00 Kčs	kompletní sada tranzistorů a diod	706,00 Kčs
spojovalna deska předzesilovače 730124	52,00 Kčs	slidové podložky pod KU 611	10 ks za 7,70 Kčs
spojovalna deska přepínáče 730820	9,00 Kčs	slidové podložky pod KD 606	10 ks za 10,00 Kčs
panel, povrchově upravený, s potiskem	84,00 Kčs	knofílky K 186 (na Ø 6) a K 184 (na Ø 4)	1 ks za 13,70 Kčs
příložka (subpanel)	8,90 Kčs	otočný přepínač vstupu WK 533 36	42,50 Kčs
chladic	75,00 Kčs	(další díly na dotaz podle stavebního návodu)	

RS 22 Junior – dvoupásmová hifi reproduktová soustava do 20 W

Pro věrnou reprodukci hudby v obytných a menších společenských místnostech. Uzavřená levistěnová skříň sendvičové konstrukce má účinné vnitřní tlumění mnohobuněčným vzduchovým labyrintem. Povrch je potažen melaminovou krytinou (Umkart) nebo samolepicí tapetou, vpředu je průzvučná přirodní tkanina. Moderní reproduktory Tesla optimálně přizpůsobené elektrickou výhbkou dávají soustavě vlastnosti převyšující požadavky hifi-normy DIN 45 500.

Soustava RS 22/8 o impedanci 8 ohmů je univerzální a hodí se pro všechny magnetofony, přijímače a zesilovače napájené ze sítě i z baterií, monofonní i stereofonní, i jako zadní dvojice pro kvadrofonní nebo čtyřkanálová zařízení. Dvojicí paralelně zapojených soustav uspořádaných na výšku nad sebou, o výsledné impedanci 4 ohmy a dvojnásobné zatižitelnosti, je možno ozvučovat společenské místnosti. Varianta RS 22/4 o impedanci 4 ohmy se hodí jen k těm zesilovačům, které se nepřetíží nízkou zatěžovací impedancí (např. TW 40). Kromě impedance jsou ostatní vlastnosti obou variant RS 22/8 a RS 22/4 zcela shodné.

Max. zatižitelnost hudebním signálem 20 W, kmitočtový rozsah 40 až 16 000 Hz ± 6 dB, dělicí kmitočet 2,5 kHz, vnitřní objem 20 litrů, rozměry 300 × 300 × 520 mm, hmotnost 4 kg (!).

Stavba soustavy RS 22 z nabízených polotovarů je neobvykle snadná a rychlá, bez vrutů nebo šroubů, všechno se jednoduše lepí. Úplně odpadá náročná a dražá výroba dřevěné skříň, takže čas i náklady jsou podstatně nižší.

RS 20 Junior – třípásmová hifi reproduktová soustava do 20 W

Má tři reproduktory Tesla a dělicí kmitočty 800 a 8000 Hz. Dvě varianty: RS 20/8 a RS 20/4 o impedanci 8 a 4 ohmy. Až na odlišný rozptyl vysokých tónů jsou vlastnosti a technické údaje prakticky shodné s typem RS 22/4.

RS 21 Junior – citlivá dvoupásmová soustava pro malé výkony do 10 W

Ideální doplněk pro všechny bateriové a síťové přístroje malého výkonu, které nejsou schopné napájet klasické, méně citlivé hifi reproduktové soustavy. Připojením RS 21 k běžným kazetovým i cívkovým magnetofonům, přijímacům všech typů a velikostí nebo k některým televizorům se jejich reprodukce pozoruhodně zesílí a celkově zlepší.

Širokopásmový reproduktor Tesla Ø 203 mm může být doplněn vhodným vysokotonovým reproduktorem. Impedance 4 nebo 8 ohmů, kmitočtový rozsah (podle osazení) 70 až 10 000 Hz, resp. 70 až 16 000 Hz ± 6 dB.

stavební návod RS 22 (Hifi-Junior č. 7)	2,00 Kčs	tlumivka 1 mH (pro RS 22/8) nebo 0,5 mH (RS 22/4)	12,50 Kčs
stavební návod RS 20 (Hifi-Junior č. 3)	2,00 Kčs	tlumivka 4 mH (pro RS 20/8) nebo 2 mH (RS 20/4)	28,40 Kčs
stavební návod RS 21 (Hifi-Junior č. 1)	2,00 Kčs	přední deska s otvory	33,00 Kčs
dvojdílný výlisek skříně z levistenu	111,00 Kčs	průzvučná tkanina 550 × 450 mm	7,00 Kčs
Kompletní el. výhybka RS 22/8 nebo RS 22/4	67,00 Kčs	tlumicí fólie (3 m ²)	5,00 Kčs
kompletní el. výhybka RS 20/8 nebo RS 20/4	114,00 Kčs	sada potahových desek na jednu skříň (2 + 2 ks), Umkart, 1. jakost	78,00 Kčs
spojovalová deska 731220 pro výhybku RS 22	15,00 Kčs	(reproduktorové systémy a další díly podle stavebního návodu na dotaz)	
spojovalová deska 730212 pro výhybku RS 20	15,00 Kčs		

Prodejna a zásilková služba podniku ELEKTRONIKA dodávají uvedené součásti za hotové přes pult nebo poštou na dobirku, pokud zásoba stačí. Zákazníci prosíme o trpělivost v případě, že některé položky jsou pro mimořádný zájem přechodně vyprodány. Z nových dodávek vám je pošleme později, ale jen na základě vaši nové objednávky. Běžné elektrické součástky a pomocný materiál máme jen výjimečně ve speciálních sadách. Jednotlivě je prodávají specializované prodejny podniku Domácí potřeby nebo OP Tesla. Dotazy na zboží vám doporučujeme vyřizovat pokud možno osobně, event. telefonicky nebo telexem, protože stále stoupající rozsah korespondence přesahuje naše současné možnosti. Děkujeme vám za pochopení a těšíme se na spolupráci. Ve stavbě přístrojů Hifi-Junior vám přejeme hodně zdraví.



ELEKTRONIKA

podnik ÚV SvaZaru
Ve Smečkách 22, 110 00 Praha 1

Radioamatérům, kutilům
i profesionálům
dodáme ihned



INTEGROVANÉ OBVODY

Nejen profesionálové, ale i moderní radioamatéři a kutilové – elektronici, drží krok se světovým vývojem. Proto ve svých výrobcích nahrazují tradiční elektronické prvky

INTEGROVANÝMI OBVODY (IO).

Vždyť takový IO, který je třeba menší než kostka cukru, může současně plnit řadu funkcí, např. kondenzátorů, transformátorů a mnoha dalších prvků, které by jinak zabraly místo jako celá krabice od cukru! Pokročilejší radioamatér dokáže na bázi IO sestřořit i výkonný stereozesilovač o výkonu 2 × 20 W, který není o mnoho větší než domácí balení zápalék:

Využijte nabídky integrovaných obvodů s možností tohoto využití:

- + LOGICKÉ OBVODY TTL (hradla a klopné obvody)
- + LINEÁRNÍ OBVODY (zesilovače ss, nf, mf, operační a diferenciální)
- + OBVOD PRO ZDROJE LADICÍHO NAPĚТИ kanálových voličů televizorů.

Jinak je v nabídce TESLY také výběr tranzistorů, diod, elektronek, televizních obrazovek a víceúčelového materiálu.

Pro jednotlivce i organizace odběr za hotové i na fakturu:

- ve značkových prodejnách TESLA (v Praze 1 jsou to zejména Dlouhá 15, Dlouhá 36 a Martinská 3).
- na dobirku od Zásilkové služby TESLA, Moravská 92, PSČ 688 19 Uherský Brod.
- podle dohody s Oblastními středisky služeb TESLA: pro Sředočeský, Jihočeský, Západočeský a Východočeský kraj – OBS TEŠLA Praha 1, Karlova ul. 27, PSČ 110 00, tel. 26 21 14; pro Severočeský kraj – OBS TESLA Ústí n. L., Pařížská 19, PSČ 400 00 tel. 274 31; pro Jihomoravský kraj – OBS TESLA Brno, Františkánská 7, PSČ 600 00 tel. 259 50; pro Severomoravský kraj – OBS TESLA Ostrava, Gottwaldova 10, PSČ 700 00 tel. 21 34 00; pro Západoslovenský kraj – OBS TESLA Bratislava, Karpatská 5, PSČ 800 00 tel. 442 40; pro Středoslovenský kraj – OBS TESLA Banská Bystrica, Malinovského 2, PSČ 974 00 tel. 255 50; pro Východoslovenský kraj – OBS TESLA Košice, Luník I, PSČ 040 00 tel. 362 32.

TESLA obchodní podnik